

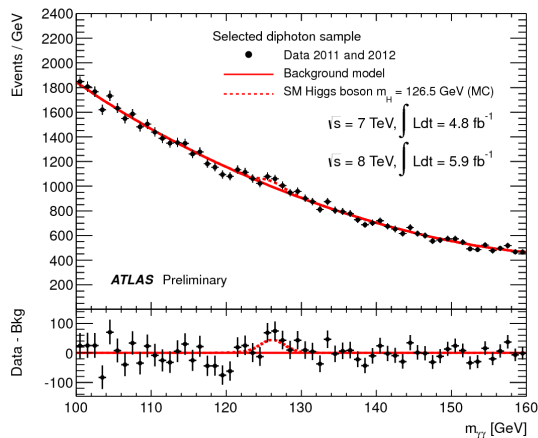
Le Higgs dans ATLAS, derniers résultats



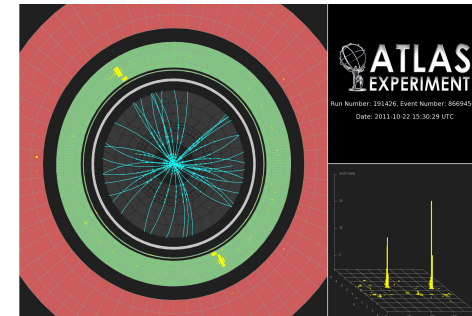
Laboratoire d'Annecy-le-Vieux
de Physique des Particules

Elisabeth Petit

pour le groupe ATLAS du LAPP



séminaire LAPP
10 of Juillet 2012

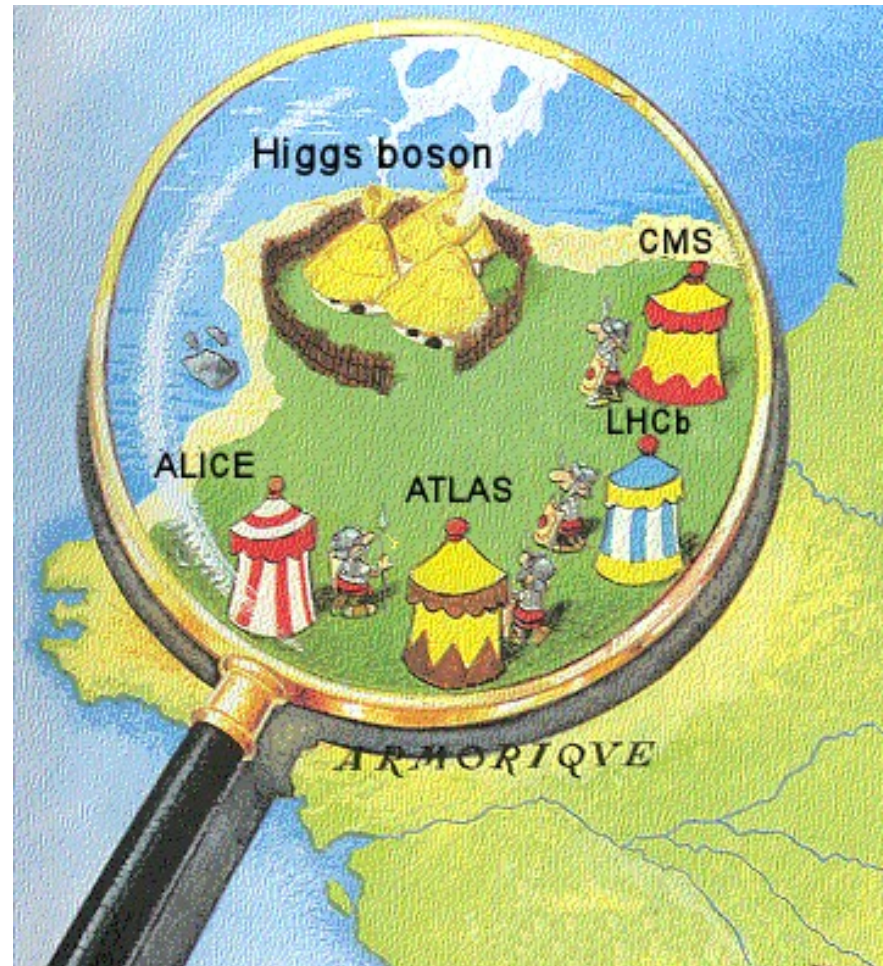


ATLAS
EXPERIMENT

Run Number: 35426, Event Number: 86694509
Date: 2012-10-22 15:30:29 UTC



Introduction



- ◆ Nous sommes le 4 juillet 2012 après Jésus-Christ ; tout le Modèle Standard a été découvert...
Tout ? Non ! Car une particule résiste encore et toujours à l'envahisseur.
Et la vie n'est pas facile pour les garnisons de physiciens des camps retranchés de ALICE, ATLAS, CMS et LHCb.



Le 4 juillet : 'Higgstérie' au CERN



CERN Accelerating science

Latest update in the search for the Higgs boson





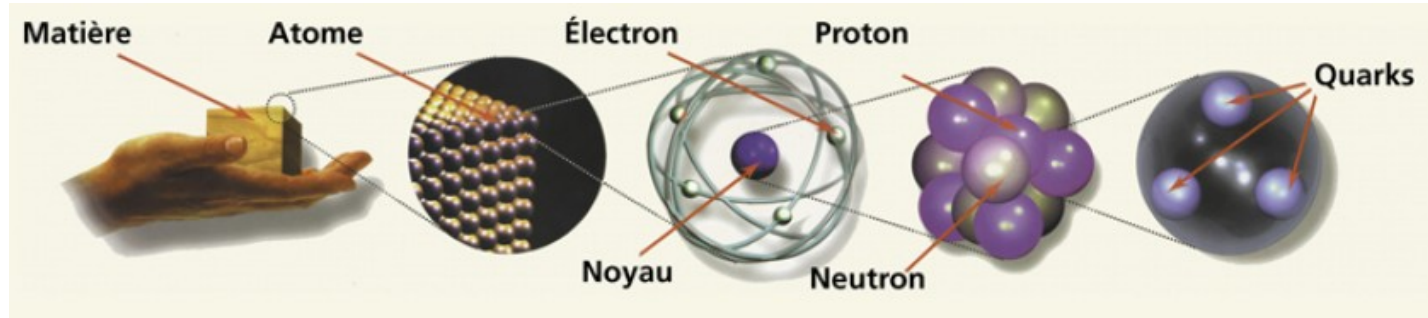
Plan

- ◆ Le boson de Higgs : quoi, pourquoi, comment ?
- ◆ Le boson de Higgs au LAPP
- ◆ Recherche du boson de Higgs dans le canal $H \rightarrow \gamma\gamma$
- ◆ Recherche du boson de Higgs dans le canal $H \rightarrow 4\ell$
- ◆ Combinaison des résultats

Le boson de Higgs



Le Modèle Standard



◆ 12 particules élémentaires

◆ 4 interactions fondamentales

| | | | |
|---------|---|---|--|
| quarks | u up | c charm | t top |
| | d down | s strange | b bottom |
| leptons | e electron | μ muon | τ tau |
| | ν_e neutrino électronique | ν_μ neutrino muonique | ν_τ neutrino tauique |

| |
|-----------------------------------|
| γ photon |
| W bosons W [±] |
| Z boson Z |
| g gluon |

- électromagnétisme
- interaction faible
- interaction forte
- gravitation



◆ + boson de Higgs ?



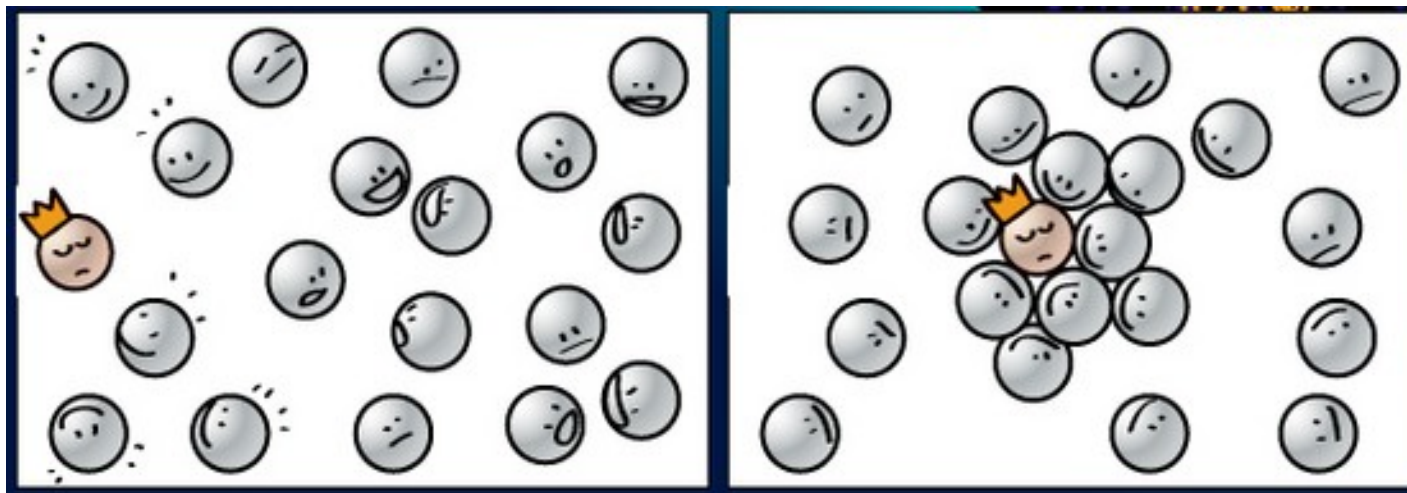
Pourquoi le boson de Higgs

◆ Mécanisme de Higgs:

(ou de Englert-Brout-Higgs-Guralnik-Hagen-Kibble)

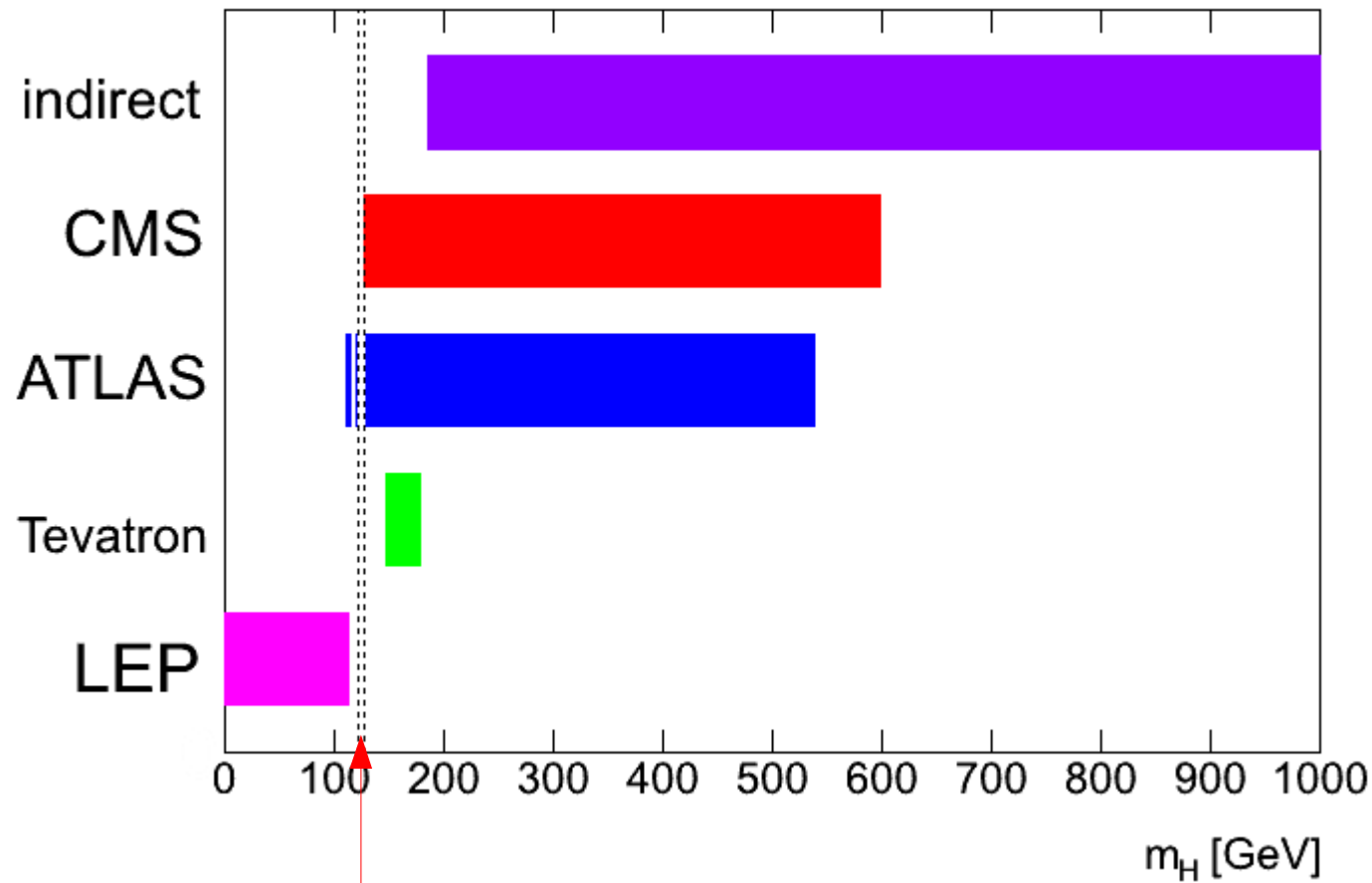
- postulé en 1964
- donne masse bosons W et Z , et aux fermions (quarks, électrons, etc)
- prévoit existence d'un nouveau boson

◆ Analogie : le cocktail



Recherche suivant masse

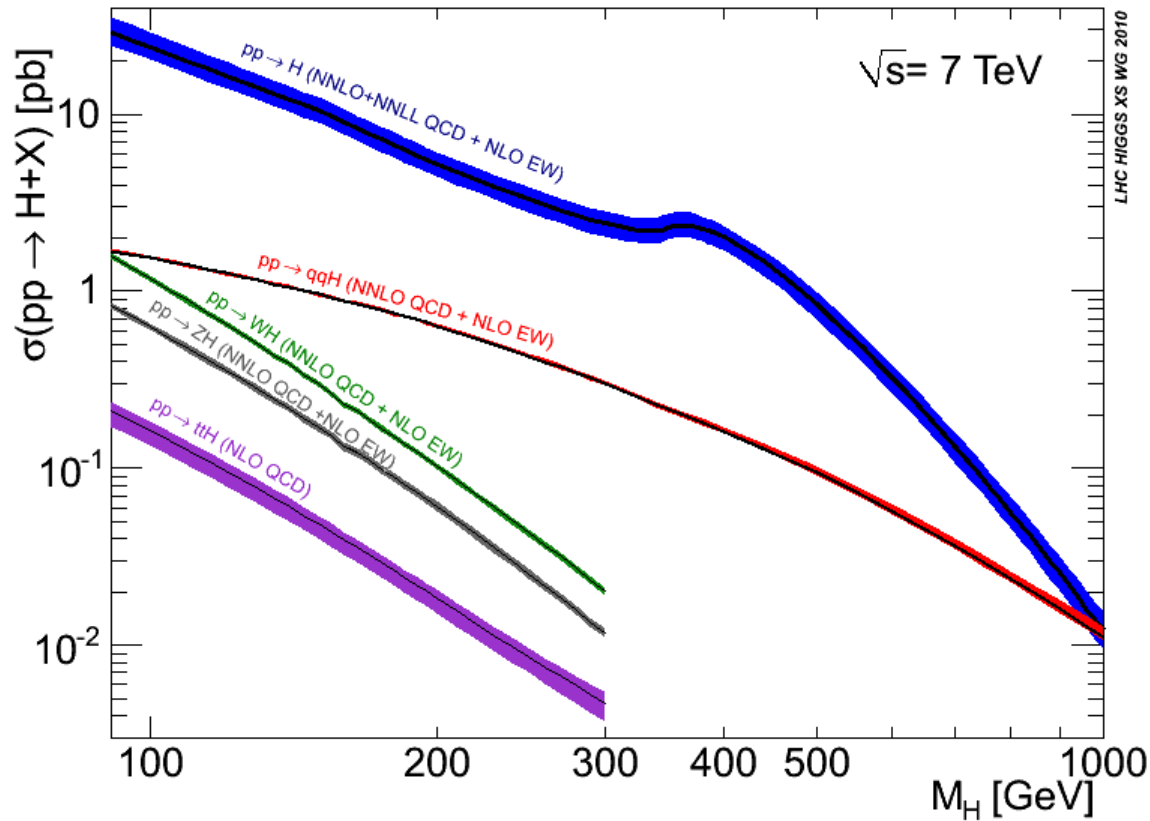
- ◆ Boson de Higgs donne la masse aux particules mais on ne peut pas prévoir la sienne !
- ◆ Recherche pour masses entre 100 GeV et 1 TeV
- ◆ Masses exclues avant le 4 juillet 2012 :





Production au LHC (1)

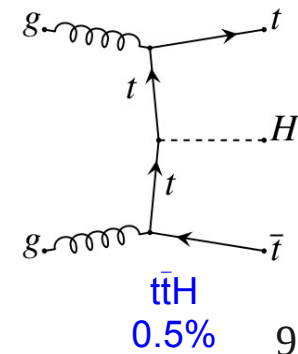
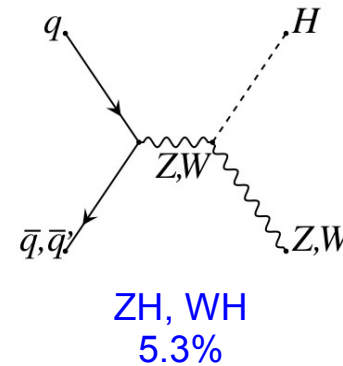
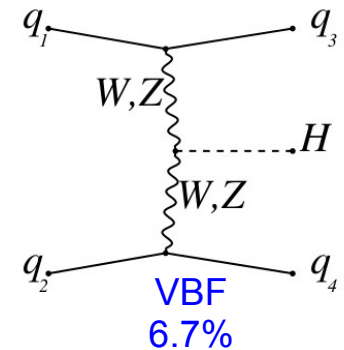
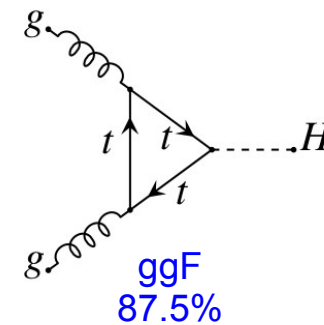
◆ Section efficace \Leftrightarrow taux de production



$\sigma(m_H = 125 \text{ GeV}, \sqrt{s} = 7 \text{ TeV}) = 17.5 \text{ pb}$
 $\sigma(m_H = 125 \text{ GeV}, \sqrt{s} = 8 \text{ TeV}) = 22.3 \text{ pb}$

Actuellement :

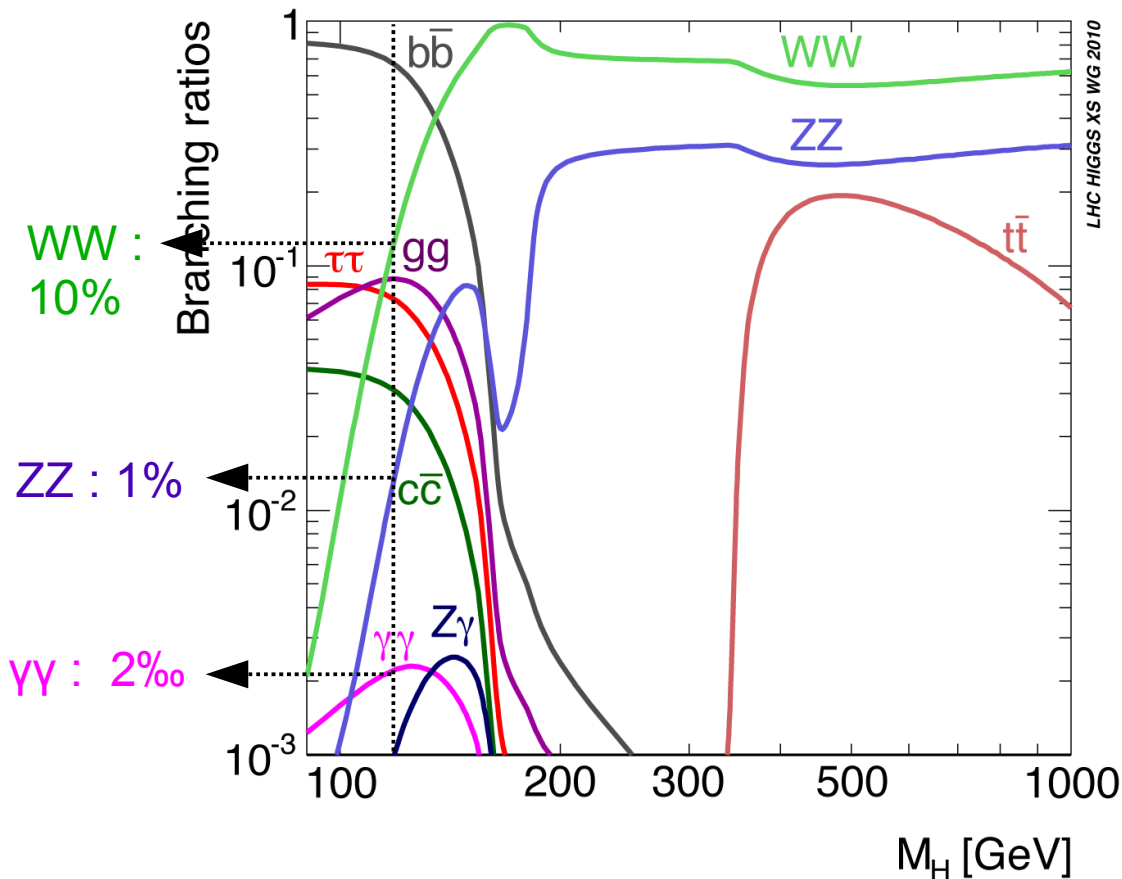
- ◆ ~ 1 boson de Higgs toutes les 10 s
- ◆ 50 bosons W / s
- ◆ 1 million di-jet / s





Production au LHC (2)

- ◆ On n'observe pas directement le boson de Higgs, mais ses produits de désintégration
- ◆ Rapport d'embranchement = fraction d'événements dans un état final



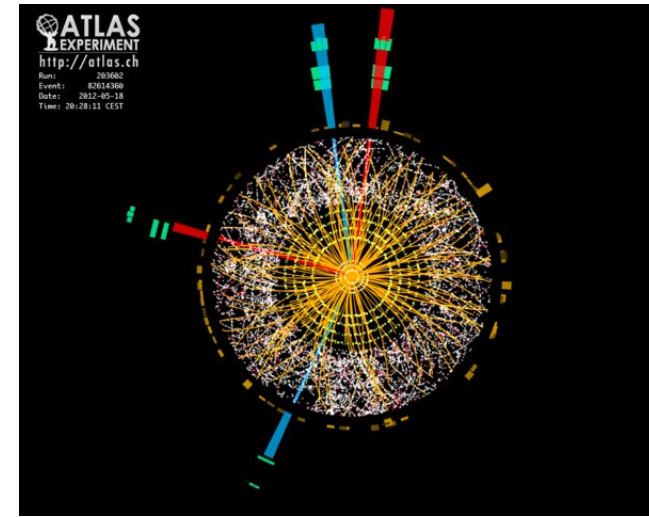
Actuellement :

- ◆ 1 Higgs toutes les 10 s
- ◆ 1 $H \rightarrow \gamma\gamma$ toutes les 1.5 h
- ◆ 1 $H \rightarrow ZZ$ toutes les 10 minutes
 - 1 $H \rightarrow 4\ell$ toutes les 3 heures

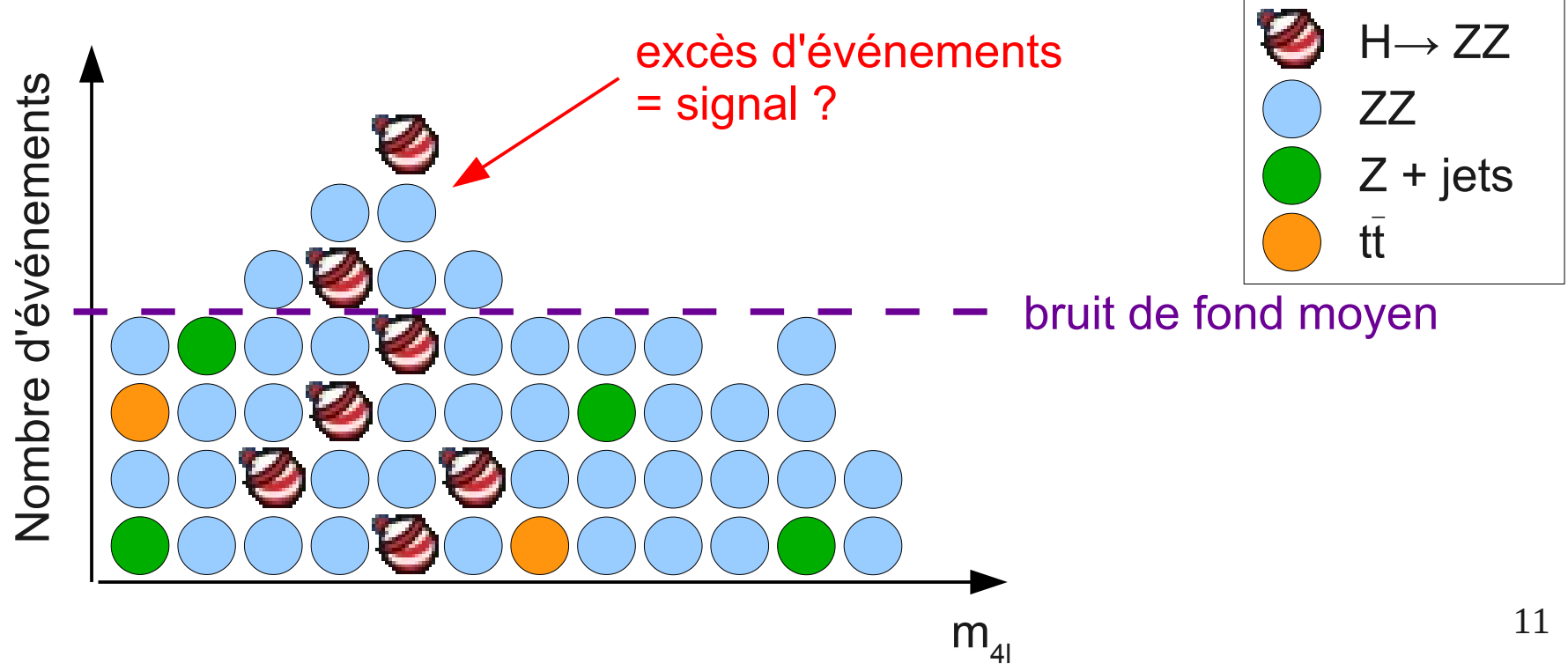


Comment on le recherche (1)

- ◆ Exemple : **signal** = $H \rightarrow ZZ \rightarrow \ell^+ \ell^- \ell^+ \ell^-$
- ◆ Autres particules qui vont avoir état final semblable = **bruit de fond**
 - irréductible : production de 2 bosons Z
 - réductible : Z + jets, $t\bar{t}$, etc



- ◆ A partir des 4 leptons, on calcule $m_{4\ell}$, et on remplit l'histogramme

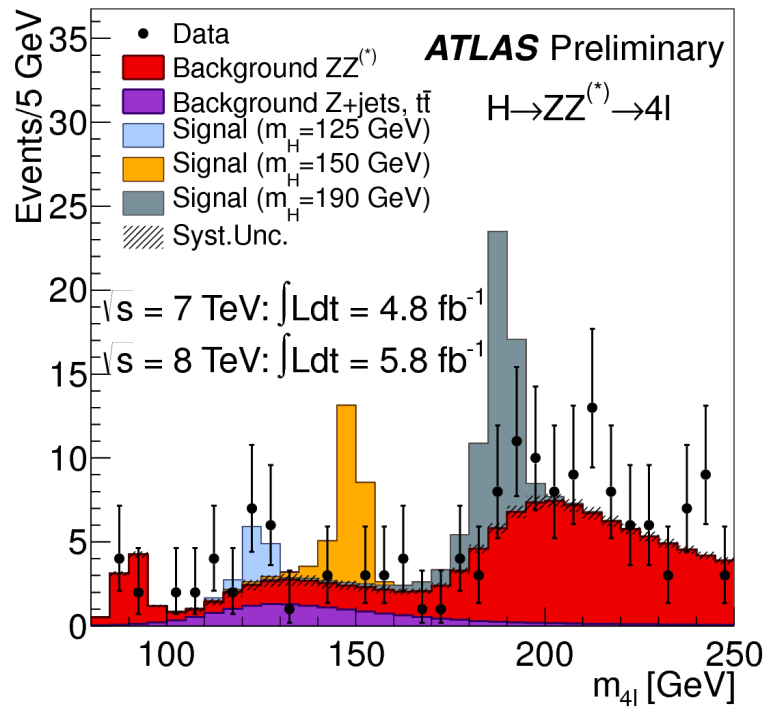




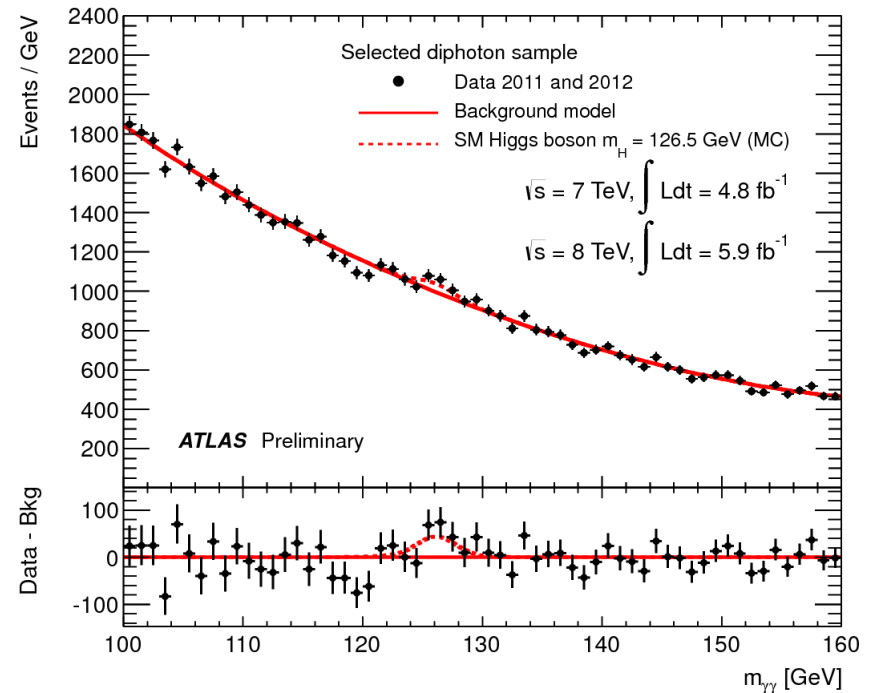
Comment on le cherche (2)

◆ Les histogrammes en vrai:

◆ $H \rightarrow ZZ \rightarrow 4\ell$:



◆ $H \rightarrow \gamma\gamma$:



➔ Très peu d'événements attendus

➔ Très petit signal par rapport au bruit de fond



ATLAS et boson de Higgs au LAPP (1)

Equipe actuelle

| Nom, Prénom | Téléphone | Mél | Service | Commentaires |
|---------------------------------------|----------------------------|--|-------------------------|---|
| Allart, David | 1637 | David.Allart@lapp.in2p3.fr | Physique-ATLAS | stagiaire (2012) |
| Aperio-Bella, Ludovica | 1638 | Ludovica.Aperio-Bella@lapp.in2p3.fr | Physique-ATLAS | doctorante (2012) |
| Ballansat Jacques | 5581 | Jacques.Ballansat@lapp.in2p3.fr | Mécanique | HL-LHC |
| Bazan Alain | 1749 (bip 152) | Alain.Bazan@lapp.in2p3.fr | Informatique | |
| Bellachia Fatih | 1630 (bip 153) | Fatih.Bellachia@lapp.in2p3.fr | Informatique | |
| Berger Nicolas | 1632 | Nicolas.Berger@lapp.in2p3.fr | Physique-ATLAS | |
| Berger-Hryn'ova Tetiana | 1624 | hrynova@lapp.in2p3.fr | Physique-ATLAS | |
| Bombar Claudibe | 1605 | bombar@lapp.in2p3.fr | Administration | Organisation Argon Liquide |
| Cap Sebastien | 1613 | sebastien.cap@lapp.in2p3.fr | Electronique HL-LHC LAr | |
| David Pierre-Yves | 1609 | pierre-yves.david@lapp.in2p3.fr | Electronique | Interlock & HL-LHC |
| Delebecque Pierre | 5579 | pierre.delebecque@lapp.in2p3.fr | Mécanique | HL-LHC |
| Del Mastro Marco | 1785 | marco.delmastro@lapp.in2p3.fr | Physique-ATLAS | |
| Di Ciaccio Lucia | 1624 | Lucia.Di-Ciaccio@lapp.in2p3.fr | Physique-ATLAS | responsable du groupe depuis le 1/10/2008 |
| Doan Kieu Oanh Thi | 1633 | thidoan@lapp.in2p3.fr | Physique-ATLAS | doctorante (2011) |
| Dumont-Dayot Nicolas | 1609 | Nicolas.Dumont-Dayot@lapp.in2p3.fr | Electronique | |
| El Kacimi Mohamed | 1639 | Mohamed.El-Kacimi@lapp.in2p3.fr | Physique-ATLAS | Visiteur de Marrakech |
| Elles Sabine | 1631 | Sabine.Elles@lapp.in2p3.fr | Informatique | |
| Gaglione Renaud | 1611 | Renaud.Gaglione@lapp.in2p3.fr | Electronique | HL-LHC |
| Goy Corinne | 1678 | Corinne.Goy@lapp.in2p3.fr | Physique-ATLAS | aussi dans AMS |
| Jézéquel Stéphane | 1626 | Stephane.Jezequel@lapp.in2p3.fr | Physique-ATLAS | |
| Kataoka Mayuko | 1638 | Mayuko.Kataoka@lapp.in2p3.fr | Physique-ATLAS | |
| Keoshkerian Houry | 1623 | keoshkerian@lapp.in2p3.fr | Physique-ATLAS | doctorante (2014) |
| Lafaye Rémi | 1652 | Remi.Lafaye@lapp.in2p3.fr | Physique-ATLAS | |
| Leveque Jessica | 1632 | Jessica.Leveque@lapp.in2p3.fr | Physique-ATLAS | |
| Letendre Nicolas | 1615 | nicolas.letendre@lapp.in2p3.fr | Electronique | HL-LHC |
| Lombardo Vincenzo | 1627 | Vincenzo.Lombardo@lapp.in2p3.fr | Physique-ATLAS | |
| Massol Nicolas | 1785 CERN:165221 | Nicolas.Massol@lapp.in2p3.fr | Electronique | Interlock & HL-LHC |
| Mehrez Fatima | 1607 | fatima.mehrez@lapp.in2p3.fr | Electronique | doctorante (2014) |
| Perrot Guy | 1630 (bip 120) CERN:163999 | Guy.Perrot@lapp.in2p3.fr | Electronique | |
| Petit Elisabeth | 1623 | elisabeth.petit@lapp.in2p3.fr | Physique-ATLAS | |
| Prast Julie | 1661 | Julie.Prast@lapp.in2p3.fr | Electronique | |
| Przysieszniak Helenka | 1627 | Helenka.Przysieszniak@lapp.in2p3.fr | Physique-ATLAS | |
| Rambure Thibault | 1711 | thibaut.rambure@lapp.in2p3.fr | Mécanique | HL-LHC |
| Sauvan Emmanuel | 1652 | Emmanuel.Sauvan@lapp.in2p3.fr | Physique-ATLAS | |
| Schwoerer Maud | 1649 | maud.schwoerer@lapp.in2p3.fr | Physique-ATLAS | doctorante (2013) |
| Todorov Théodore | 1633 | Theodore.Todorov@lapp.in2p3.fr | Physique-ATLAS | |
| Tsionou, Dimitra | 1649 | Dimitra.Tsionou@lapp.in2p3.fr | Physique-ATLAS | doctorante (2012) |
| Wingarter-Seez Isabelle | 1626 CERN:16-4889 | Isabelle.Wingarter-Seez@lapp.in2p3.fr | Physique-ATLAS | |
| Yildizkaya Tamer | 1633 | tamer.yildizkaya@lapp.in2p3.fr | Mécanique | HL-LHC |

- physique
- mécanique
- électronique
- informatique
- administration



ATLAS et boson de Higgs au LAPP (2)

◆ Thèses au LAPP:

Thèses en Cours

| Nom | Directeur | Sujet de la thèse | Date de soutenance prévue |
|-----------------------|--|---|---------------------------|
| Houry Keoshkerian | Emmanuel Sauvan | Recherche de signaux de nouvelle physique à plusieurs électrons auprès du LHC | 2014 |
| Maud Schwoerer | Jessica Lévêque / Isabelle Wingerter | Recherche de signatures inclusives contenant deux photons dans le détecteur ATLAS | 2013 |
| Dimitra Tsionou | Lucia Di Ciaccio / Stathes Paganis | mesure de la section efficace de production du W | 2012 |
| Ludovica Agerio-Bella | Tetiana Berger-Hryn'ova / Lucia Di Ciaccio | Recherche de nouveaux états physiques dans le spectre de di-électrons à haute masse avec l'expérience ATLAS | 2012 |
| Louis Hélarly | Nicolas Berger / Isabelle Wingerter | Recherche de technicolore avec l'expérience ATLAS; mise en route du calorimètre électromagnétique | 09.12.2011 |
| Kieu Oanh Thi Doan | Théodore Todorov | Mesure de la section efficace différentielle de production du boson Z | 2012 |

Thèses Soutenues

| | | | |
|------------------------|-------------------|---|----------------------|
| Mathieu Arousseau | 30 septembre 2010 | Recherche du Higgs en 2 photons: préparation de l'analyse avec les premières données. Mise en route du calorimètre électromagnétique: étude des muons cosmiques | 2010 |
| Olivier Arnaez | 5 juillet 2010 | Etude de la production du Z à 14 TeV dans le centre de masse dans l'expérience ATLAS. Mise en route du calorimètre électromagnétique | lien |
| Thibault Guillemin | 30 juin 2009 | Préparation à la mesure de la section efficace de production inclusive du boson W en électron-neutrino dans l'expérience ATLAS au LHC | pdf |
| Jean-François Marchand | 3 juin 2009 | Etude de la recherche du boson de Higgs en deux photons dans l'expérience ATLAS au LHC et calibration du calorimètre à Argon liquide | pdf |
| Michele Consonni | 15 juillet 2008 | Recherche du boson de Higgs dans les cascades de désintégration de particules supersymétriques avec le détecteur ATLAS au LHC | pdf |
| Mohamed Aharrouche | 11 décembre 2006 | Etude des performances en faisceau-test d'une tranche des calorimètres centraux d'ATLAS. Mesure de l'asymétrie avant-arrière des Z produits au LHC dans le mode de désintégration e+e-. | pdf |
| Fabien Tarrade | 18 septembre 2006 | Étalonnage du calorimètre électromagnétique tonneau. Identification des leptons taus et recherche d'un boson de Higgs dans le canal qqH->qq tau tau dans l'expérience ATLAS au LHC | pdf |
| Damien Prieur | 14 avril 2005 | Étalonnage du calorimètre électromagnétique d'ATLAS. Reconstruction des événements avec des photons non pointants dans le cadre d'un modèle supersymétrique GMSB. | pdf |
| Olivier Gaumer | 13 décembre 2004 | Analyse de l'uniformité des modules de série du calorimètre électromagnétique tonneau d'ATLAS. Recherche de bosons supplémentaires neutres | pdf |
| Christophe Le Maner | 27 juin 2003 | Etude de la réponse du calorimètre électromagnétique et recherche d'un boson de Higgs de 300 GeV/c ² dans le canal qqH-> qqWW-> qqllvjj dans l'expérience ATLAS au LHC | pdf |
| Lionel Neukermans | 22 mai 2002 | Étalonnage du calorimètre électromagnétique d'ATLAS. Recherche du boson de Higgs dans ses désintégrations invisibles | pdf |
| Nicolas Massol | 19 avril 2000 | Conception et mise au point de la procédure de qualification du calorimètre électromagnétique à argon liquide d'ATLAS | pdf |
| Jean-Marie Bussat | 5 juin 1998 | Conception d'un dispositif d'acquisition rapide de grande dynamique : application à la lecture du calorimètre de l'expérience ATLAS | pdf |
| Guillaume Eynard | 6 mai 1998 | Etude de la production associée du boson de Higgs, HW, Httbar, HZ --> 2gamma + e+/-mu+/- + X avec le détecteur ATLAS, auprès du LHC | pdf |
| Serge Nicoleau | 16 avril 1997 | Désintégration du boson de Higgs en électrons et photons : optimisation et étalonnage du calorimètre électromagnétique d'ATLAS | |
| Olivier Linossier | 8 avril 1997 | Recherche du boson de Higgs de masse intermédiaire (120-180 GeV) dans le canal H0 --> ZZ* --> 4 leptons sur ATLAS et test d'un prototype de calorimètre électromagnétique | |
| Valérie Hermel | 20 septembre 1996 | contribution à la conception et à la réalisation d'un circuit spécifique de codage des informations issues du calorimètre d'une expérience auprès du LHC. | |
| Frédéric Rival | 22 juin 1994 | Construction d'un prototype de calorimètre hadronique pour le futur collisionneur à haute énergie LHC du CERN. | |
| Mario Stipevcic | 19 mai 1994 | Étude d'un prototype de calorimètre hadronique à argon liquide pour une expérience auprès du LHC: comportement en faisceau et optimisation de la résolution à l'aide d'une méthode de pondération | |

Aubert Bernard, Ballansat Jacques, Barate Robert, Baud Jean-Philippe, Baudin Patrick, Beeldens Yannick, Bouedo Thierry, Cailles Michel, Colas Jacques, Corageoud Francois, Delebecque Pierre, Dromby Gérard, Dubois Jean-Marc, Ghez Philippe, Girard Claude, Michel Gouanère, Ionescu Gelu, Jeremie Andrea, Journet Laurent, Lieunard Bruno, Monteiro Ino, Nappa Jean-Marc, Panazol Jean-Luc, Perrodo Pascal, Sauvage Gilles, Tassan Jean, Zitoun Robert, Zolnierowski

Sebastien, Pierre-Yves, Nicolas D, Renaud, Nicolas L, Nicolas M, Fatima, Guy, Julie

Alain, Fatih, Sabine

Stéphane

Jessica

David, Ludovica, Nicolas, Tetiana, Marco, Lucia, Oanh, Corinne, Stéphane, Mayuko, Houry, Rémi, Jessica, Vincenzo, Elisabeth, Helenka, Emmanuel, Maud, Théodore, Dimitra, Isabelle

Nos anges gardiens :
 Lionel, contrats
 Claudine, LAR
 Myriam, stagiaires
 Cécile, budgets
 Marie-Claude, missions
 Nathalie, missions
 Brigitte, missions
 Chantal,) pour tout



Comment chercher le $H \rightarrow \gamma\gamma$
avec ATLAS



The ATLAS experiment

Inner detector (2 T)

$$|\eta| < 2.5$$

Si Pixel et SCT, TRT
tracks, vertex

$$\sigma/p_T \sim 0.05\% p_T \text{ (GeV)} \oplus 1\%$$

Electromagnetic calorimeter

$$|\eta| < 3.2$$

Pb + LAr

electrons, photons, trigger

$$\sigma/E \sim 10\%/\sqrt{E \text{ (GeV)}} \oplus 0.7\%$$

Hadronic calorimeter

$$|\eta| < 4.9$$

Fe/Tile (central)

Cu/W + LAr (forward)

jets, E_T^{miss} , trigger

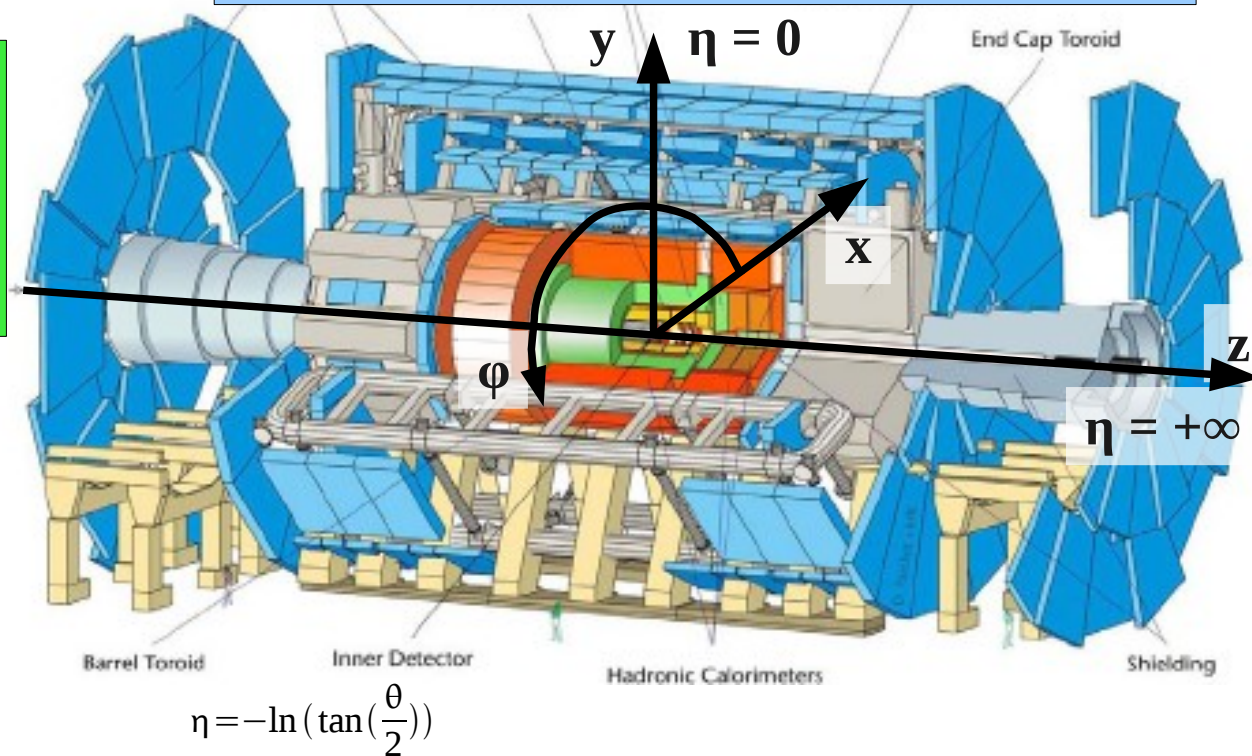
$$\sigma/E \sim 50\%/\sqrt{E \text{ (GeV)}} \oplus 3\%$$

Muon spectrometer (0.5 T)

$$|\eta| < 2.7$$

gas chamber in toroidal magnetic field
tracks, trigger

$$\sigma/p_T < 10\% \text{ up to 1 TeV}$$



- ◆ > 96% operating channels
- ◆ > 90% of data used for physics

➔ Very good behaviour of all sub-detector

38 countries
~ 3000 members

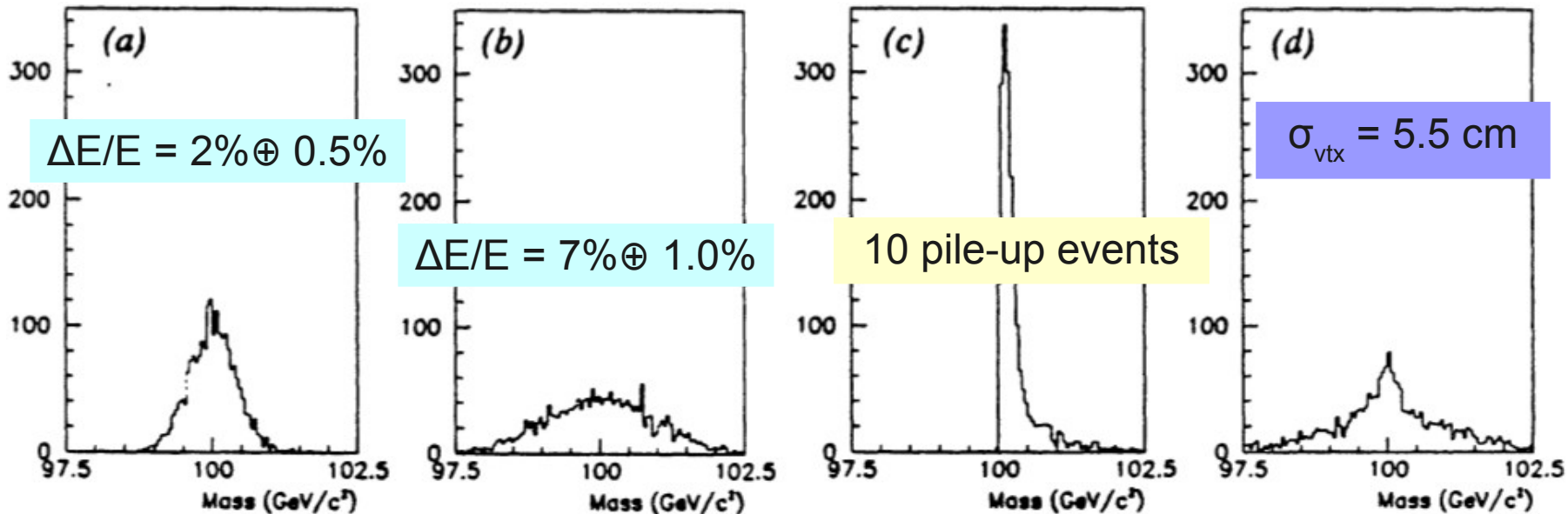
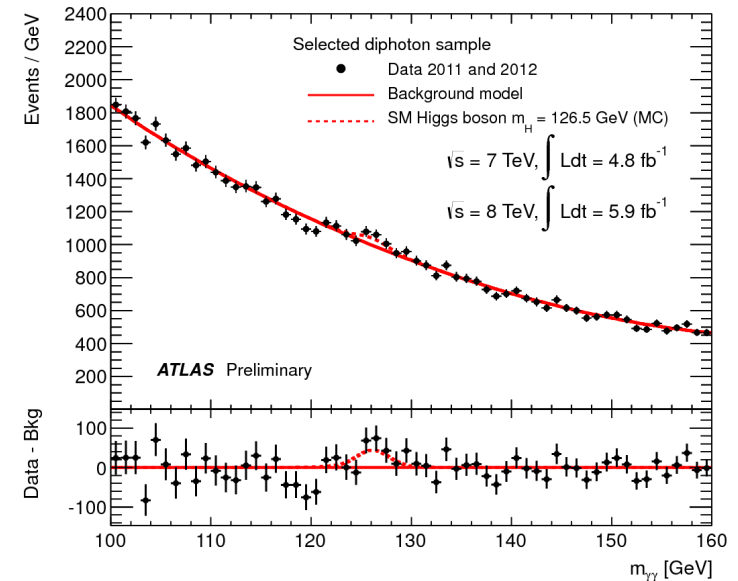


Calorimeter constraints for $H \rightarrow \gamma\gamma$ search

◆ Invariant mass: $m_{\gamma\gamma}^2 = 2 E_1 E_2 (1 - \cos\Delta\phi(\gamma_1; \gamma_2))$

◆ Energy: 1% precision needed
⇒ EM **calo resolution** cst term < 1%

◆ Angular separation: better than 5 mrad
⇒ **vertex** precision < 1.5 cm



Large Hadron Collider Workshop, Aachen, Germany, 1990

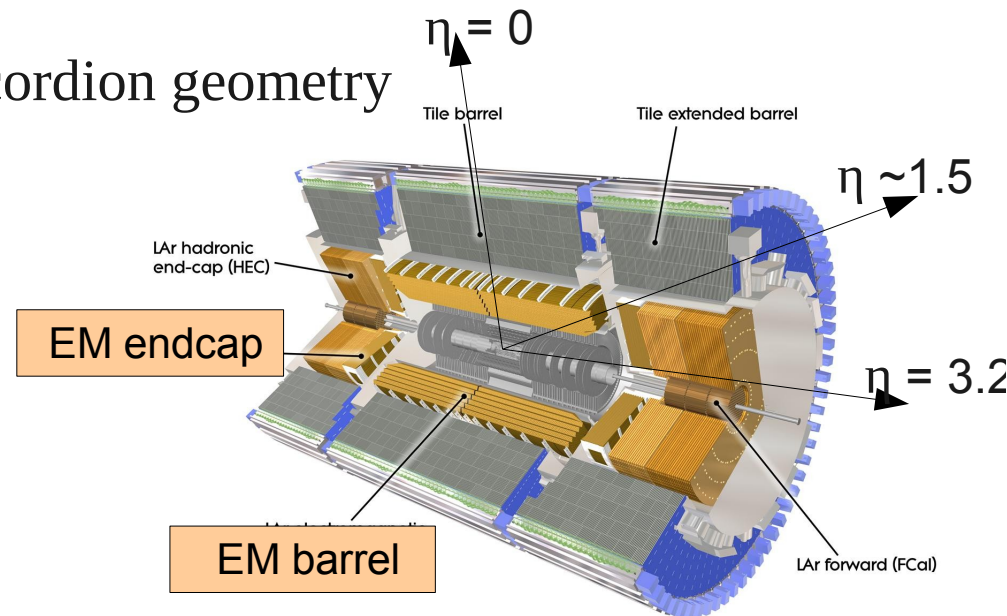
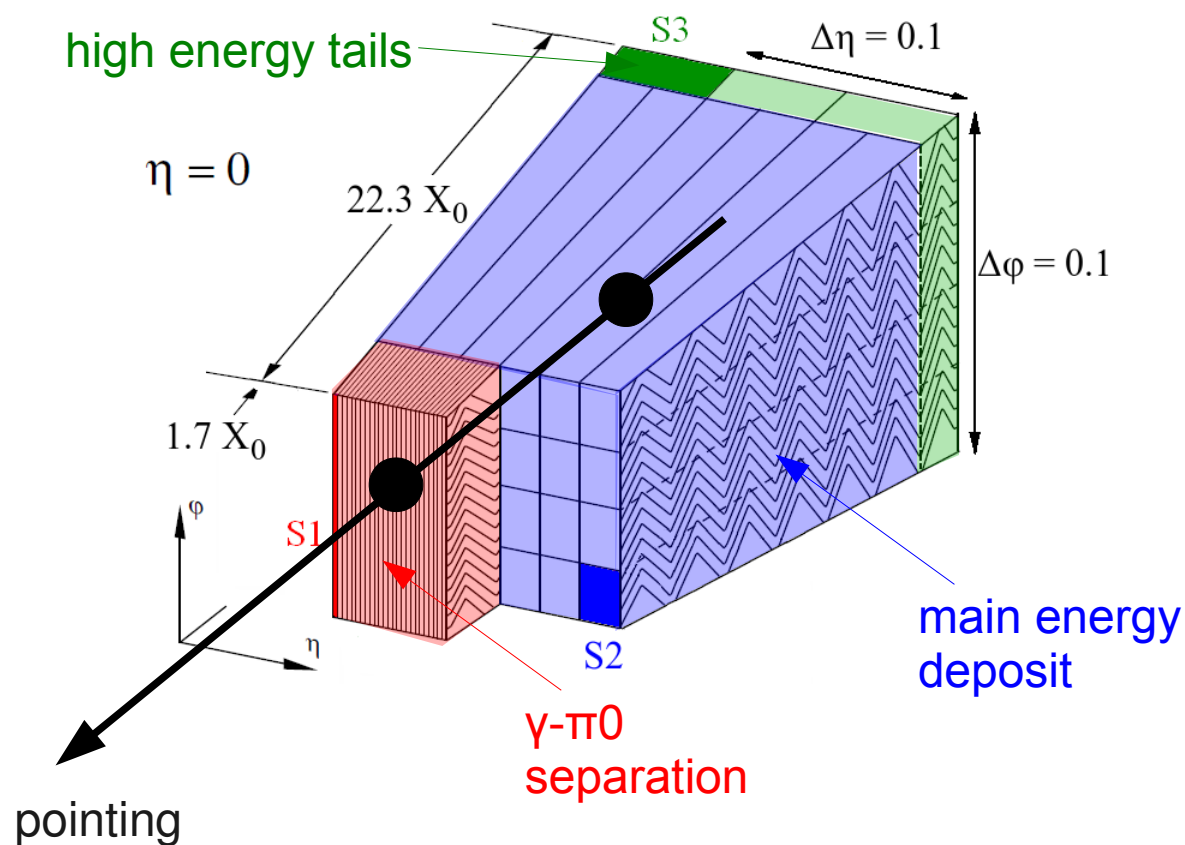
◆ Good photon identification and **large jet rejection**



EM calorimeter

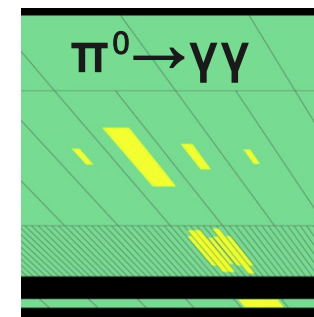
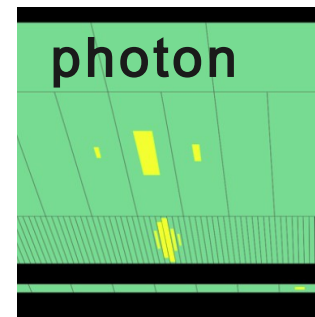
◆ Sampling calorimeter: Pb-LAr with accordion geometry

- fast read-out
- hermiticity in ϕ
- high granularity (~ 160000 cells)
- segmented laterally and longitudinally



◆ Expected resolution:

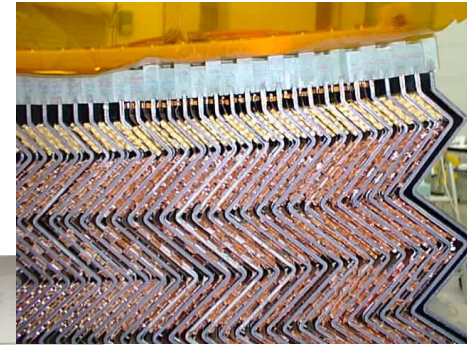
$$\frac{\sigma_E}{E} = \frac{10\%}{\sqrt{E}} \oplus 0.7\%$$





Le revers de la médaille...

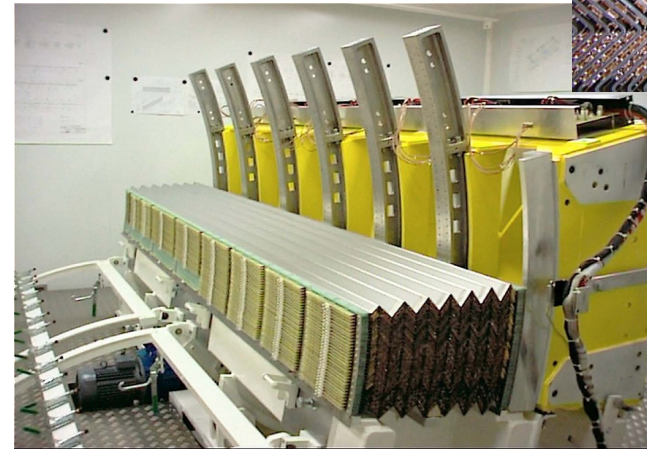
◆ Pliage des électrodes : machine du LAPP



◆ Assemblage des modules

- ~1/3 assemblés et testés au LAPP

◆ Cablage



ATLAS note
ATL-AB-EN-0014

Cabling procedure for the ATLAS electromagnetic barrel calorimeter modules

Written by : P. Perrodo¹.

Have contributed to this work: M. Cailles¹,
M. Chalifour², P. Cometise³, A. Girard¹, P. Imbert³,
A. Jeremie², B. Mansoulié², N. Massol¹, H. Przysezial⁴,
G. Sauvage¹, J. Schwinding² and J. Tesson¹.

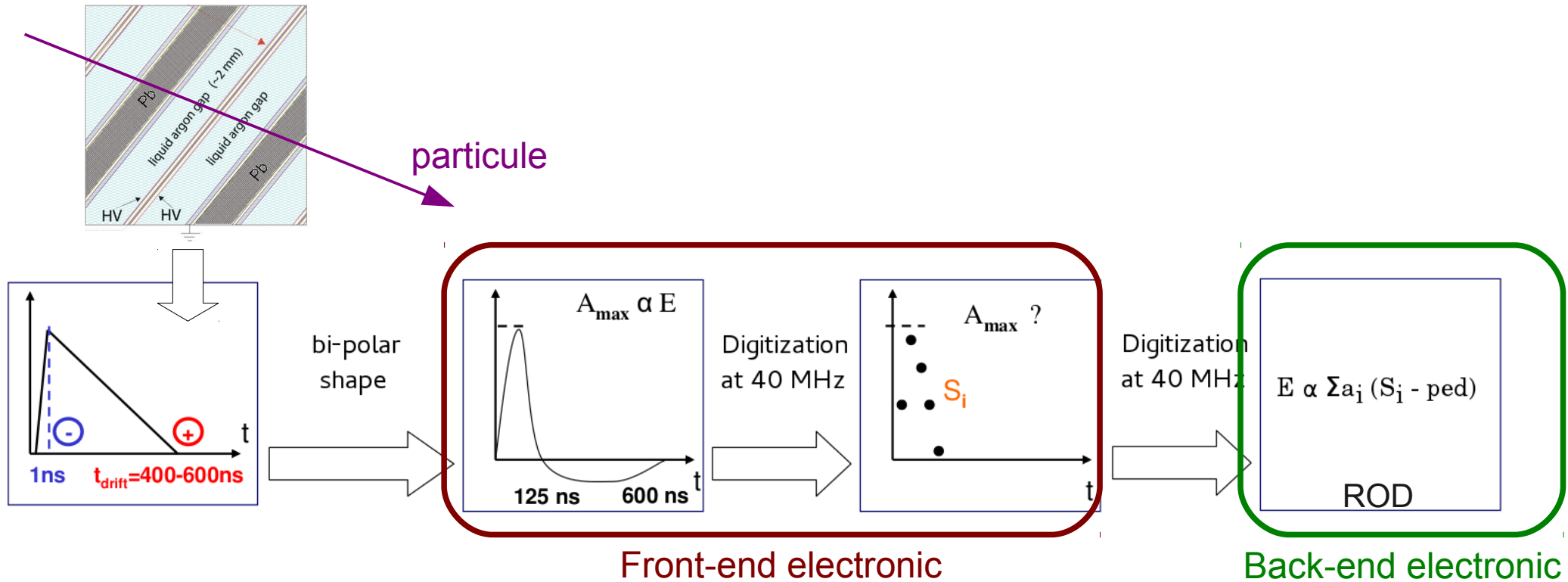
Updated from the experience on the wheel M

May 29, 2002

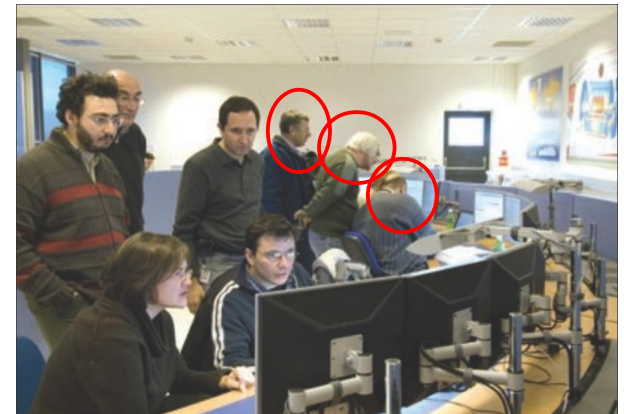
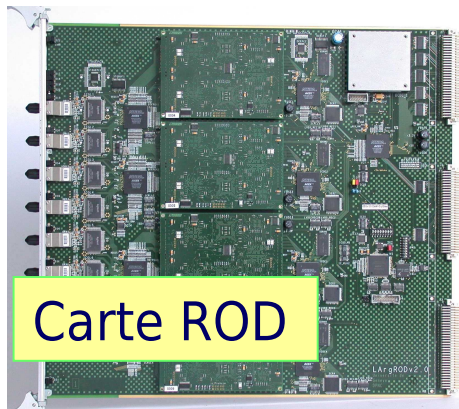




Reconstruction de l'énergie dans le calorimètre



- ◆ Cartes calibration, ROD
- ◆ Soft acquisition et contrôle des cartes + code DSP

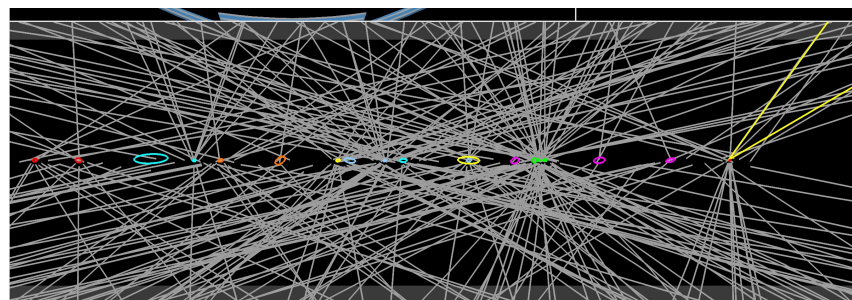
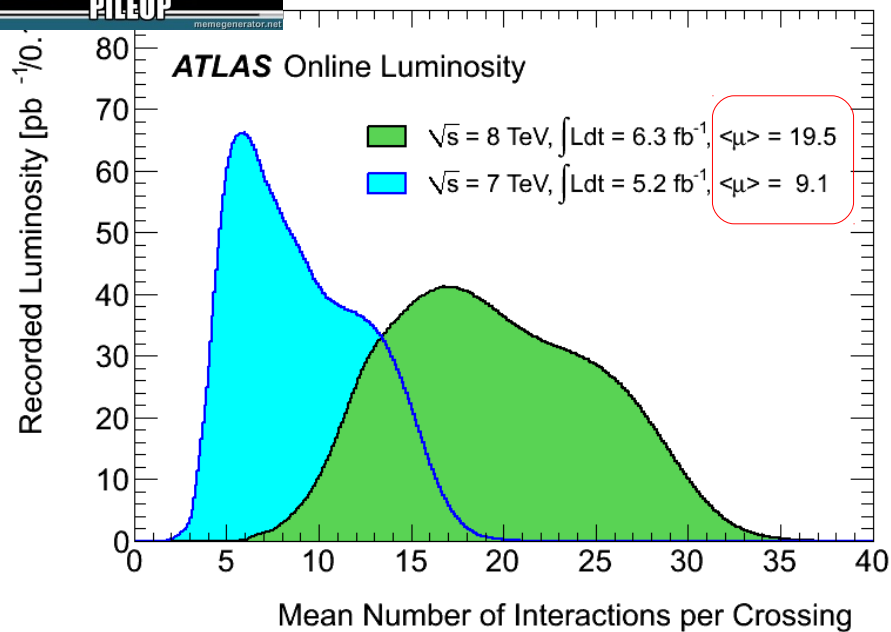
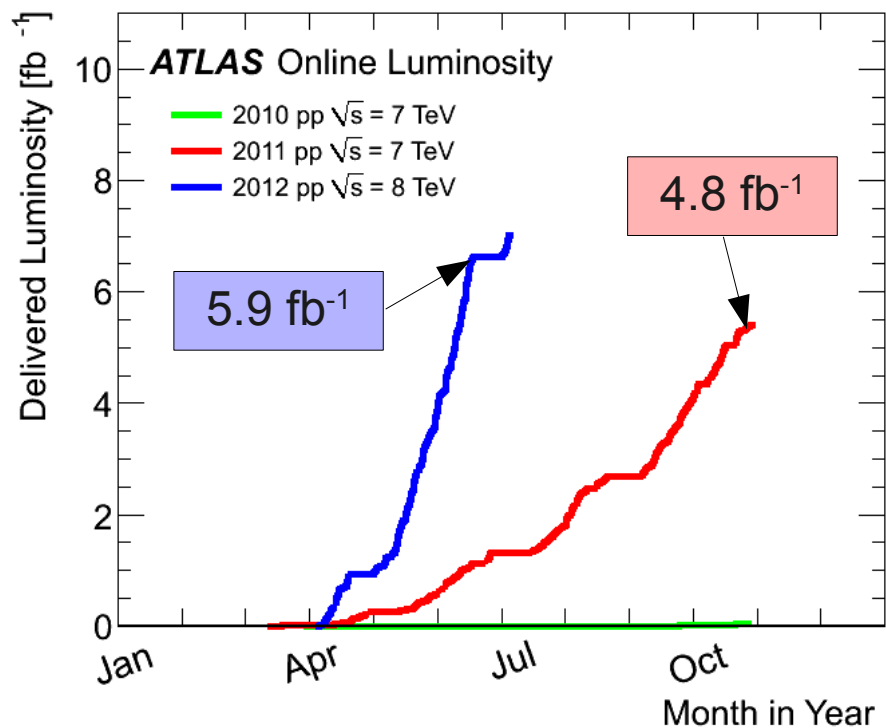


$H \rightarrow YY$



Luminosity & pile-up

◆ Total luminosity 2011 + 2012: 10.7 fb^{-1}



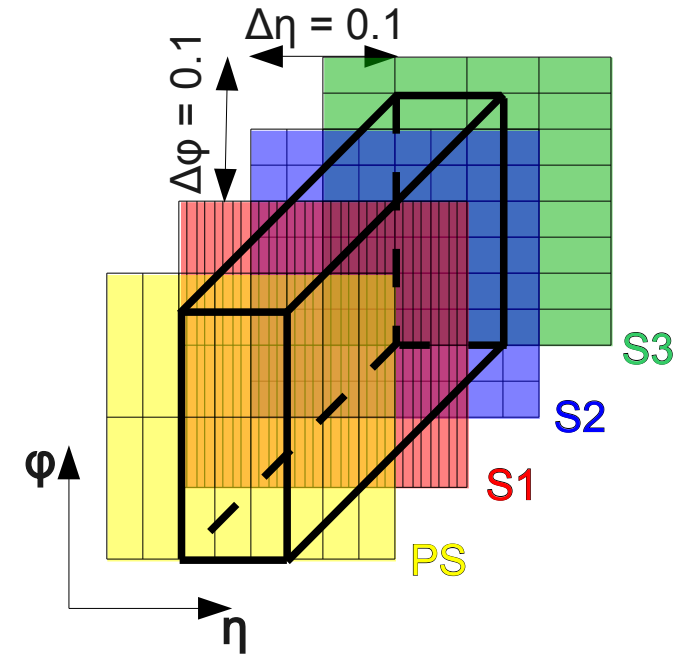
$Z \rightarrow \mu\mu + 20 \text{ pile-up events}$



Photons: energy

◆ Cluster reconstruction

- $\Delta\eta \times \Delta\phi = 0.075 \times 0.175 = 3 \times 5 / 3 \times 7$ cells, in the barrel
- $\Delta\eta \times \Delta\phi = 0.125 \times 0.125 = 5 \times 5$ cells, in the end-caps
- $E_{amas} \approx E_{PS} + E_1 + E_2 + E_3$



◆ Energy resolution

$$m_{\gamma\gamma}^2 = 2 E_1 E_2 (1 - \cos\Delta\phi(\gamma_1; \gamma_2))$$

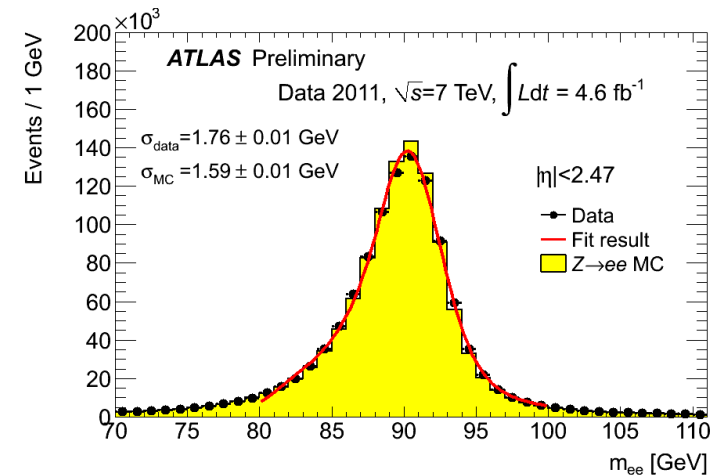
- measured from $Z \rightarrow ee$ peak resolution

$$\left\{ \begin{array}{l} c = 1\% \text{ barrel} \\ c = 1.2-2.5\% \text{ endcap} \end{array} \right. \quad \frac{\sigma_E}{E} = \frac{a}{\sqrt{E}} \oplus c$$

\Rightarrow **12%** uncertainty on $m_{\gamma\gamma}$ resolution

◆ Electron energy scale extrapolated to photon with MC

\Rightarrow **6%** uncertainty on $m_{\gamma\gamma}$ resolution





Photon: tracking and pointing

◆ ~ half of photons converted before calo

- stable with pile-up

$$m_{\gamma\gamma}^2 = 2 E_1 E_2 (1 - \cos \Delta\phi(\gamma_1; \gamma_2))$$

◆ Unconverted photons

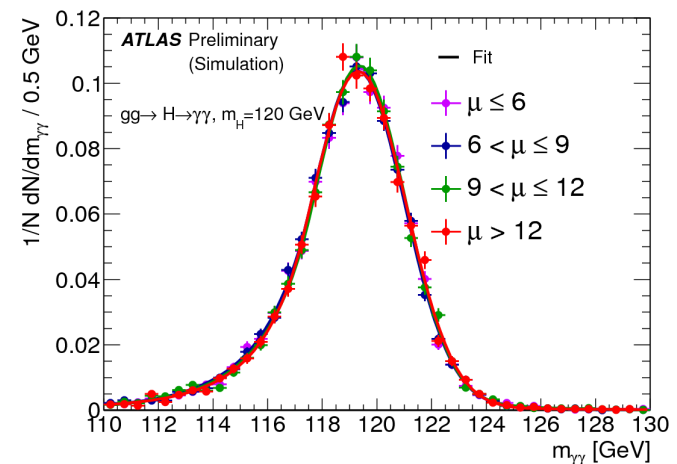
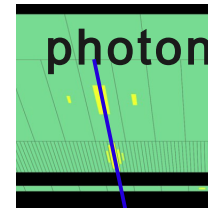
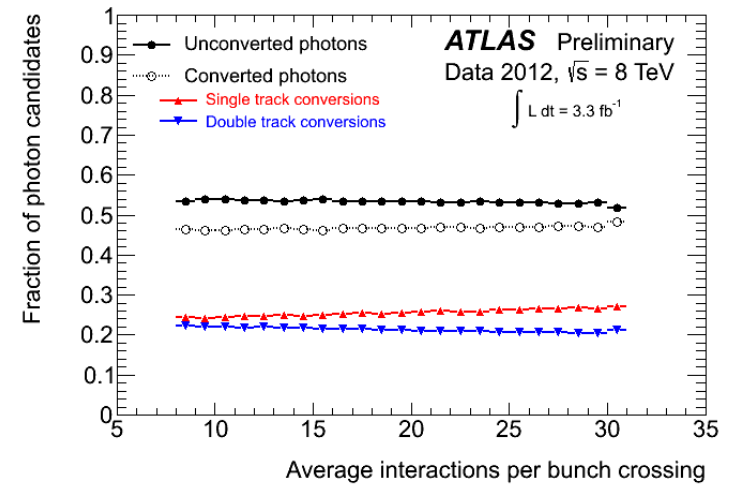
- photon direction from calorimeter longitudinal segmentation

◆ Converted photons

- position of conversion vertex (Si hits)

➔ Primary vertex measured to ~1.5 cm

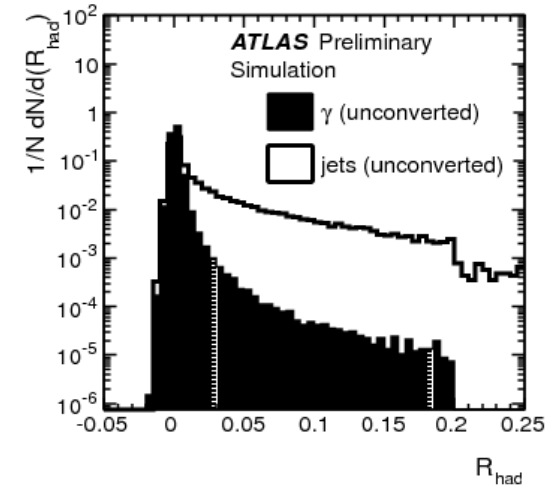
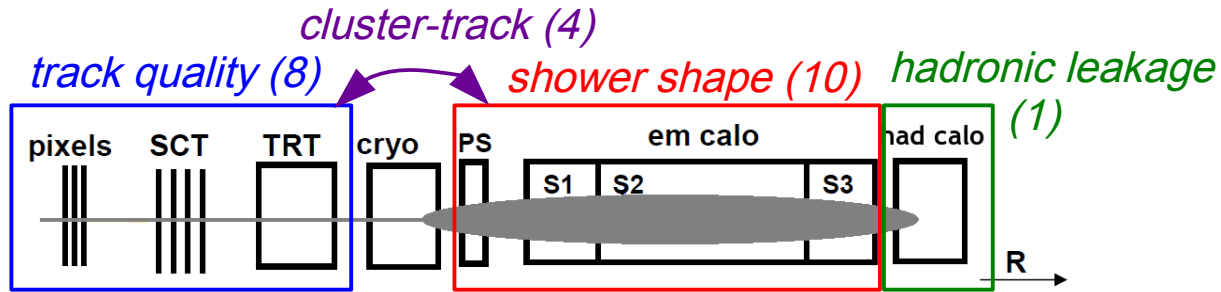
➔ Insensitive to pile-up





Photons: identification

- ◆ **Identification** : info from calo + tracks



- ◆ Two methods used:

- $\sqrt{s} = 7$ TeV: Neural-network

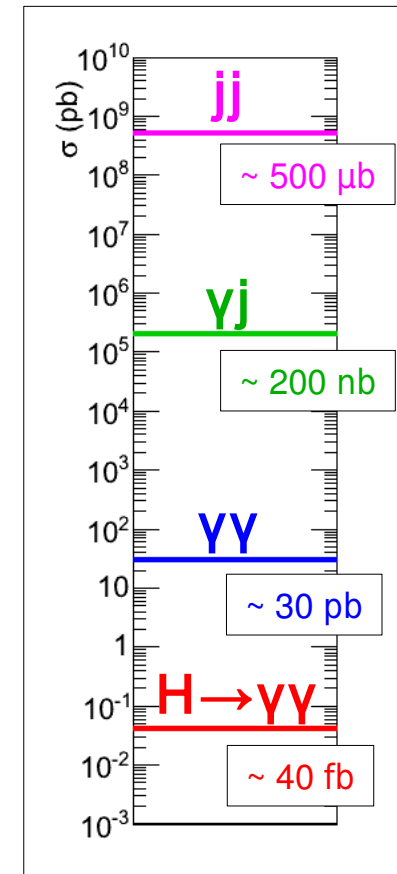
uncertainty: $\sim 4\%$ /photon \Rightarrow **8.4%/event**

- $\sqrt{s} = 8$ TeV: rectangular cuts, optimised against pile-up

uncertainty: 5/7% barrel/end-cap \Rightarrow **10.8%/event**

- ◆ efficiency: 85% to $>95\%$

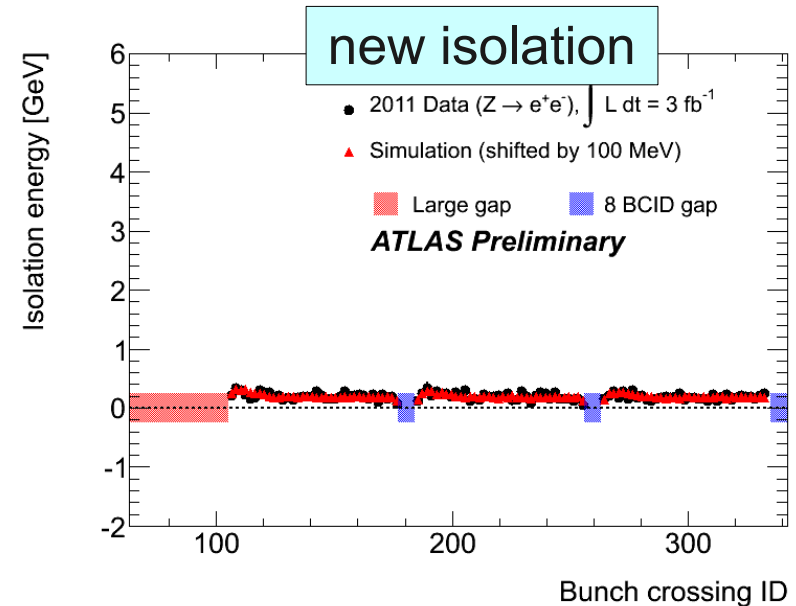
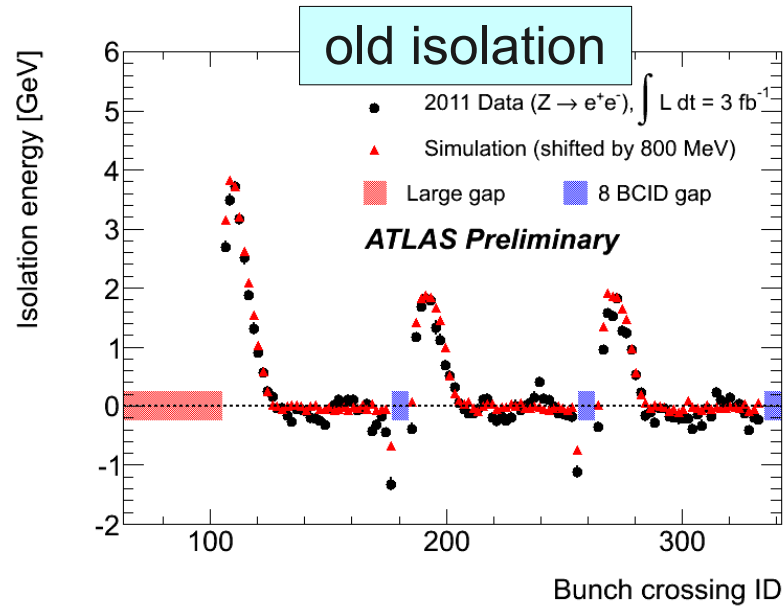
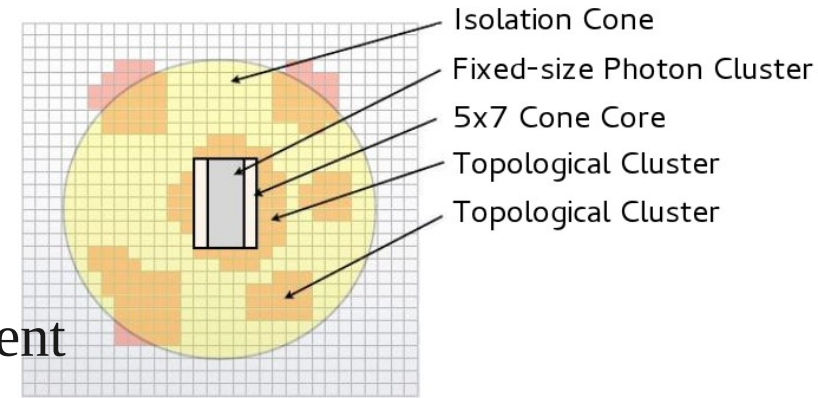
- rejection ~ 5000





Photon: isolation

- ◆ Computed from positive-energy topological clusters in calorimeter with $\Delta R < 0.4$
- ◆ Corrected for pileup and underlying event by subtracting ambient energy density event-by-event



- ◆ Good stability with position of colliding bunches in train \rightarrow robust with pileup
- ◆ Uncertainty on signal yied: 0.4-0.5%



Event selection (1)

◆ Cuts

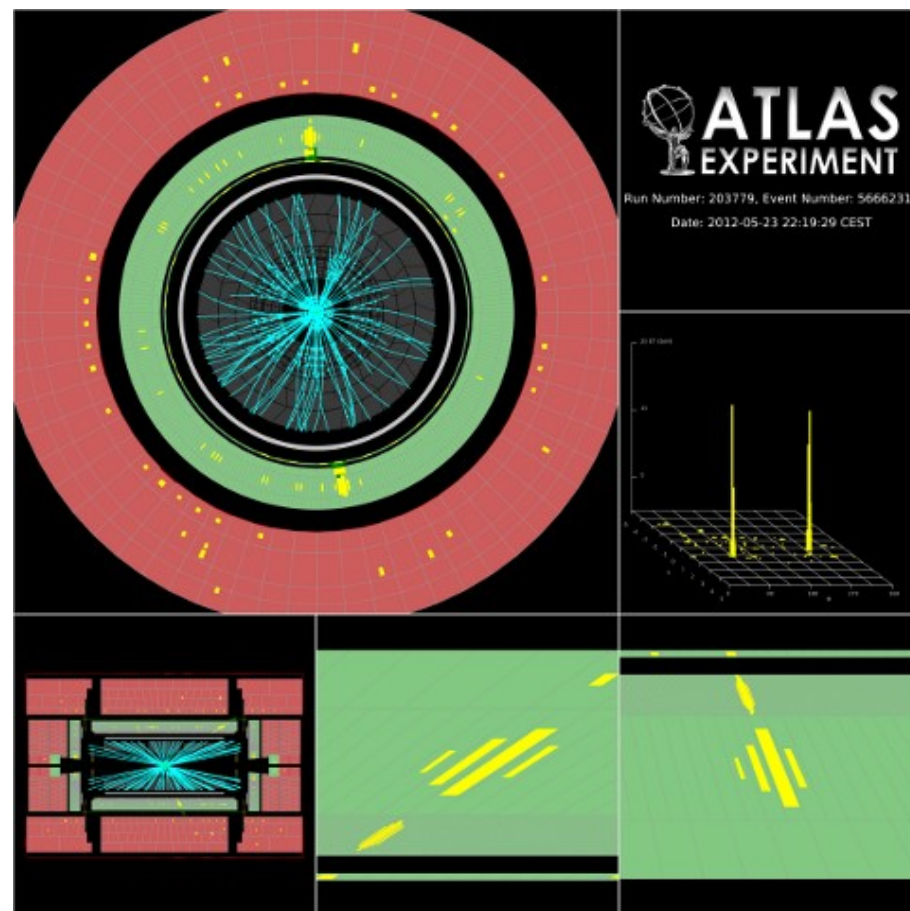
- 2 photons with $|\eta| < 2.37$, not in crack
- $p_T^{\text{leading}} > 40 \text{ GeV}$, $p_T^{\text{subleading}} > 30 \text{ GeV}$
- *tight* identification
- isolated
- $100 < m_{\gamma\gamma} < 160 \text{ GeV}$

◆ Acceptance on signal:

- 30-40%

◆ Expected and selected events:

| | ggF | VBF | WH | ZH | ttH | total | data |
|----------------------------|-------|-----|-----|-----|-----|-------|-------|
| $\sqrt{s} = 7 \text{ TeV}$ | 70.9 | 5.8 | 2.4 | 1.3 | 0.3 | 80.8 | 23788 |
| $\sqrt{s} = 8 \text{ TeV}$ | 100.3 | 8.3 | 3.2 | 1.8 | 0.5 | 113.1 | 35271 |





Event selection (2)

◆ Background decomposition

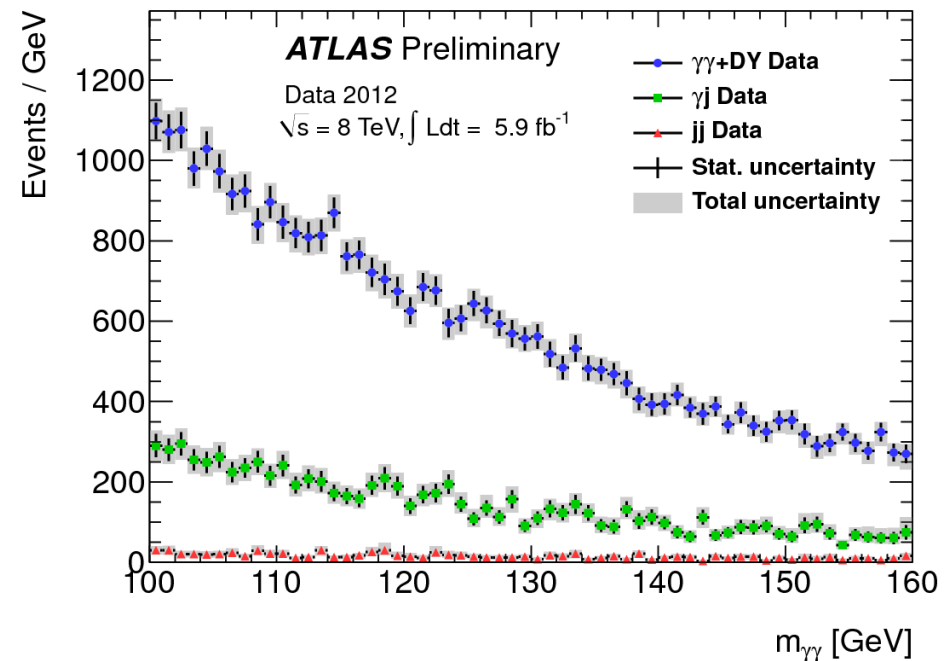
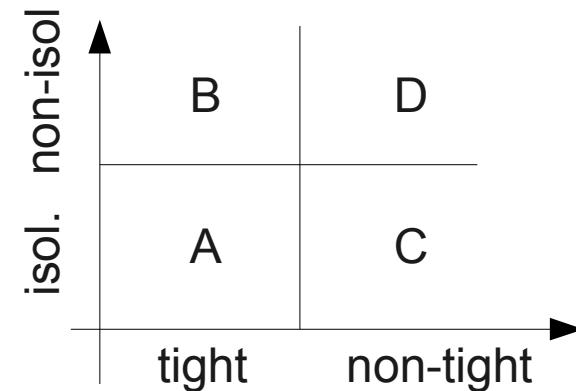
- *irreducible*: $\gamma\gamma$ from QCD processes
- *reducible*: γj or jj with mis-identified jet

◆ Data-driven decomposition

- **2x2D side-band** method
 - generalisation of ABCD method for two candidates
- check performance of photon identification
- validation of description of background modelling

◆ Results:

| | $\gamma\gamma$ | γj | jj |
|----------------------------|----------------|------------|------|
| $\sqrt{s} = 7 \text{ TeV}$ | 80% | 19% | 1.8% |
| $\sqrt{s} = 8 \text{ TeV}$ | 75% | 22% | 2.6% |



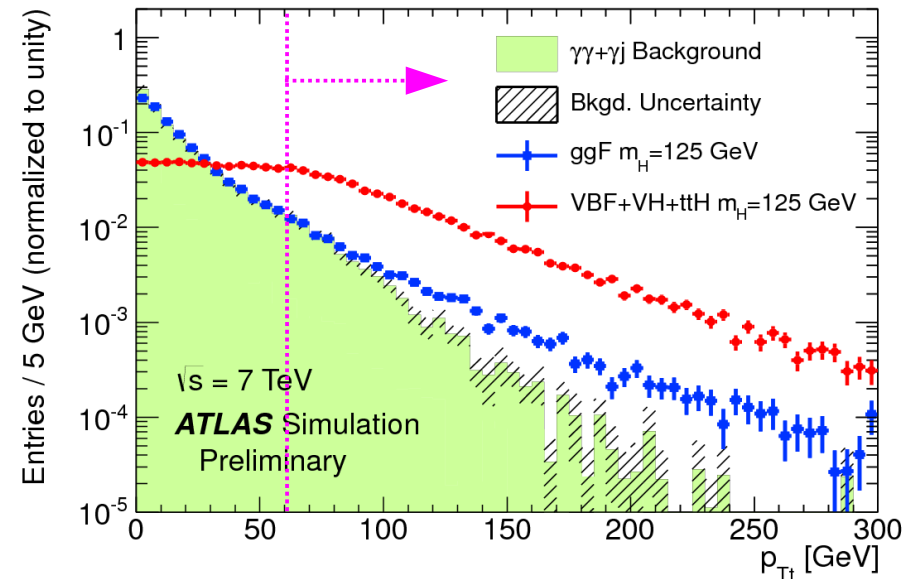
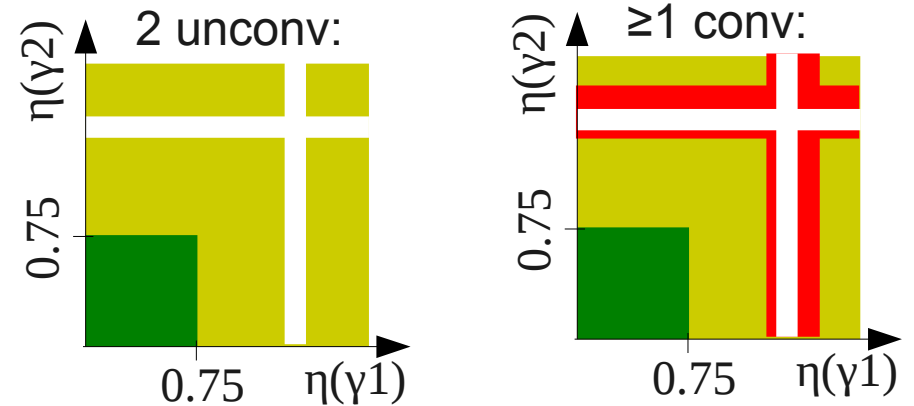
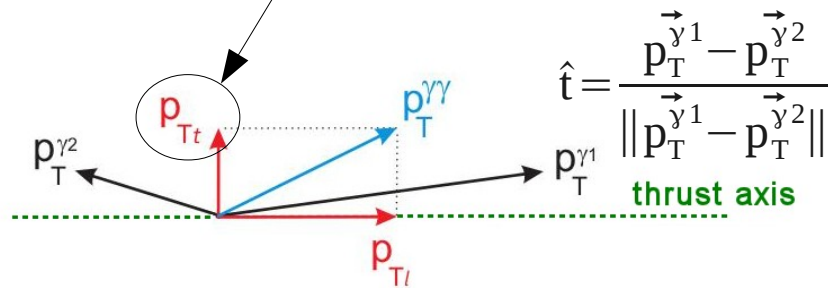


Study in categories (1)

- ◆ To enhance sensitivity: data sample split in **categories**, with different $m_{\gamma\gamma}$ resolutions and different S/B

- ◆ 10 categories:

- +15% — converted/unconverted photons
- +5-10% — 3 eta regions
- +2-3% — p_T thrust (60 GeV cut)
- 2-jet

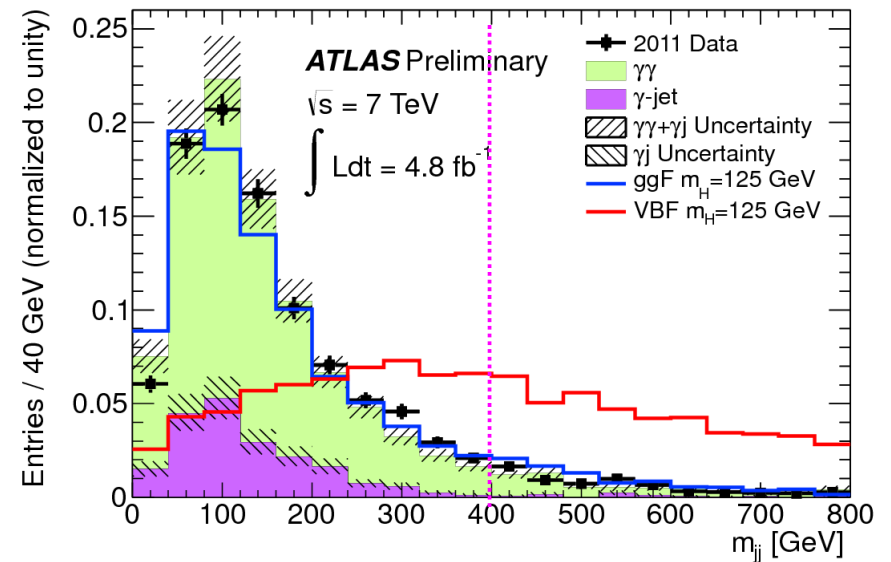
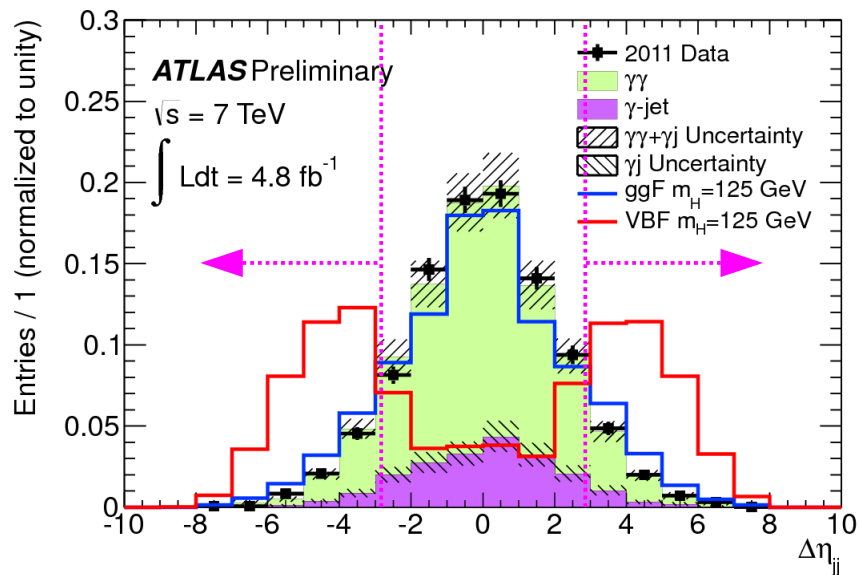
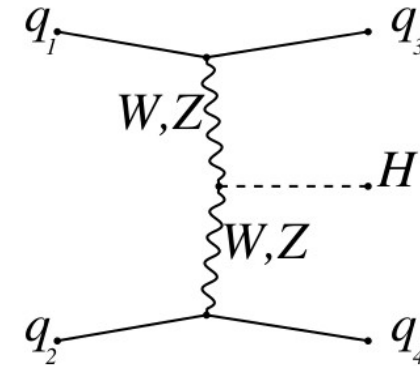




Study in categories (2)

◆ Category for enriched VBF signature:

- 2 jets with $p_T > (30)25$ GeV and $|\eta| < 4.5$
- $|\Delta\eta| > 2.8$
- $m_{jj} > 400$ GeV
- $|\Delta\phi(\gamma\gamma;jj)| > 2.6$



◆ 29%/24% efficiency on VBF Higgs boson at $\sqrt{s} = 7/8$ TeV

- **~70% VBF**, 30% ggF



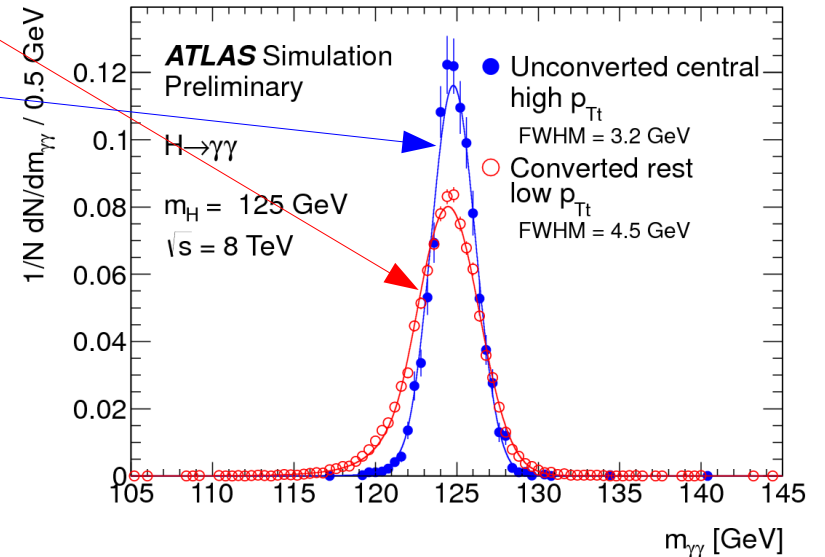
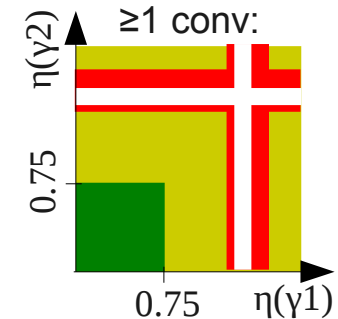
Study in categories (3)

◆ Resolution and S/B in window that would contain 90% of the signal:

- $\sqrt{s} = 8 \text{ TeV}$, $m_H = 126.5 \text{ GeV}$

| | resolution (GeV) | S / B |
|-----------|------------------|-------|
| inclusive | 1.63 | 0,030 |

| | | | | |
|----------|--------|-----------|------|-------|
| low pTt | unconv | low eta | 1.45 | 0,060 |
| | | high eta | 1.57 | 0,025 |
| | conv | low eta | 1.67 | 0,042 |
| | | high eta | 1.93 | 0,018 |
| | conv | crack eta | 2.65 | 0,014 |
| high pTt | unconv | low eta | 1.37 | 0,164 |
| | | high eta | 1.51 | 0,071 |
| | conv | low eta | 1.50 | 0,150 |
| | | high eta | 1.68 | 0,057 |
| | 2-jets | | 1.57 | 0,217 |





Systematic errors related to jets (1)

- ◆ Introduction of 2-jet category \Rightarrow **new** systematics uncertainties

| $m_H = 120 \text{ GeV}$ | QCD scale | PDF + α_s |
|-------------------------|-----------------|------------------|
| ggF | +11.9% -7.9% | +7.8% -7.2% |

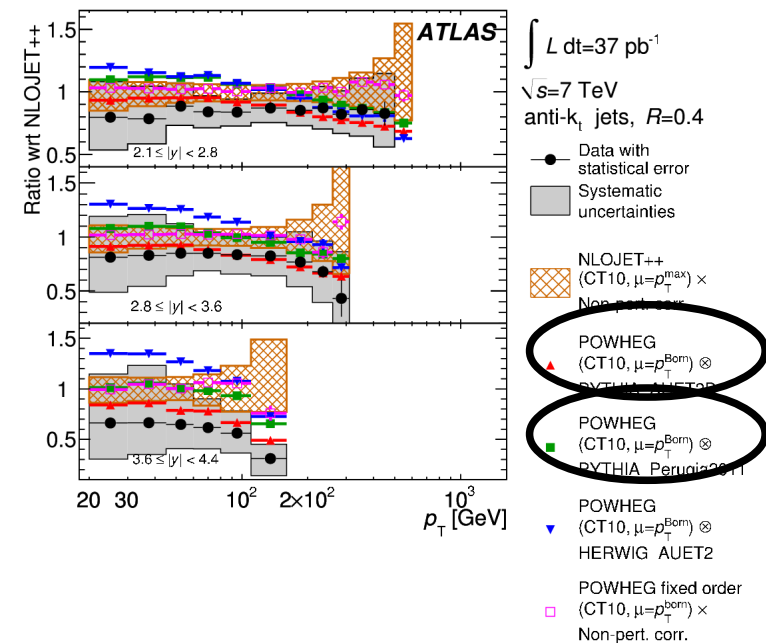
- ◆ **QCD scale uncertainty**

- baseline: "Handbook of LHC Higgs Cross Sections"
- ggF: computed at NNLO \Rightarrow 1st jet at NLO \Rightarrow 2nd jets at LO \Rightarrow 70% error
- use of MCFM: $\gamma\gamma+2$ jets at NLO \Rightarrow **25% error for 2-jet bin**

- ◆ **Underlying Event modelling**

- comparison of 2 two pythia tunes: AUET2B and Perugia2011
- different description of forward jets
- example: Measurement of inclusive jet and dijet production in pp collisions at $\sqrt{s} = 7 \text{ TeV}$ using the ATLAS detector
- **30%** uncertainty for **ggF**
- **6%** uncertainty for **VBF**

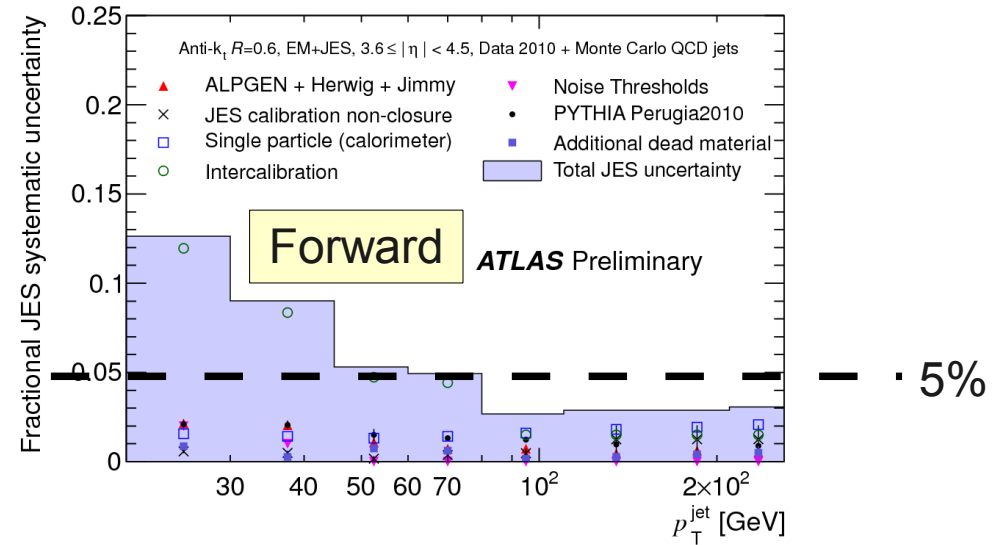
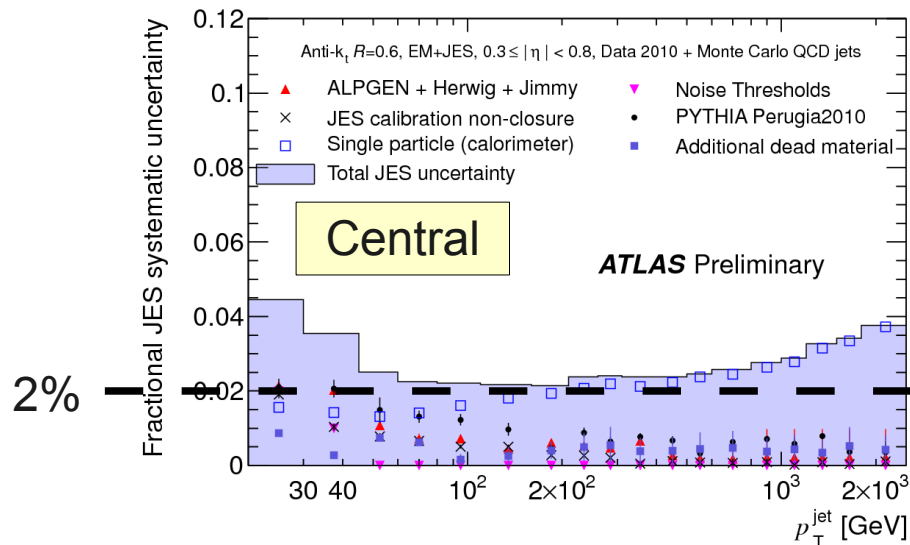
CERN-PH-EP-2011-192





Systematic errors related to jets (2)

- ◆ Jet Energy Resolution: negligible
- ◆ Jet Energy Scale uncertainties



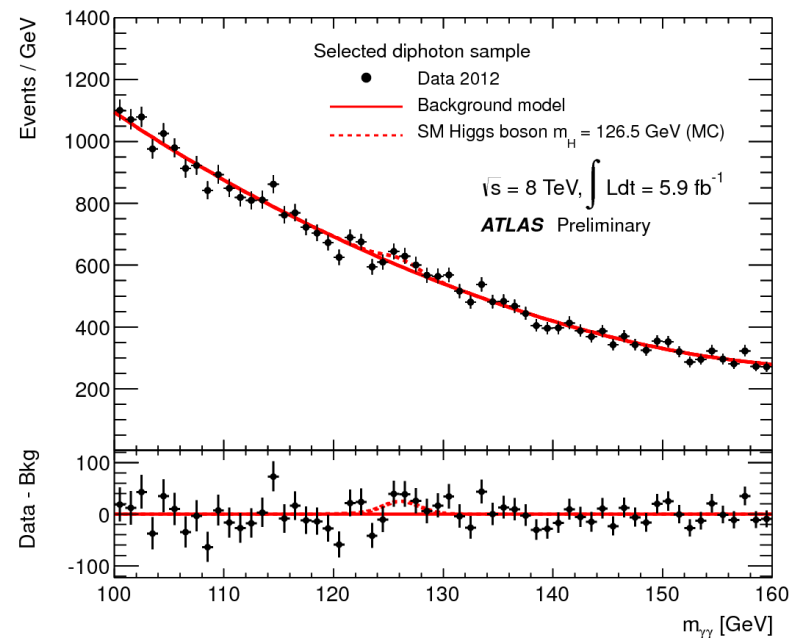
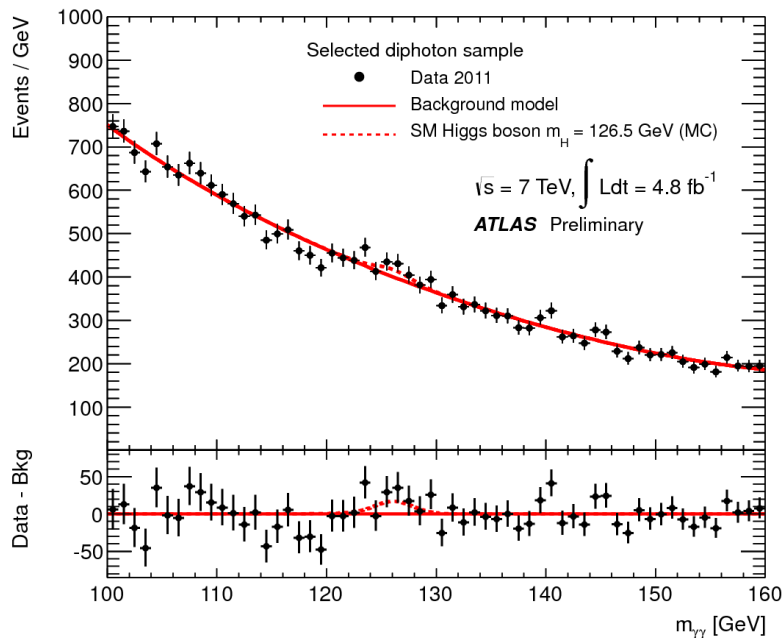
- varying JES by its uncertainty
- uncertainties separated for
 - low p_T , high p_T and 2-jet categories
 - ggF, VBF, others
- up to 19% in 2-jet bin, <5% in other categories



Summary of systematic errors

- ◆ Systematic uncertainties /category and /production process
- ◆ Largest systematic errors:

| | | 7 TeV | 8 TeV |
|--------------------|--|-----------|-------|
| Signal event yield | photon ID | 8.4% | 10.8% |
| | theory $gg \rightarrow H + 2\text{jets}$ | up to 25% | |
| | Underlying Event (2-jet) | 6-30% | |
| Category migration | Jet energy scale | ggF: 19% | |
| | | VBF : 8% | |
| Mass | calo energy resolution | 12% | |
| Resolution | photon energy calibration | 6% | |

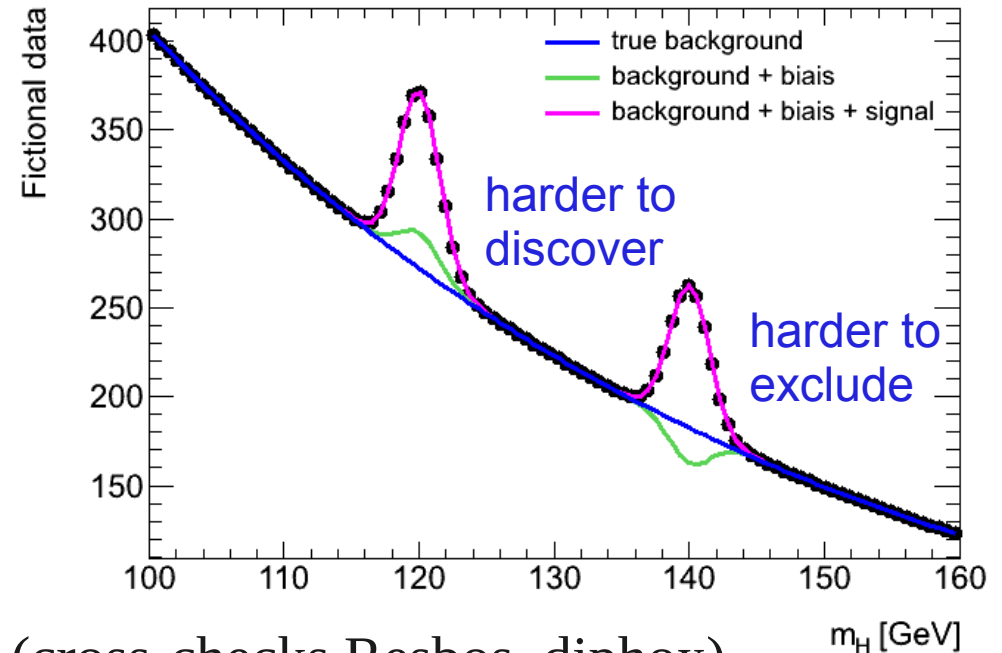




Background fits (1)

◆ Bkgd parametrized by analytic function for each category

- exponential
- 4th order Bernstein polynomial
- $\exp(a*x+b*x^2)$



◆ Bias checked with Bkgd MC Sherpa (cross-checks Resbos, dipbox)

- bias = number of event when fitting 'bkgd+signal' fit on bkgd only MC

◆ MC bkgd shapes compared to data-driven decomposition in each category

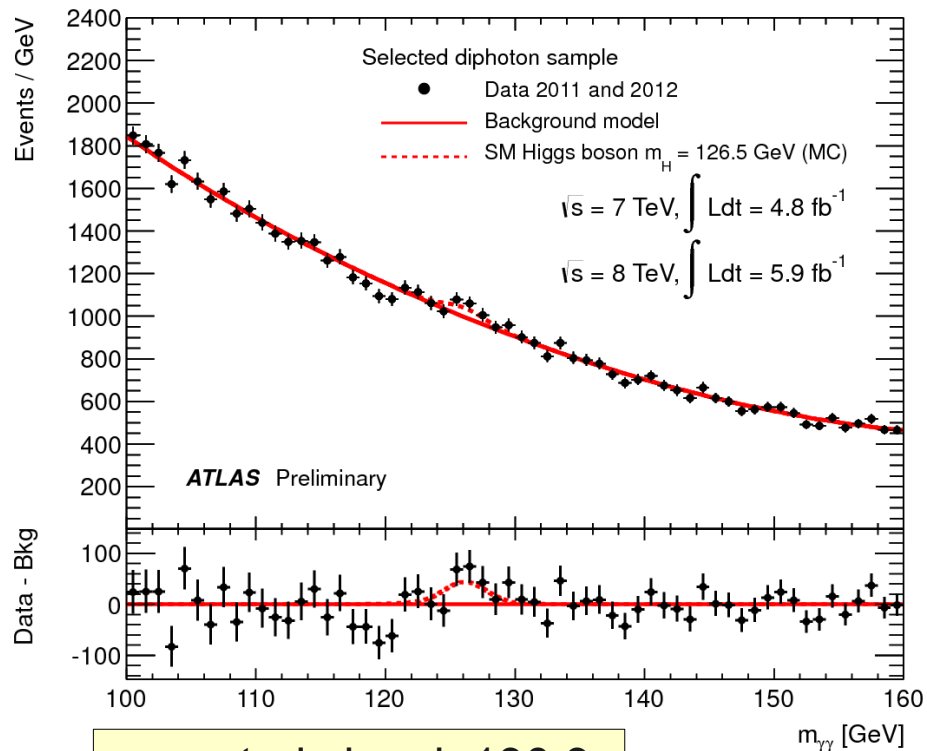
→ Uncertainty on signal normalisation

- inclusive: **7.3 events** at $\sqrt{s} = 7$ TeV, **10.6 events** at $\sqrt{s} = 8$ TeV

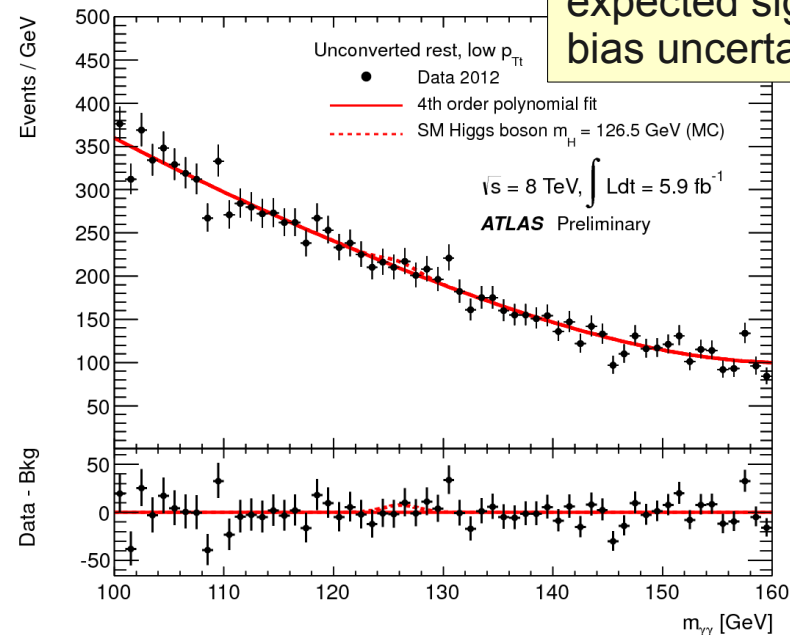


Background fit (2)

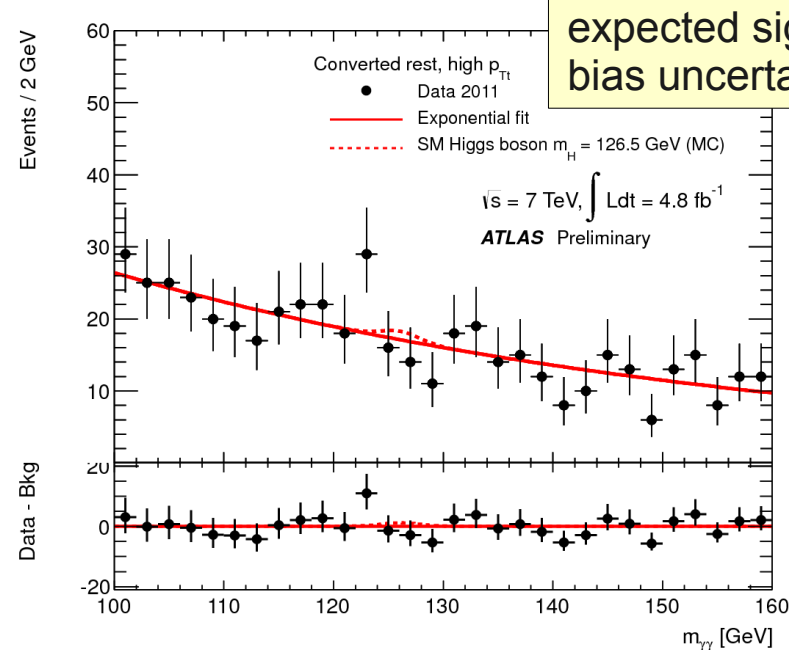
Examples:



expected signal: 190.9
bias uncertainty: 17.9



expected signal: 31.4
bias uncertainty: 3.3



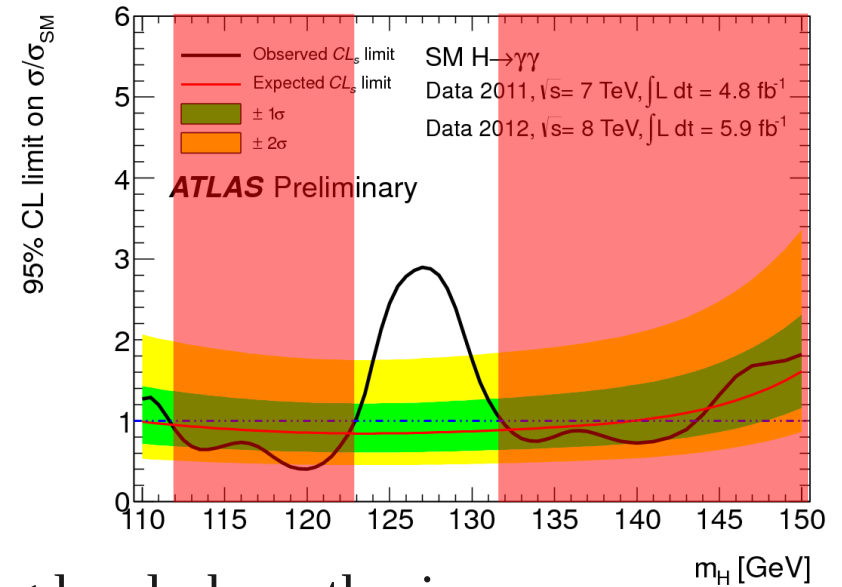
expected signal: 2.7
bias uncertainty: 0.5



Results (1)

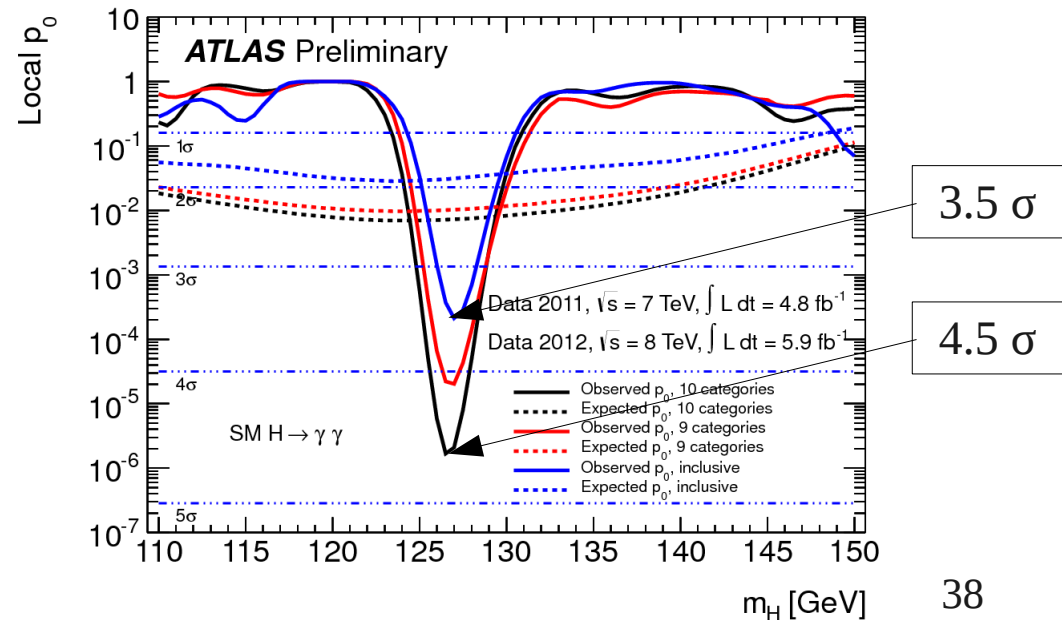
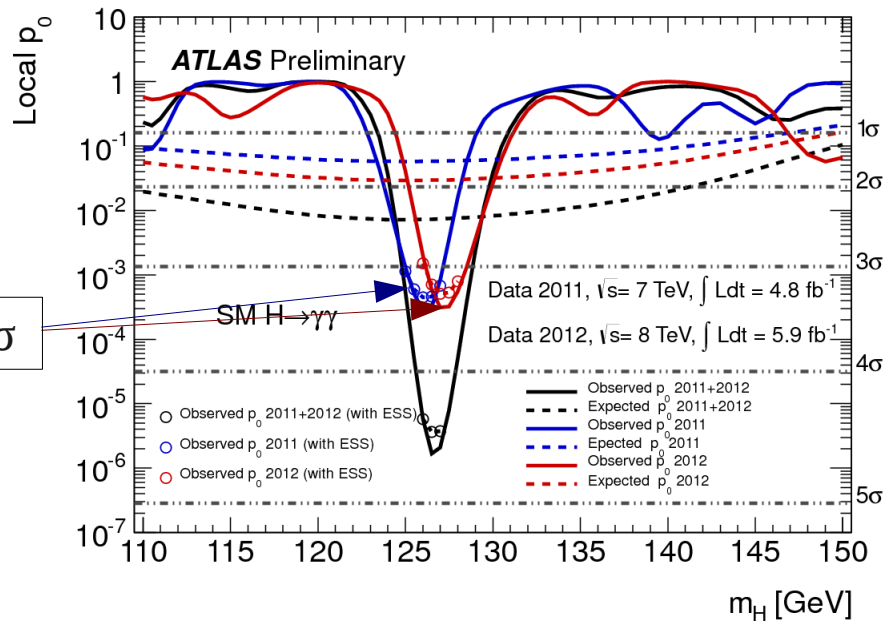
◆ Exclusion @95% CL:

- expected: 0.8 to 1.6 SM
- excluded: (112-122.5) and (132-143) GeV



◆ p_0 = compatibility of selected events with bkgd-only hypothesis

- min: $2 \cdot 10^{-6}$ at 126.5 GeV





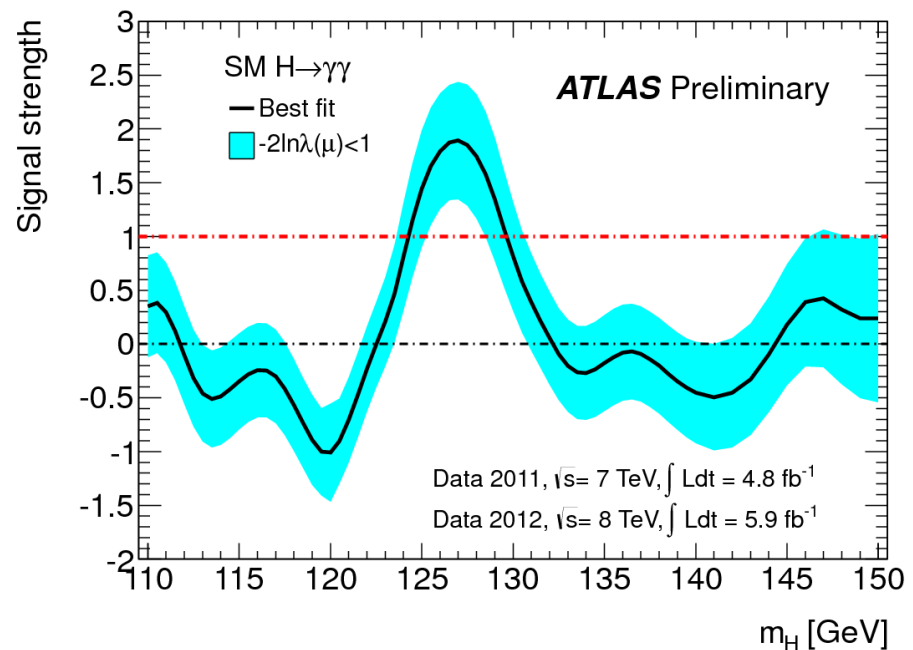
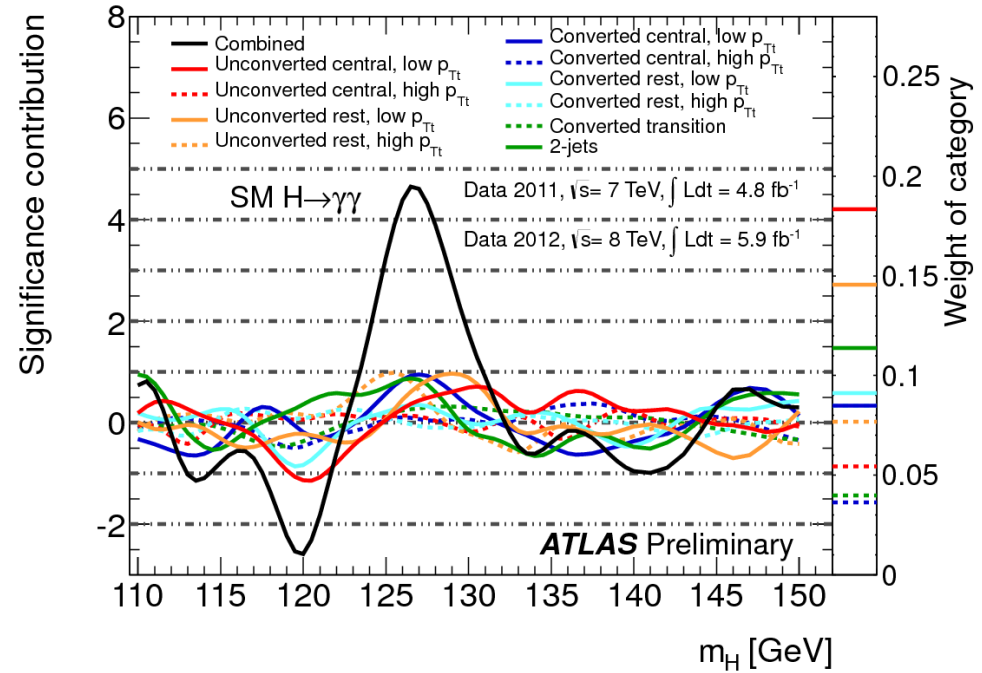
Results (2)

◆ Max significance :

- 4.5 σ (local)
- expected: 2.5 σ
- 3.6 σ (global)
- CMS: 4.1 σ (local)

◆ Fitted signal strength:

- $\mu = \frac{\sigma}{\sigma_{\text{SM Higgs}}}$
- $\mu = 1.9 \pm 0.5$ at 126.5 GeV
- CMS: $\mu = 1.6 \pm 0.4$ at 125 GeV



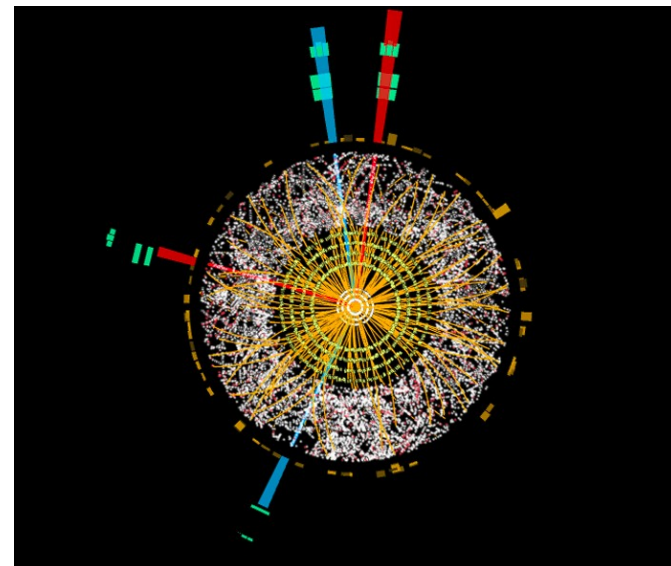
$$H \rightarrow ZZ \rightarrow \ell\ell\ell\ell$$



Event selection

- ◆ Two same-flavor opposite-sign di-leptons (e/μ)
- ◆ $p_T^{1,2,3,4} > 20, 15, 10, 7$ GeV (6 GeV for μ)
- ◆ $50 \text{ GeV} < m_{12} < 106 \text{ GeV}$
- ◆ $17.5 - 50 < m_{34} < 115 \text{ GeV}$
 - all same-flavor opposite-sign pairs $m_{ll} > 5$ GeV
 - $\Delta R(l, l') > 0.10(0.20)$ for all same(different)-flavor
- ◆ Number of events in $80 < m_{4l} < 600$ GeV:

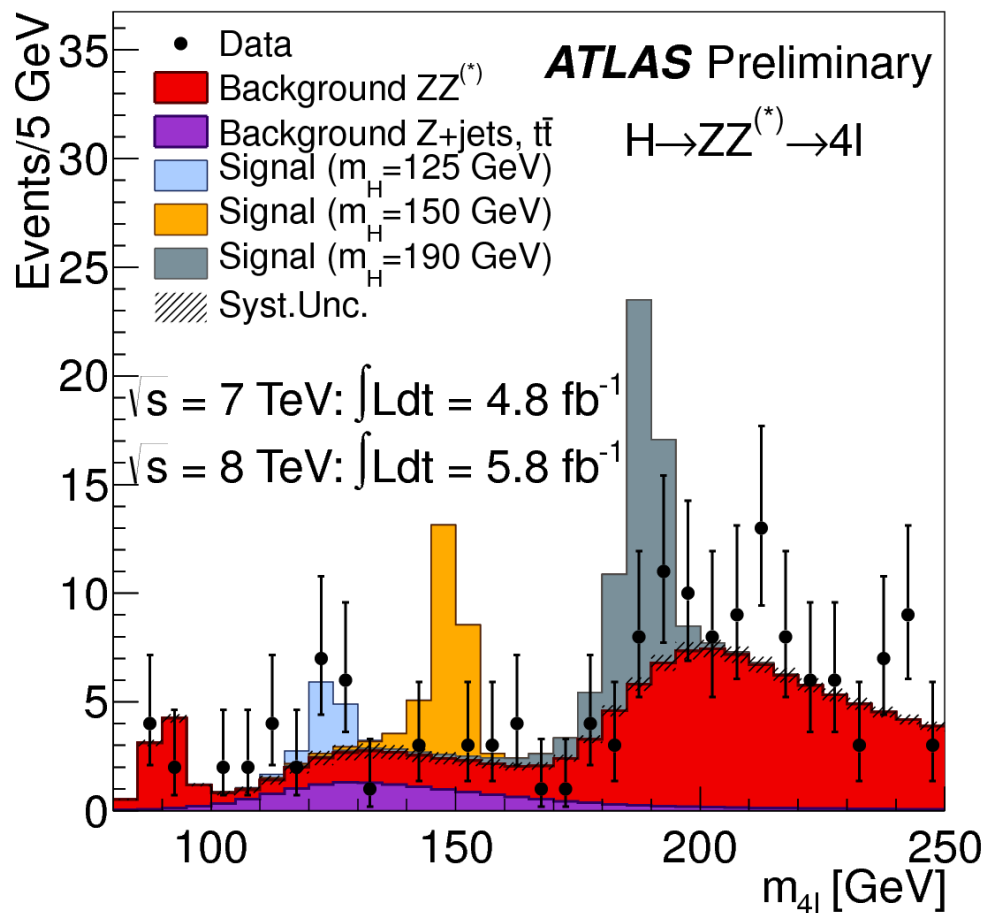
| | $\sqrt{s} = 7 \text{ TeV}$ | $\sqrt{s} = 8 \text{ TeV}$ |
|-----|----------------------------|----------------------------|
| obs | 88 | 142 |
| exp | 71 ± 5 | 109 ± 7 |





H → 4 leptons

◆ Invariant mass:



◆ Events in $m_{4\ell}$ region 125 ± 5 GeV:

| | $\sqrt{s} = 7$ TeV | $\sqrt{s} = 8$ TeV | total |
|-------------|--------------------|--------------------|---------------|
| exp. bkgd | 2.1 ± 0.3 | 2.9 ± 0.4 | 5.1 ± 0.8 |
| exp. signal | 2.0 ± 0.3 | 3.3 ± 0.5 | 5.3 ± 0.8 |
| observed | 4 | 9 | 13 |

◆ Expected S/B at 125 GeV:

- $4\mu \sim 1.6$
- $2e2\mu \sim 1.0$
- $4e \sim 0.8$

◆ ZZ bkgd shape from MC, norm. with data

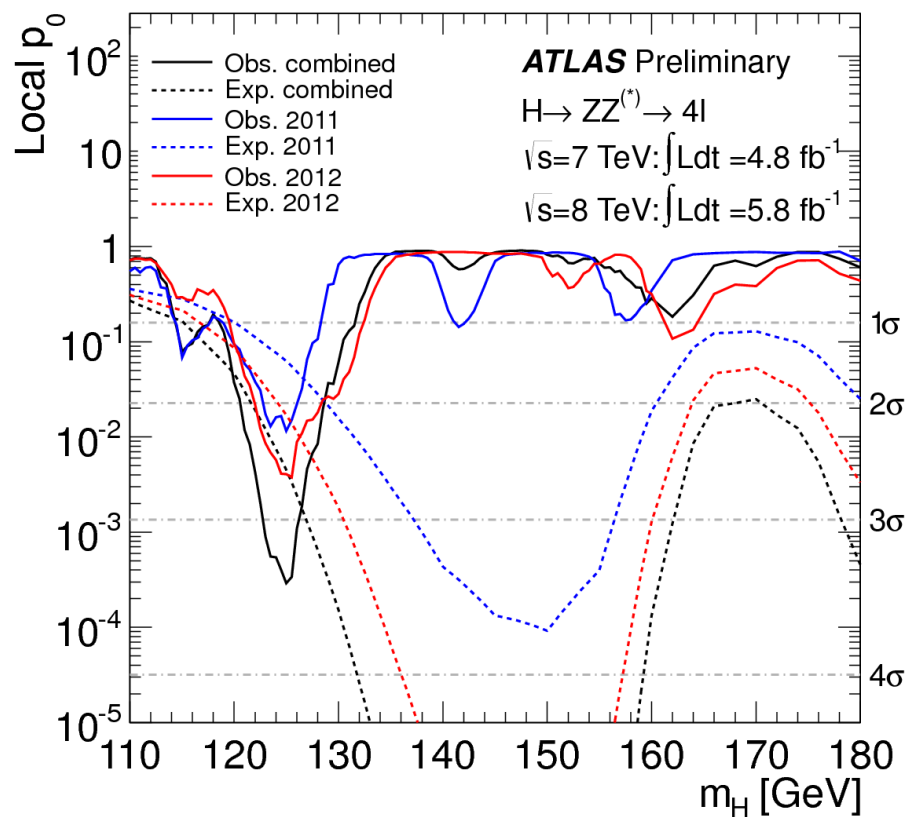
◆ Z+jets, $Zb\bar{b}$, $t\bar{t}$: data-driven



Results

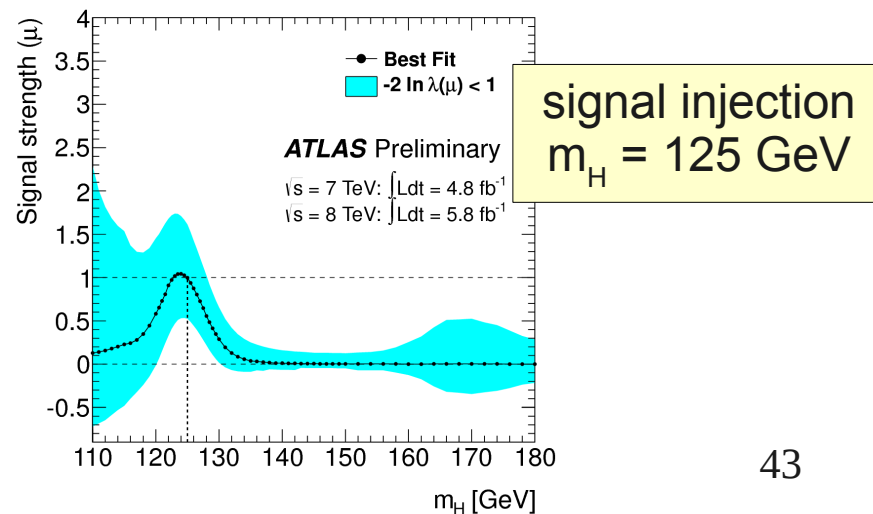
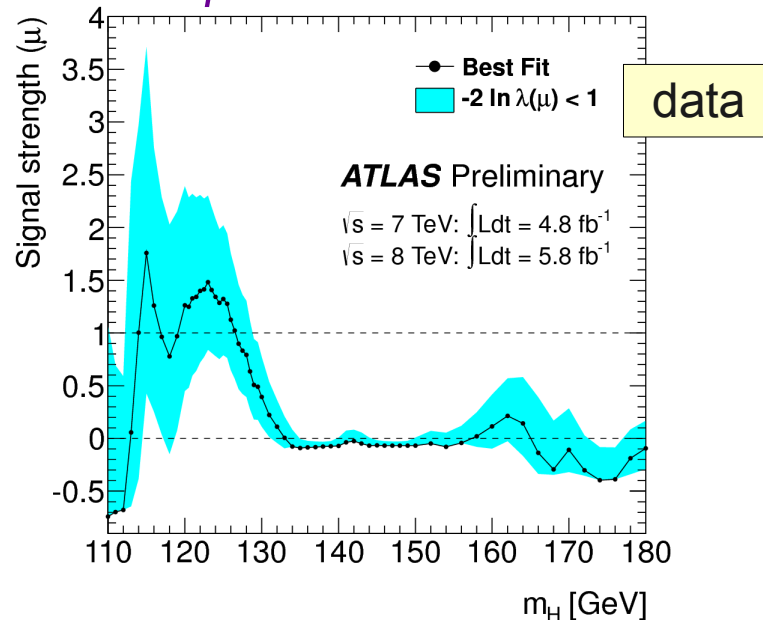
◆ p_0 value:

- **3.4 σ** (local)
- expected: 2.6 σ
- 2.5 σ (global)
- *CMS: 3.2 σ (local)*



◆ Fitted signal strength:

- $\mu = 1.3 \pm 0.6$ at 125 GeV
- *CMS: $\mu = 0.7 \pm 0.4$ at 125.6 GeV*



Combinaison of results



Results (1)

◆ $H \rightarrow \gamma\gamma, H \rightarrow 4\ell$: 2011 + 2012 datasets (10.7 fb^{-1})

◆ full 2011 dataset (up to 4.9 fb^{-1})

- $H \rightarrow WW(*) \rightarrow l\nu l\nu, H \rightarrow WW \rightarrow lvqq$
- $H \rightarrow ZZ \rightarrow ll\nu\nu, H \rightarrow ZZ \rightarrow llqq$
- $H \rightarrow \tau\tau$
- $WH \rightarrow lvbb, ZH \rightarrow llbb, ZH \rightarrow \nu\nu bb$

◆ Exclusion at 95% CL:

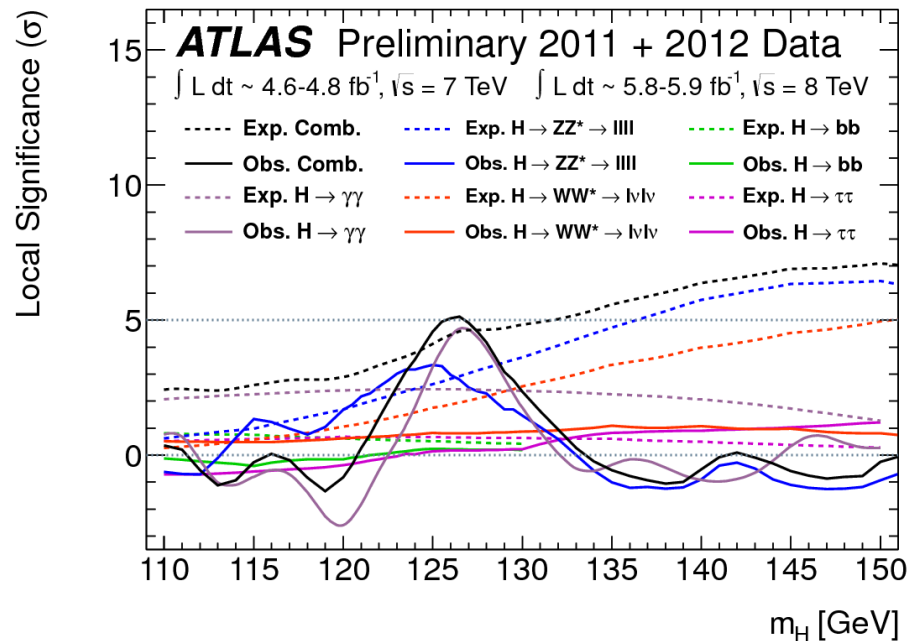
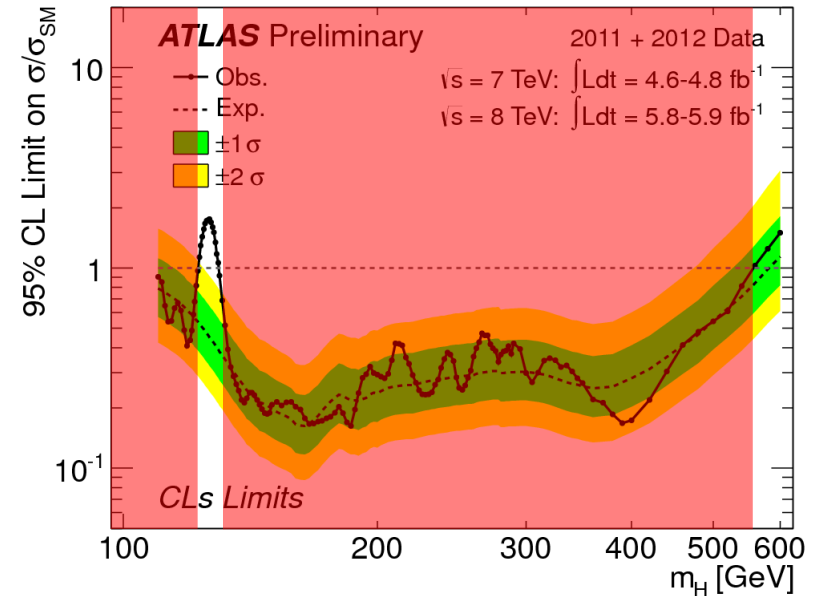
- 110-122.6 GeV
- 129.7-558 GeV

◆ Significance:

- max at 126.5 GeV: **5σ**

(expected: 4.6σ)

- CMS: $4.9\sigma \sim 125 \text{ GeV}$,
expected 5.9σ





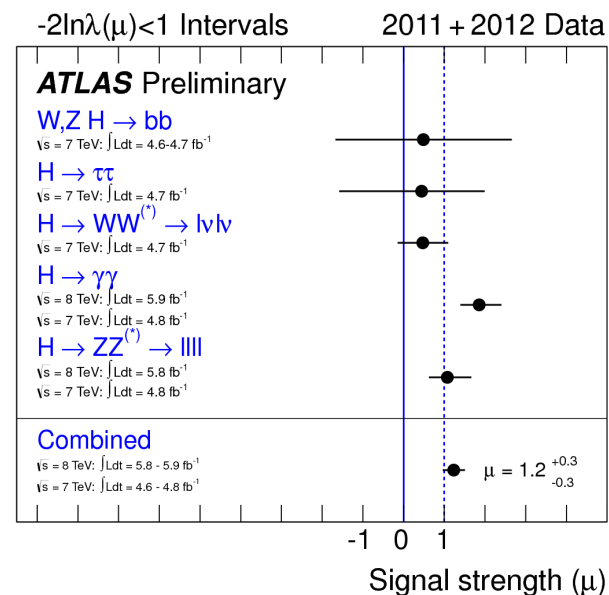
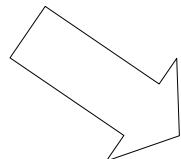
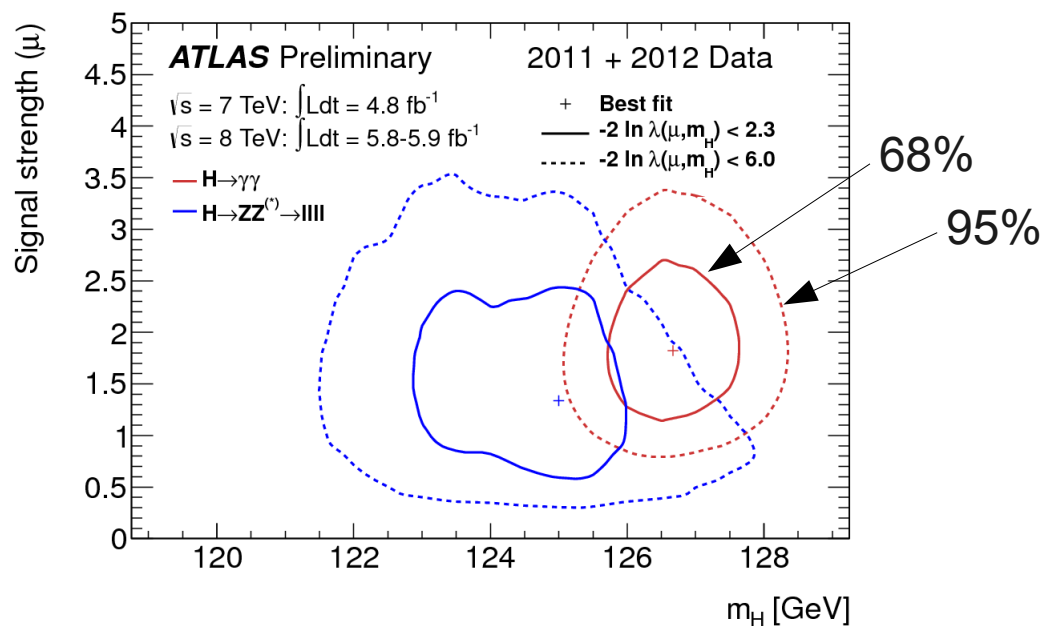
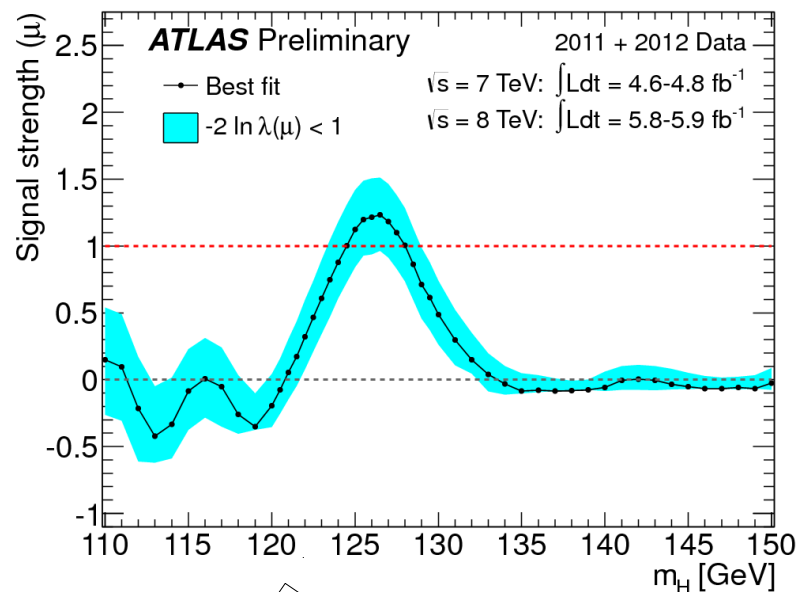
Results (2)

◆ Fitted signal strength:

- $\mu = 1.2 \pm 0.3$ at 126.5 GeV
- in agreement with SM Higgs boson within stat. uncertainties
- *CMS: $\mu = 0.8 \pm 0.2 \sim 125$ GeV*

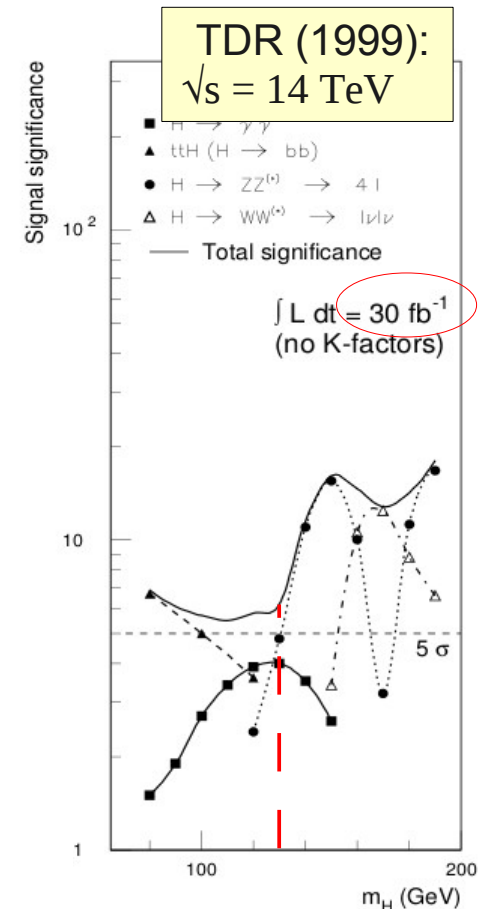
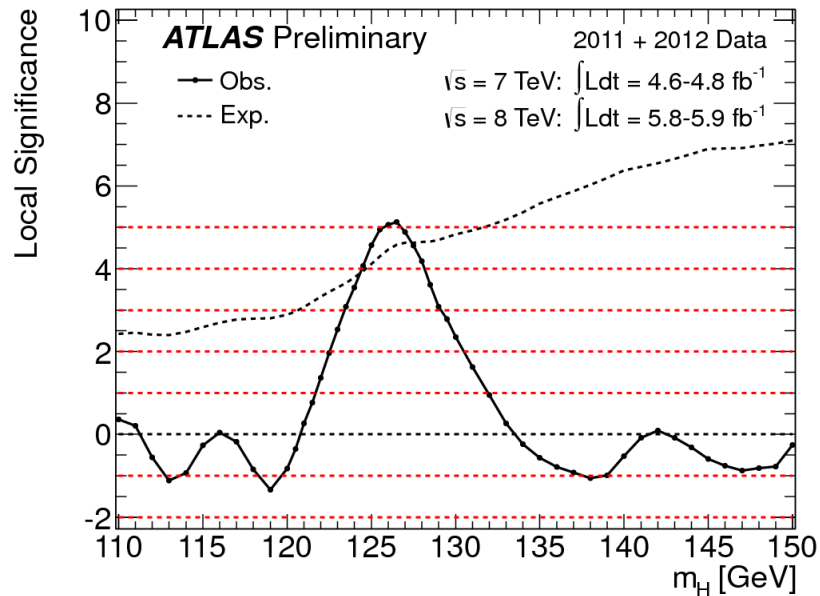
◆ Likelihood contour

- 2D likelihood fit to signal mass and strength



Conclusion

- ◆ up to 10.7 fb^{-1} of data analysed, $\sqrt{s} = 7, 8 \text{ TeV}$
- ◆ Observation of a **new particle** compatible with a Higgs boson
- ◆ Local combined significance: **5.0σ**
 - expected: 4.6σ
 - $H \rightarrow \gamma\gamma$: 4.5σ
 - $H \rightarrow 4\ell$: 3.4σ
- ◆ Fitted signal strength: **$\mu = 1.2 \pm 0.3$** at 126.5 GeV



Is this the end?

◆ **No !** This is just the beginning

◆ Need to check:

- if spin 0
- if Higgs boson
- if SM Higgs boson

◆ **Properties** measurements

- cross-sections
- branching ratios
- couplings
- ...

} need of high
luminosity and
high statistics



Back-up slides

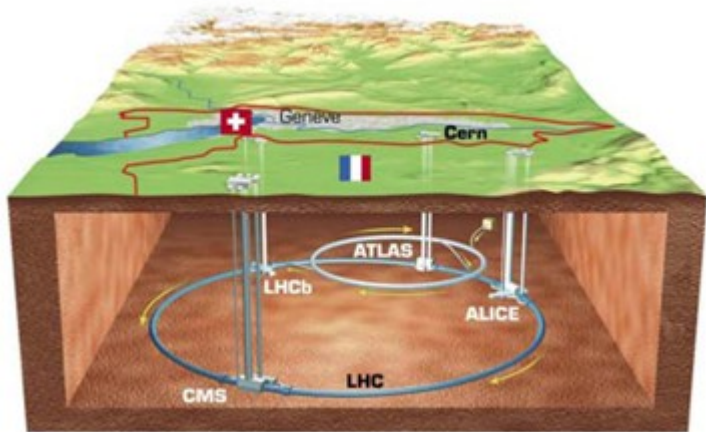


"Take a look at this everyone - it just could be the signature we've been looking for!"

© If this message is present, or any other indicator that this image is being used without permission is present, a charge will be made to the user. Removing permission infringement indicators will incur higher charges and other action ©



Le LHC



◆ Paramètres :

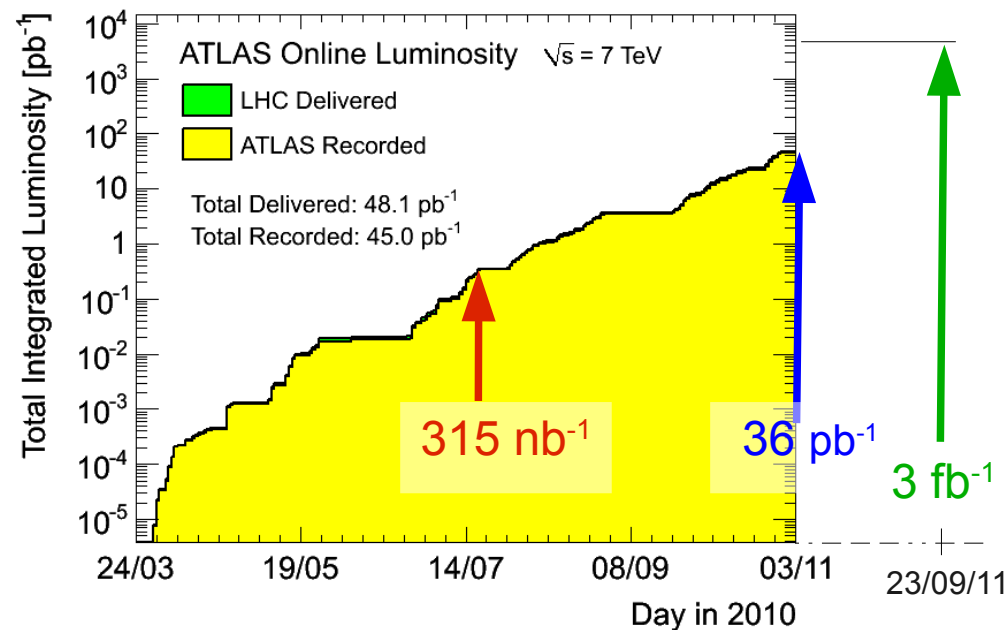
| | 2009 | 2010 | 2011 | nominal |
|-----------------------------------|-----------------|--------------|-------------|---------------|
| \sqrt{s} (TeV) | 0.9-2.4 | 7 | 7 | 14 |
| L_{max} ($cm^2 \cdot s^{-1}$) | - | 2.10^{32} | 3.10^{33} | 10^{34} |
| L_{int} /an | $12 \mu b^{-1}$ | $45 pb^{-1}$ | $3 fb^{-1}$ | $100 fb^{-1}$ |

◆ Large Hadron Collider

- accélérateur de protons de 27 km
- 1232 aimants supraconducteurs
- 4 expériences principales

◆ Histoire :

- approuvé en 1994
- installation démarrée en 2000
- premiers faisceaux en 2008
- premières collisions fin 2009



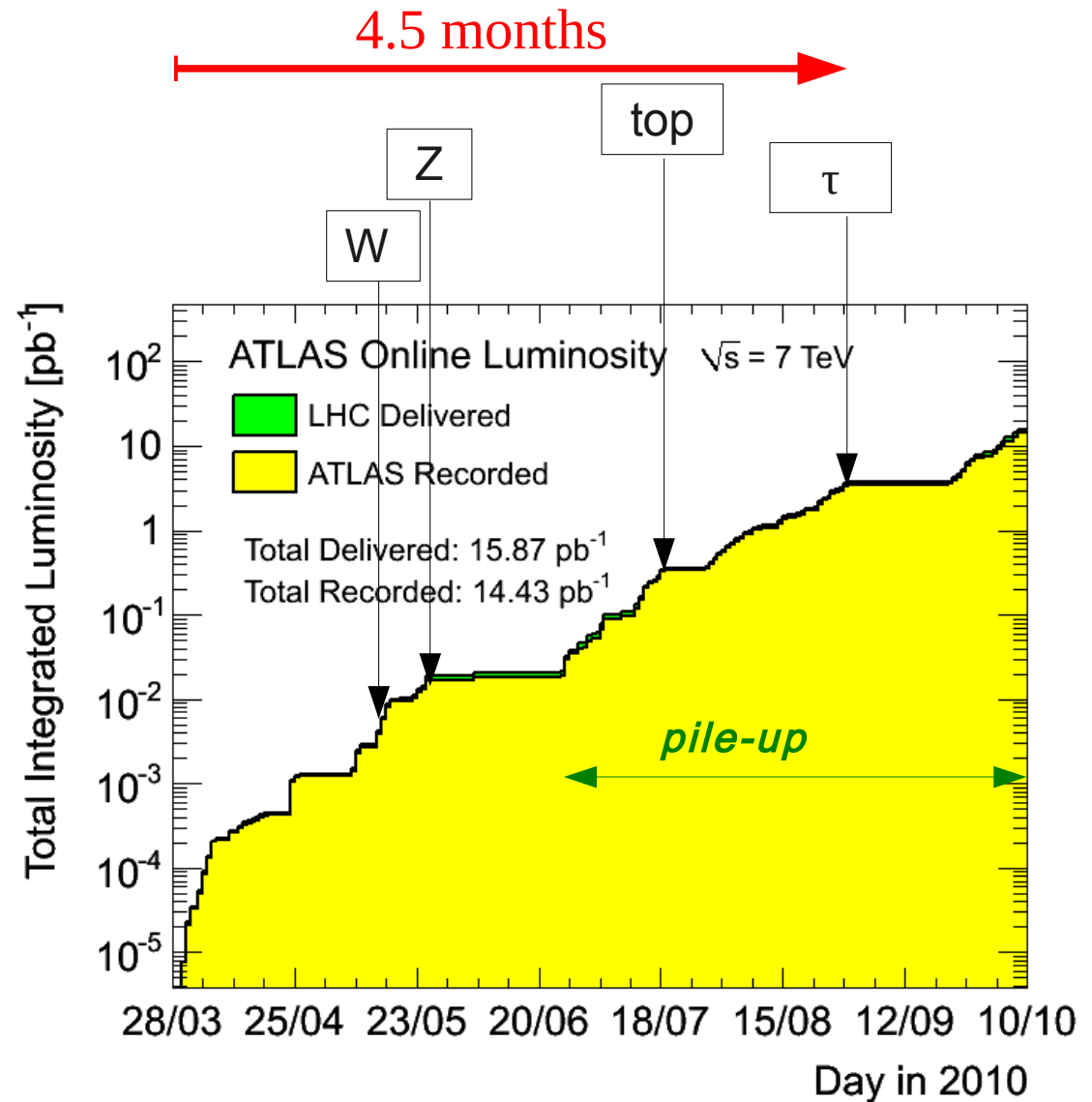


First months of LHC running at 7 TeV

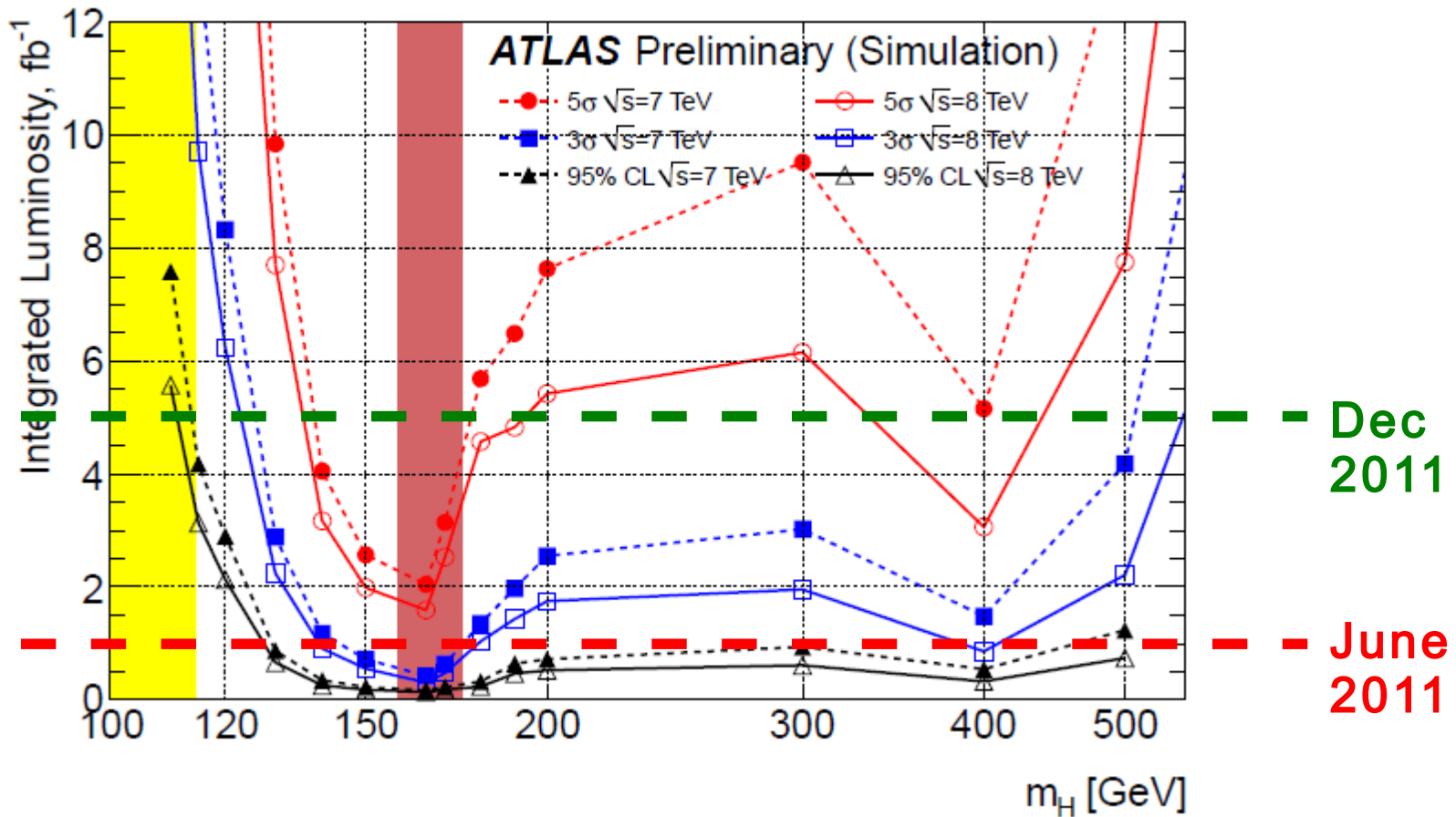
◆ SM discovery:

~100 years

- electron: 1897
- muon: 1936
- ν_μ : ~1950
- ν_e : 1956
- quarks: 1968-1995
- tau: 1975
- W,Z : 1983-1984
- ν_τ : 2000
- Higgs: 2012



Higgs sensitivity with ATLAS

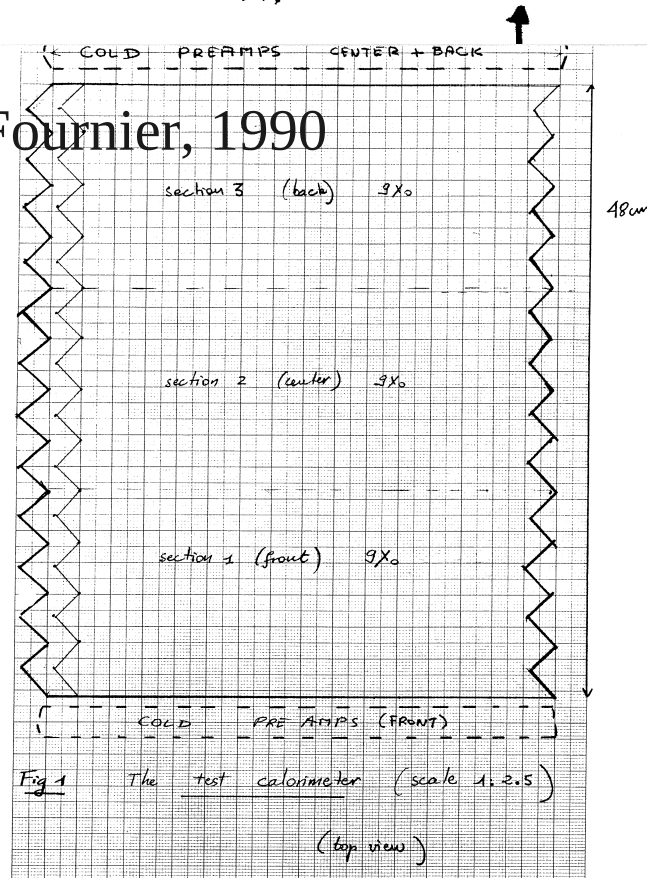
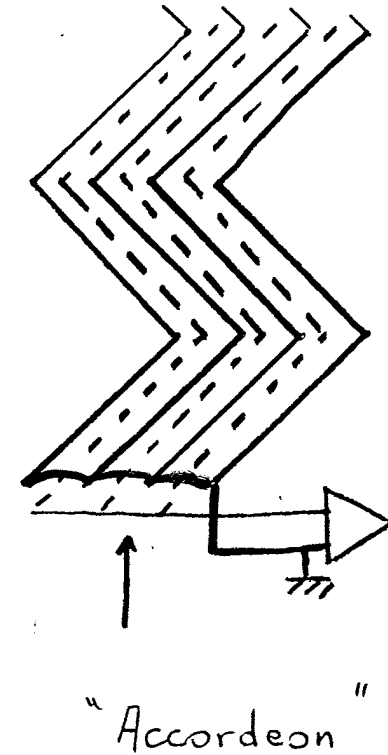
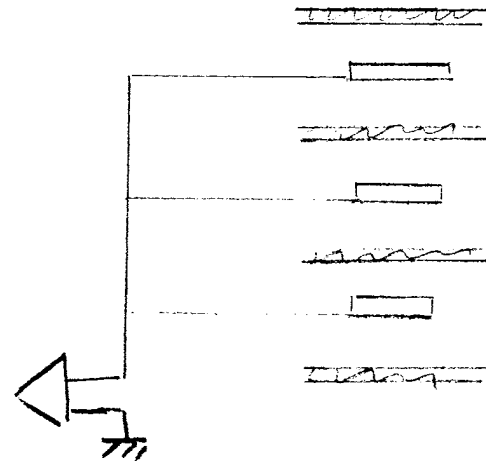


- ◆ 95% exclusion with 1 fb^{-1} : 130-460 GeV
- ◆ 3σ discovery with 5 fb^{-1} : 120-500 GeV



Le calorimètre à argon liquide: premières idées

- ◆ Rapide
- ◆ hermétique
- ◆ segmenté
- ◆ premier papier de D. Fournier, 1990





ATLAS et boson de Higgs au LAPP (2)

- physique
- mécanique
- électronique
- informatique

◆ lappwiki.in2p3.fr/twiki/bin/view/AtlasLapp/LeGroupe

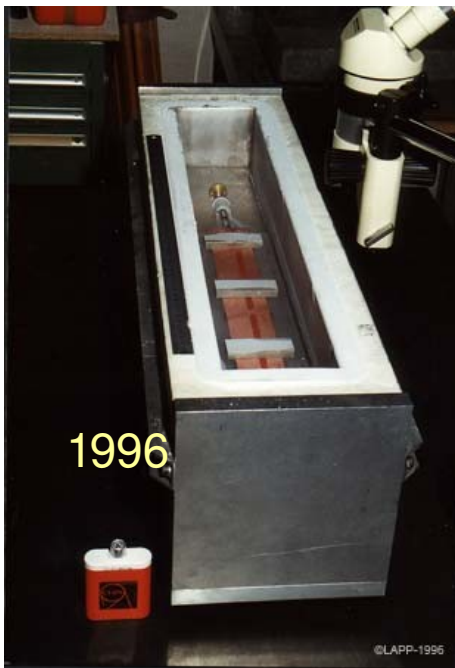
Ceux qui ont contribué à ATLAS

| Nom, Prénom | Téléphone | Mél | Service | Commentaires |
|----------------------------------|----------------|--|---|---|
| Aubert Bernard | - | Bernard.Aubert@lapp.in2p3.fr | Retraité | |
| Ballansat Jacques | 5581 | Jacques.Ballansat@lapp.in2p3.fr | Mécanique | Cryogénie, kaptons, construction calorimètre |
| Barate Robert | | Robert.Barate@lapp.in2p3.fr | Retraité | |
| Baud Jean-Philippe | 1707 | Jean-Philippe.Baud@lapp.in2p3.fr | Mécanique | Assemblage, tests au froid |
| Baudin Patrick | 5557 | Patrick.Baudin@lapp.in2p3.fr | Mécanique | Assemblage, installation calorimètre |
| Beeldens Yannick | 1798 | Yannick.Beeldens@lapp.in2p3.fr | Mécanique | Assemblage, installation calorimètre |
| Bouedo Thierry | 1749 | Thierry.Bouedo@lapp.in2p3.fr | Informatique | Data dictionary |
| Cailles Michel | 1710 | Michel.Cailles@lapp.in2p3.fr | Mécanique Arceaux, cablage calorimètre | |
| Colas Jacques | - | Jacques.Colas@lapp.in2p3.fr | Retraité | |
| Corageoud Francois | 1785 | Francois.Corageoud@lapp.in2p3.fr | Electronique | CAO ROD/PU, programmation FPGA |
| Delebecque Pierre | 1709 (bip 149) | Pierre.Delebecque@lapp.in2p3.fr | Mécanique | Construction calorimètre |
| Dromby Gérard | 1696 | Gerard.Dromby@lapp.in2p3.fr | Informatique | Online, Photos, Web |
| Dubois Jean-Marc | 1725 | Jean-Marc.Dubois@lapp.in2p3.fr | Mécanique | Assemblage Calorimètre, cryostat |
| Ghez Philippe | 1633 | Philippe.Ghez@lapp.in2p3.fr | Informatique | Maintenant sur LHCb au LAPP |
| Girard Claude | 5585 | Claude.Girard@lapp.in2p3.fr | Mécanique- Mécanique Calorimètre | |
| Michel Gouanère | - | - | Physicien | Maintenant souvent en mer |
| Ionescu Gelu | | Gelu.Ionescu@lapp.in2p3.fr | Informatique_LArgOnline, banc de test calibration, code DSP (Maintenant à Grenoble) | |
| Jeremie Andrea | 5590 | Andrea.Jeremie@lapp.in2p3.fr | Mécanique | Cryogénie, tests électriques (assemblage, cablage, tests en froid, sur les roues au CERN) |
| Journet Laurent | 1725 | Laurent.Journet@lapp.in2p3.fr | Mécanique | Arceaux, cryogénie,.... |
| Laplace Sandrine | 1632 | Sandrine.Laplace@lapp.in2p3.fr | Physique-ATLAS | Maintenant au LPNHE |
| Lieunard Bruno | 5575 | Bruno.Lieunard@lapp.in2p3.fr | Mécanique | Définition de procédure d'insertion de module dans cryostat |
| Monteiro Ino | 1711 | Ino.Monteiro@lapp.in2p3.fr | Mécanique | Cryogénie |
| Nappa Jean-Marc | 1661 | Jean-Marc.Nappa@lapp.in2p3.fr | Electronique | Injecteur, Installation ROD |
| Panazol Jean-Luc | 1661 | Jean-Luc.Panazol@lapp.in2p3.fr | Informatique | Banc de tests des RODs |
| Perrodo Pascal | | Pascal.Perrodo@lapp.in2p3.fr | Maintenant à Berne (CH) | |
| Sauvage Gilles | - | - | - | Il nous a quitté |
| Tassan Jean | 1616 | Jean.Tassan@lapp.in2p3.fr | Electronique | Cablage (LAPP, CERN) |
| Zitoun Robert | | | physicien | Retraité |
| Zolnierowski Yves | 1629 | Yves.Zolnierowski@lapp.in2p3.fr | Physicien | |



Tests à froid

- ◆ Fabrication des modules en série
- ◆ 2000-2003
- ◆ Tests à froid de 28 modules tonneau
- ◆ Quatre iront en tests en faisceau
- ◆ Suivi de la production



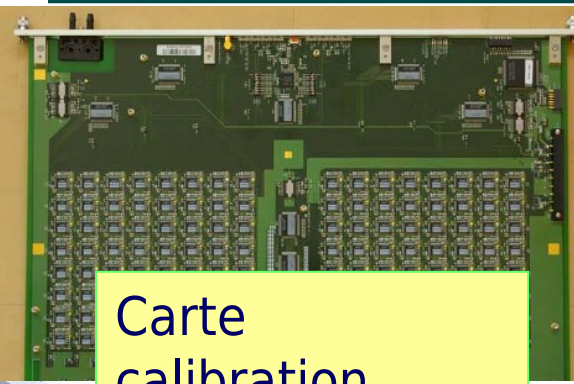


Insertion de la roue dans le cryostat

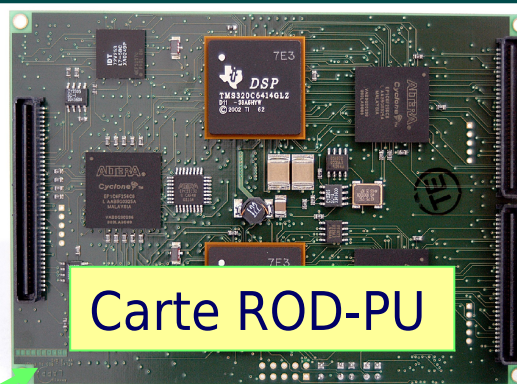




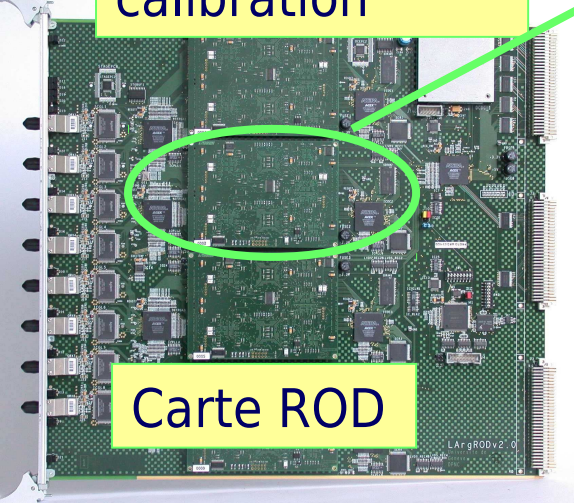
Electronique



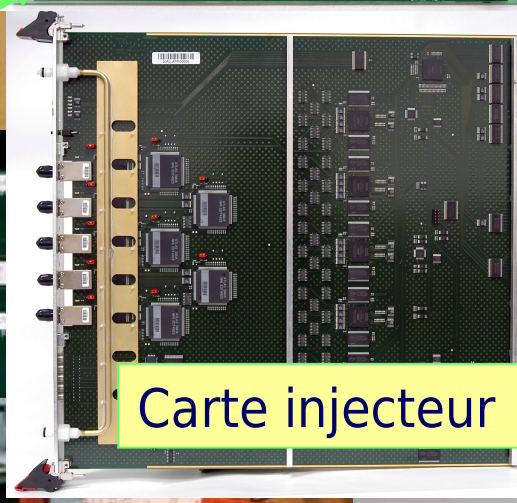
Carte calibration



Carte ROD-PU



Carte ROD



Carte injecteur



test cartes calibration

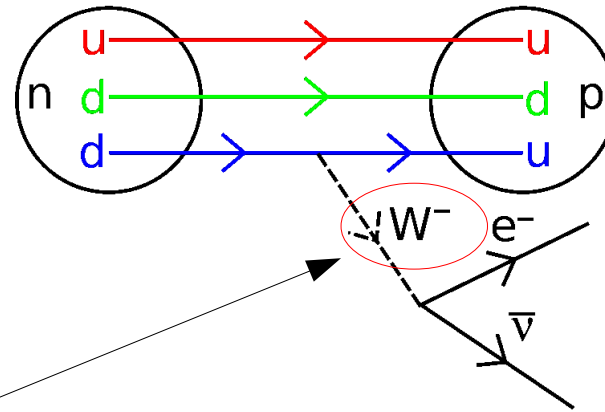
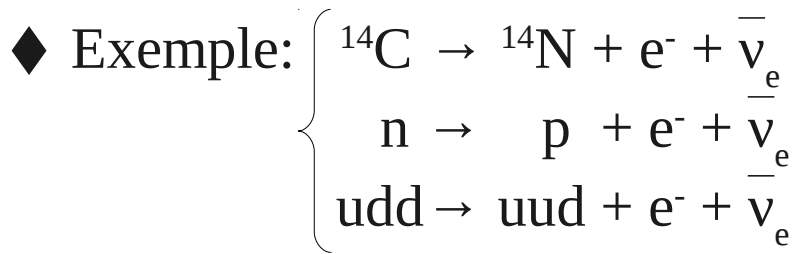




Force électrofaible

◆ Interaction faible

- désintégrations nucléaires
- fusion (ex : soleil)



◆ 2 bosons de jauge massifs : W et Z

interaction forte

interaction faible

électrofaible

gravitation

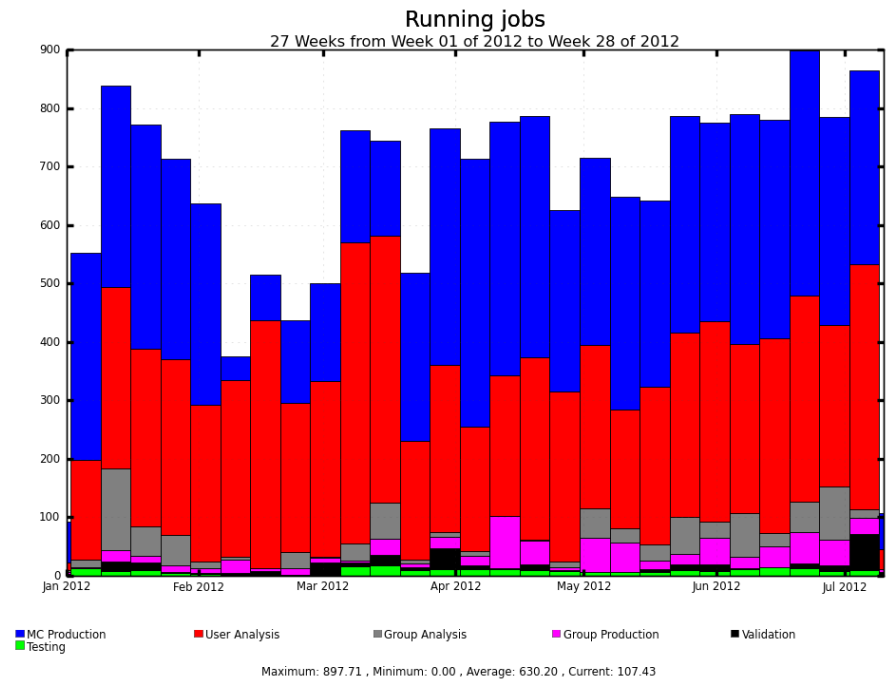
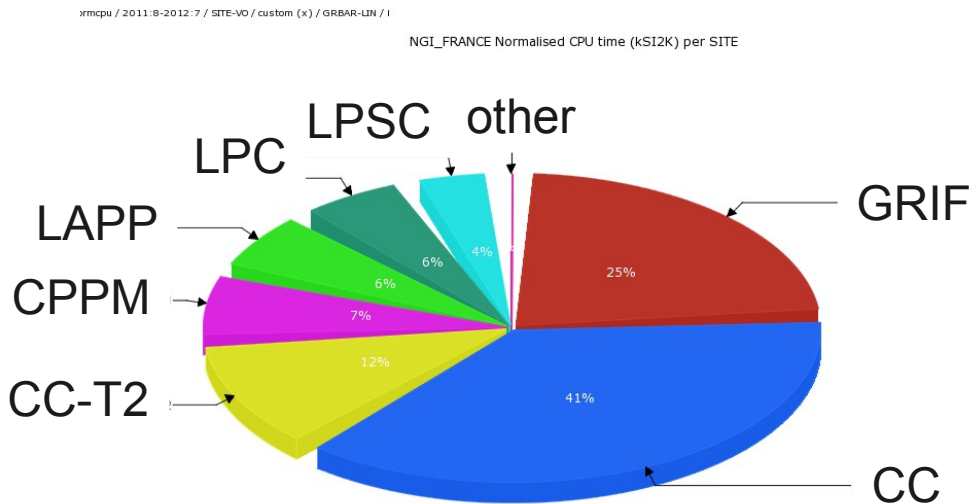
◆ fin années 60 : force électro-faible

- unification forces électromagnétique et faible
- problème : les bosons W et Z ont une masse nulle dans cette théorie!



Computing

- ◆ ATLAS jobs on world-wide Grid
 - MC production
 - user and group analysis
 - at CERN, 10 Tier1-s, ~ 70 Tier-2



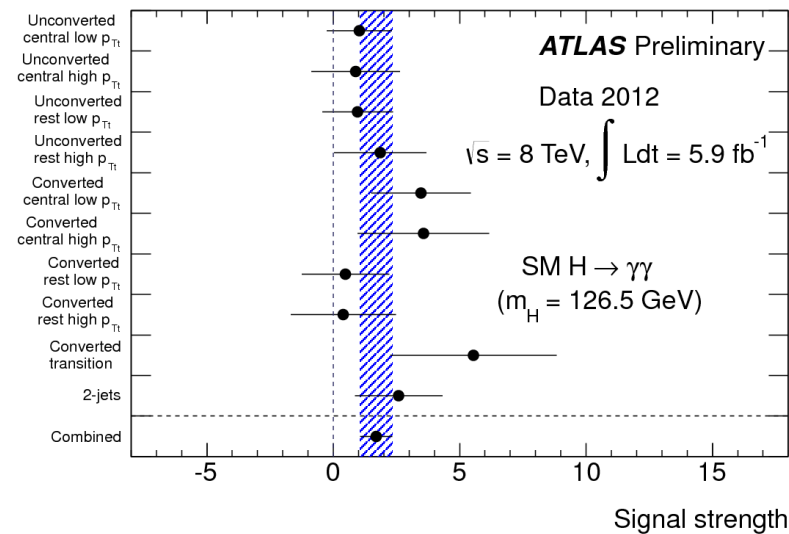
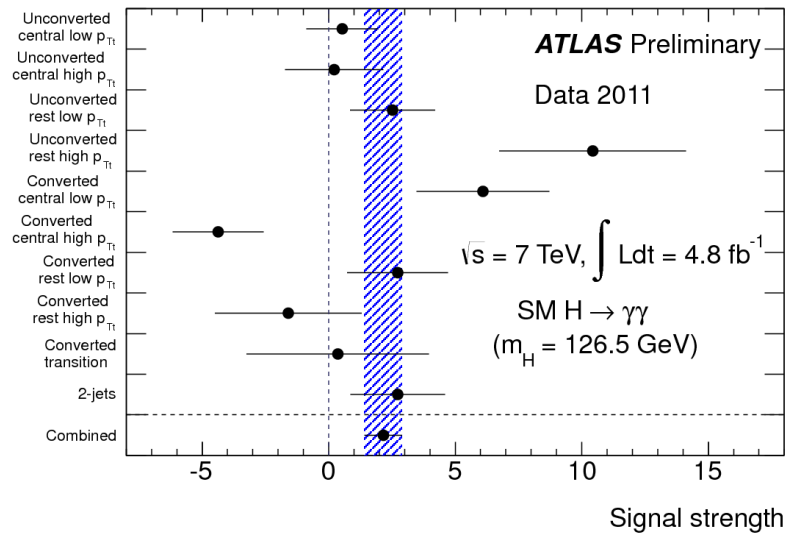
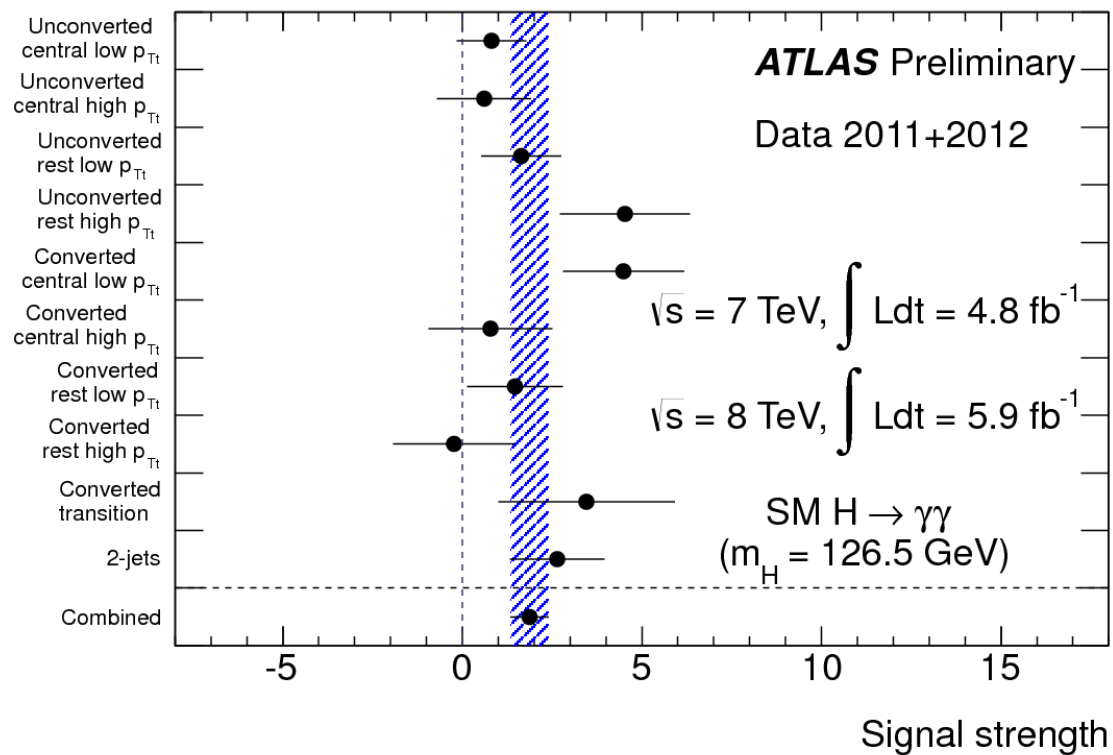
- ◆ One Tier-2 at LAPP

- ~600 jobs /sem
- ~half Monte-Carlo production, half user analysis



H → γγ, signal strength

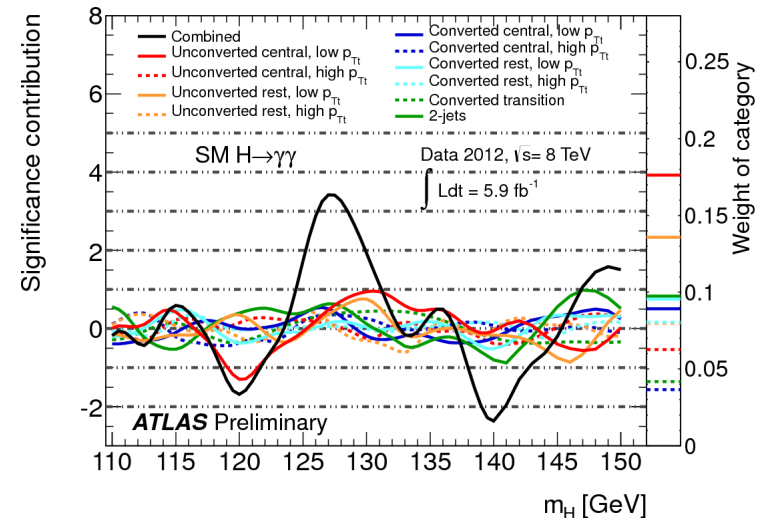
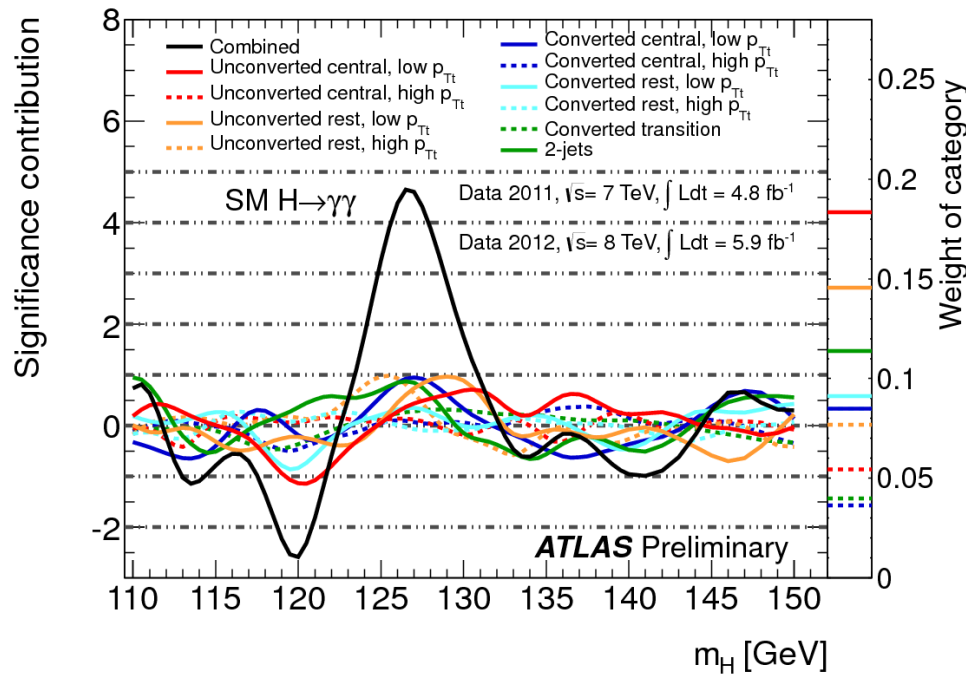
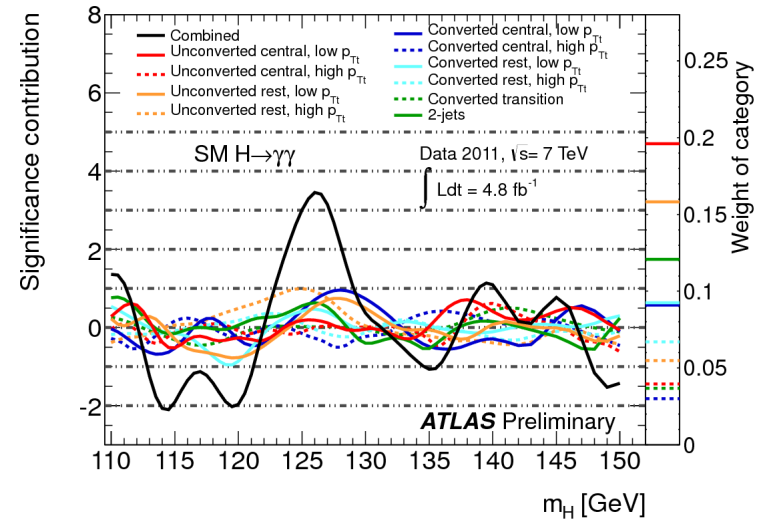
◆ Compute μ / category:



H → γγ, local significance

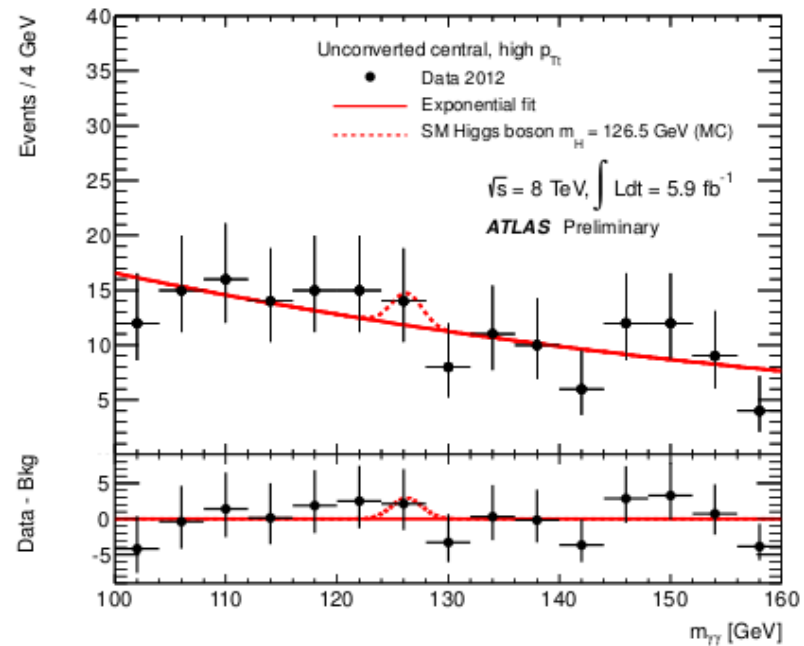
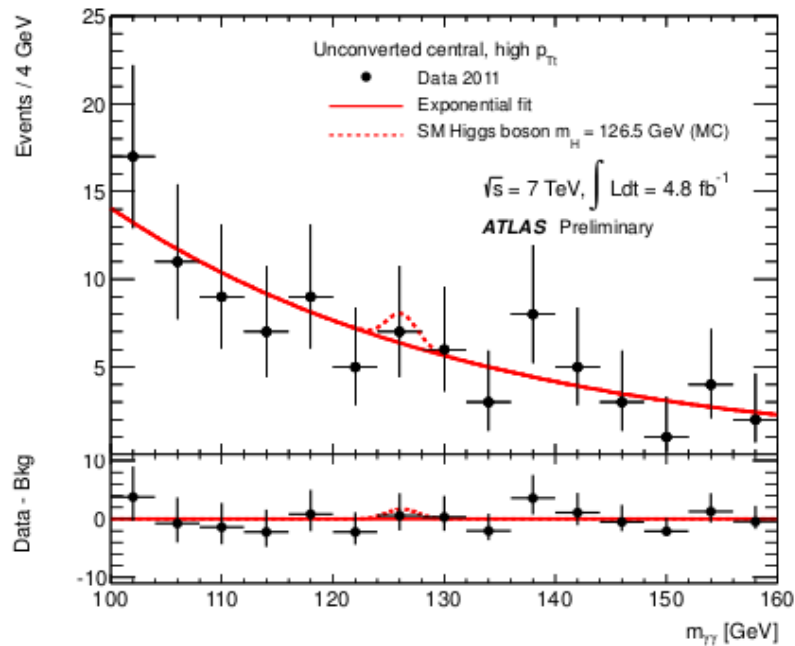
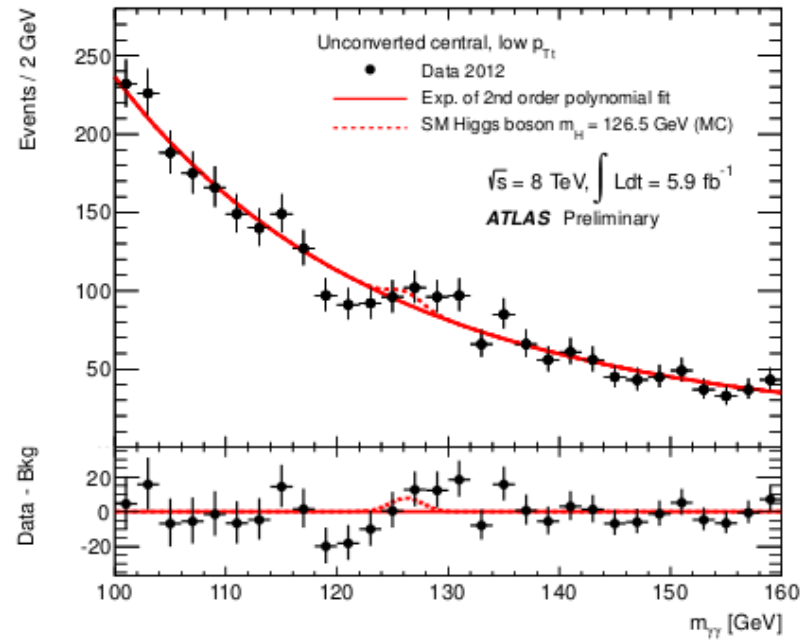
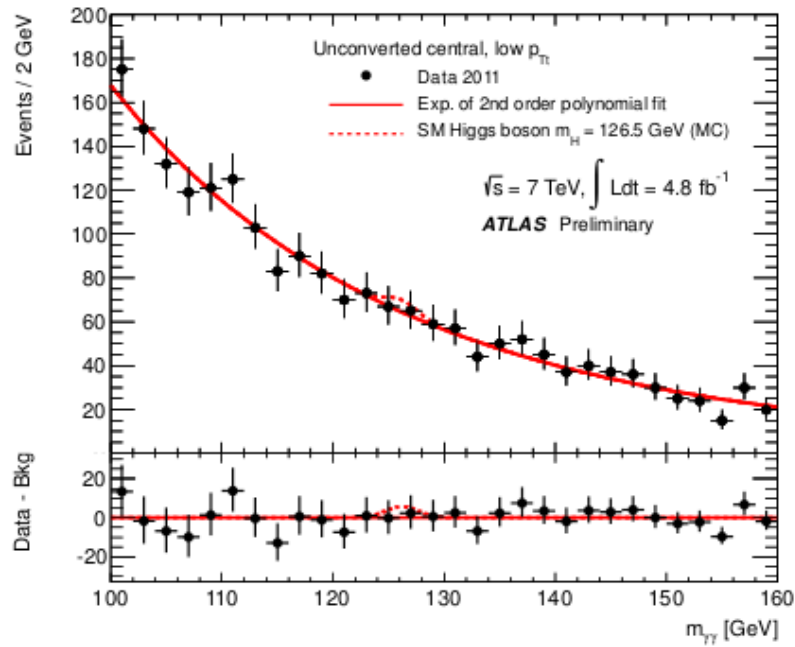
◆ weights w_i : expected contribution from each individual category for a SM Higgs boson

- $w_i = \sigma^2 / \sigma_i^2$, σ_i , σ = expected statistical uncertainties on the signal strength per category i and for the combined analysis
- weighted significances $Z'_i = \sqrt{w_i} Z_i$.



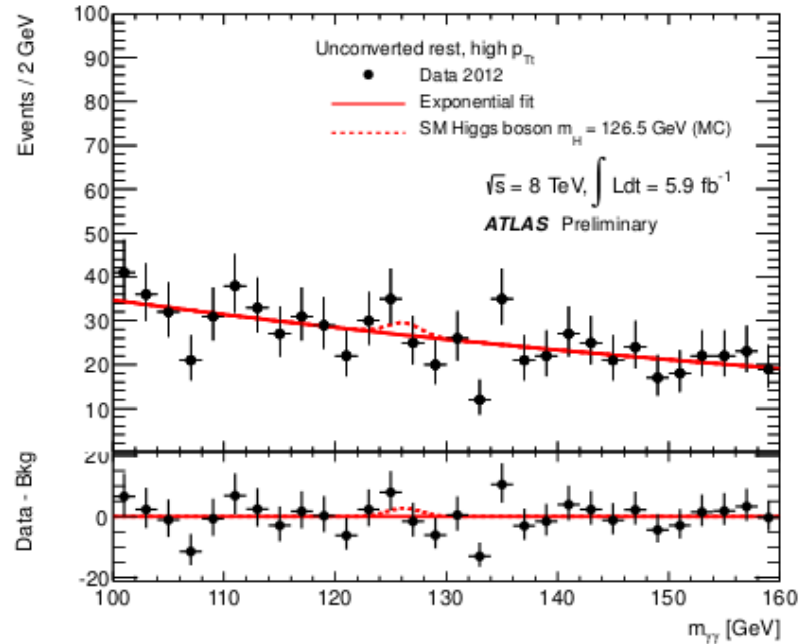
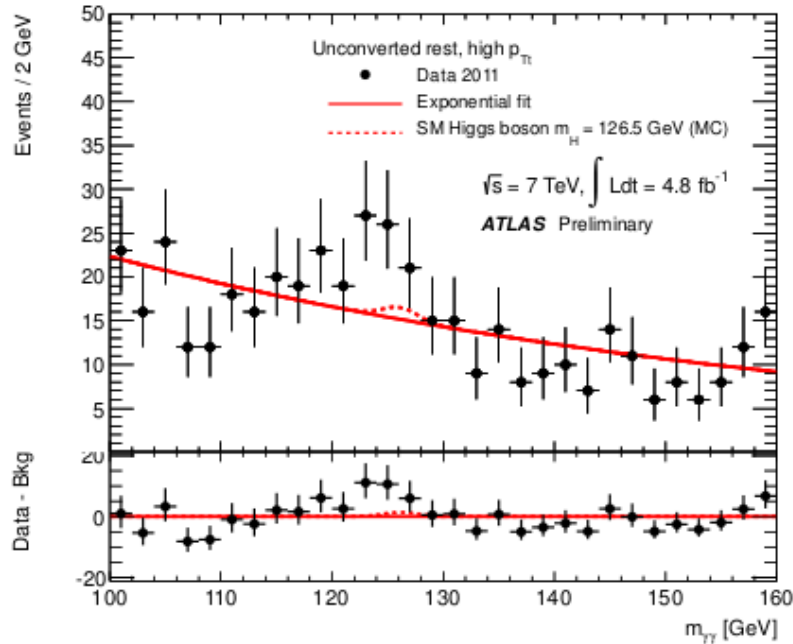
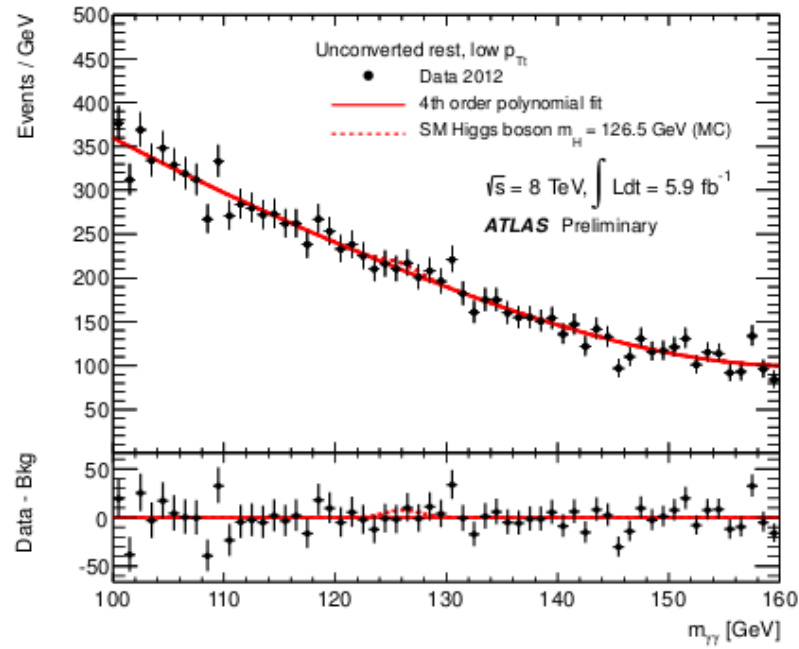
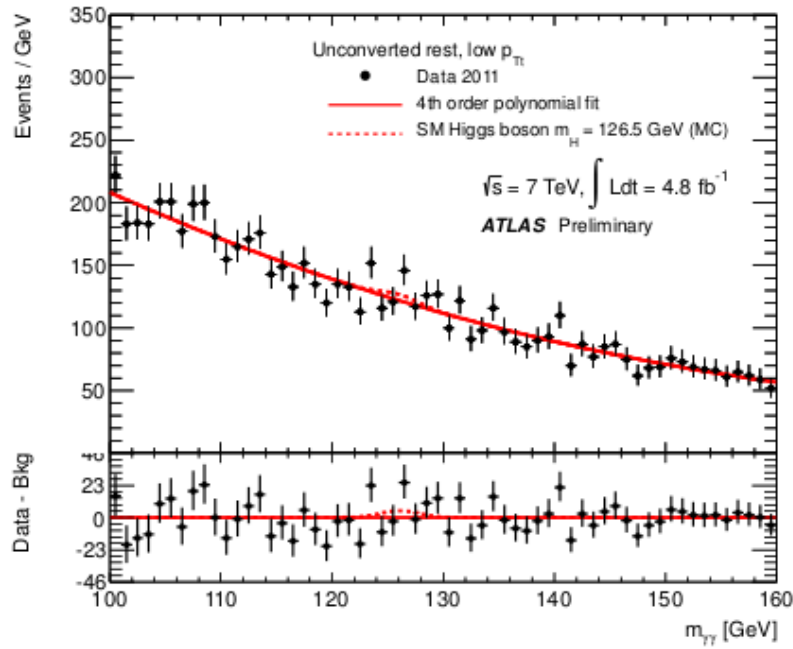


$H \rightarrow \gamma\gamma$, $m_{\gamma\gamma}$ /category (1)



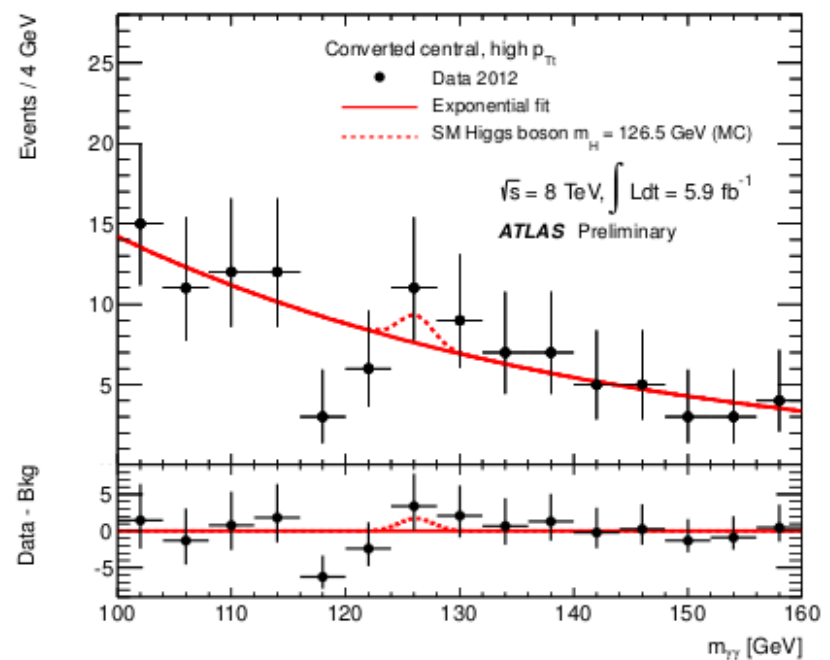
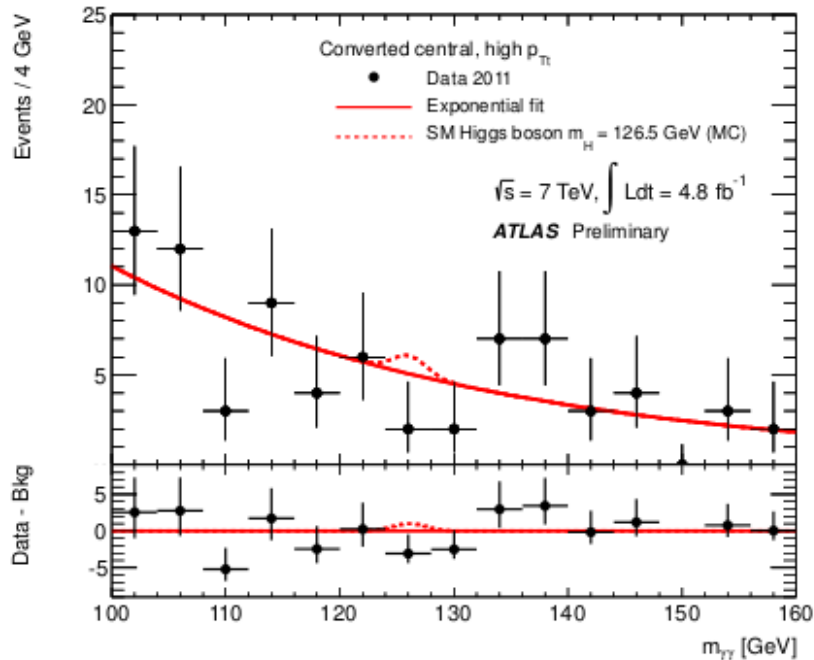
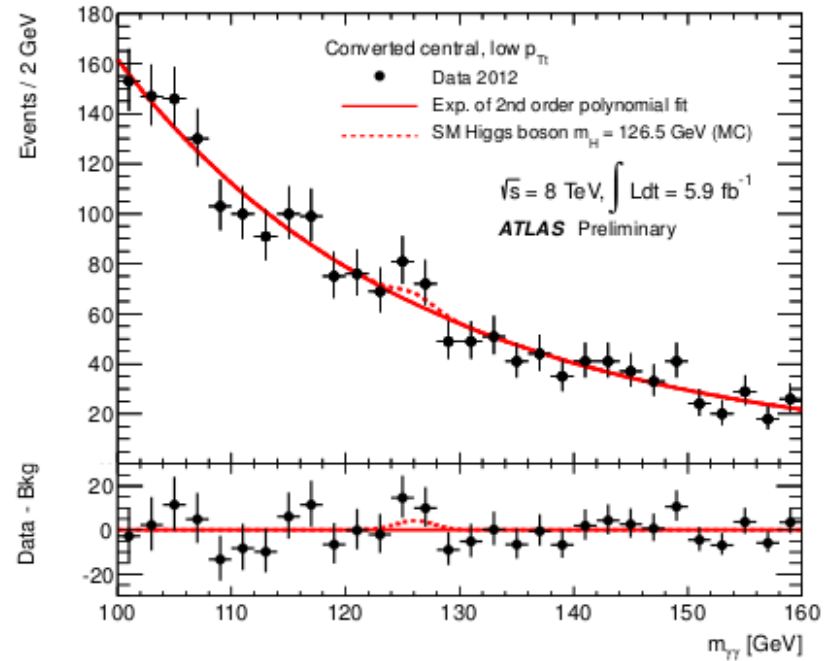
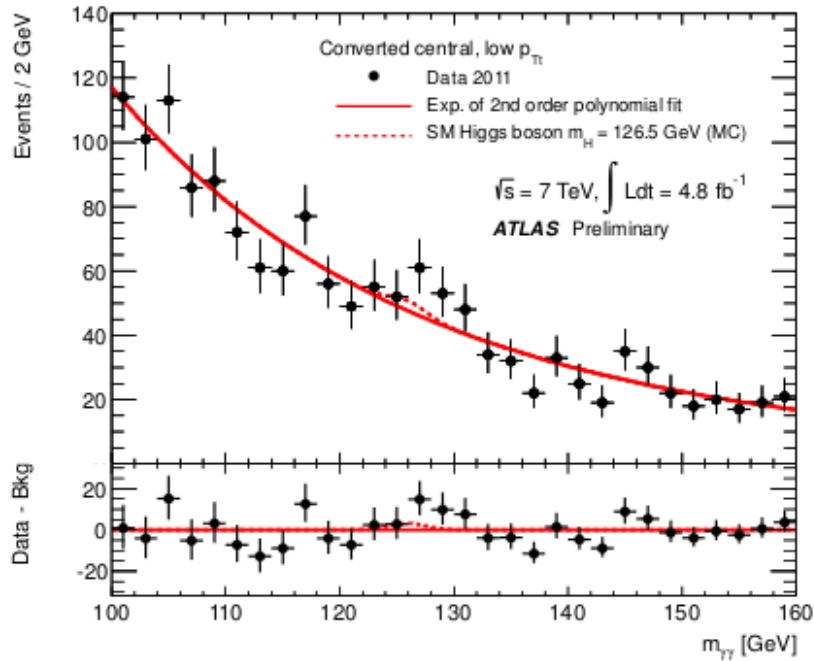


$H \rightarrow \gamma\gamma$, $m_{\gamma\gamma}$ /category (2)



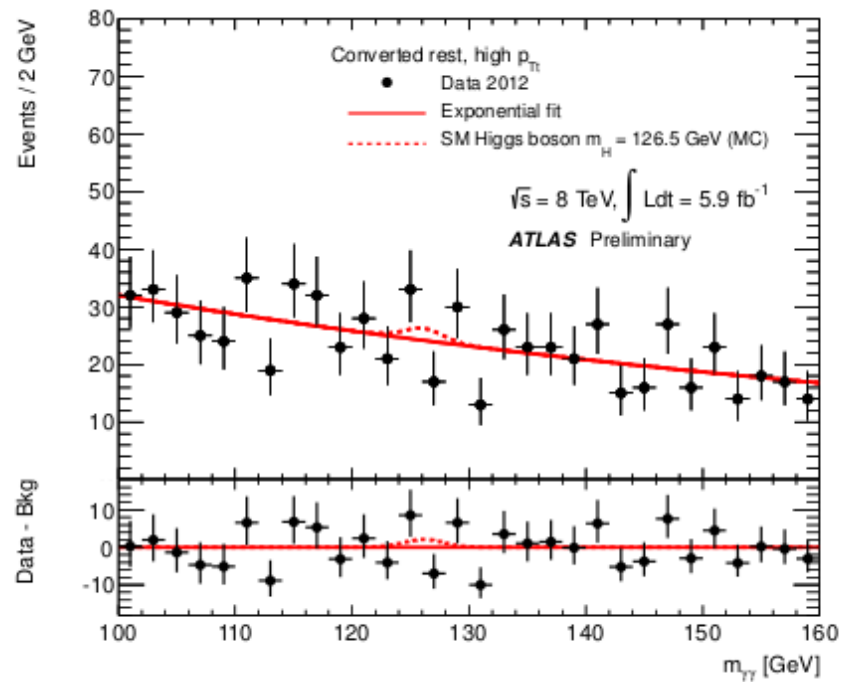
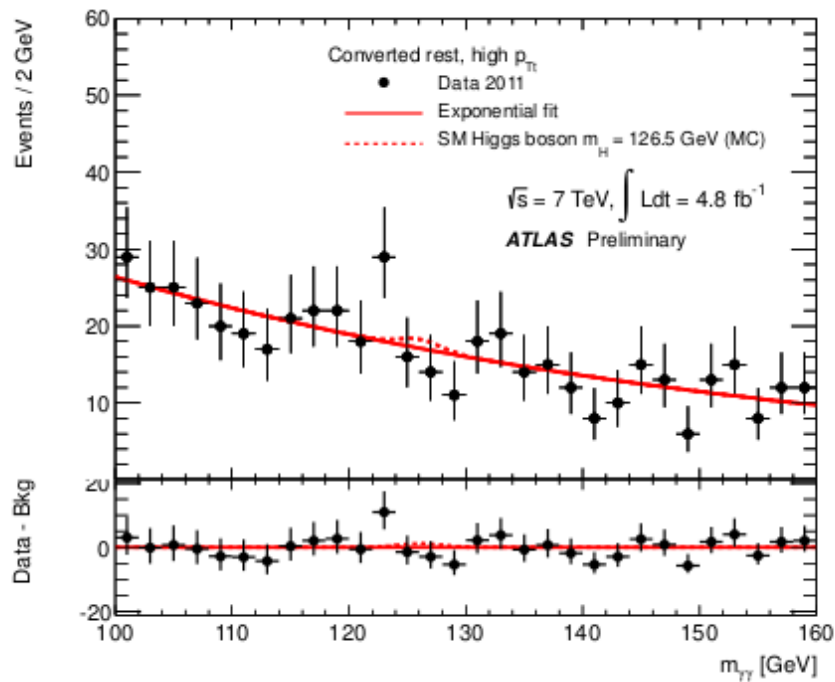
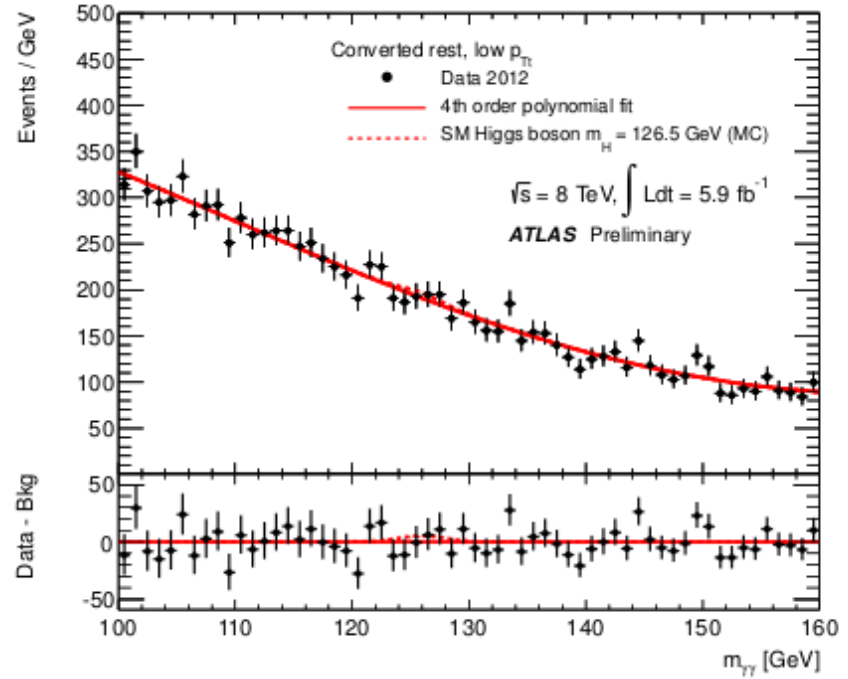
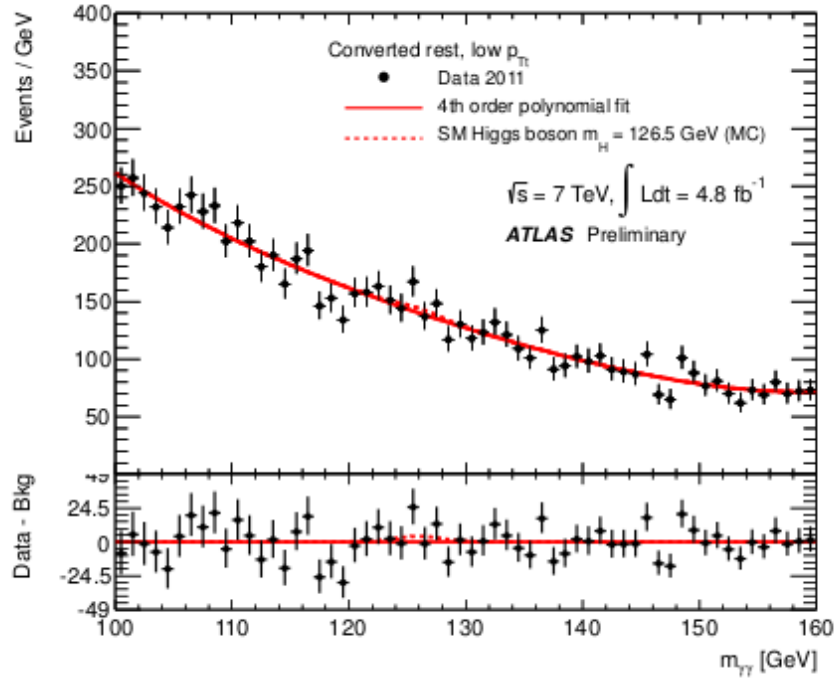


$H \rightarrow \gamma\gamma$, $m_{\gamma\gamma}$ /category (3)



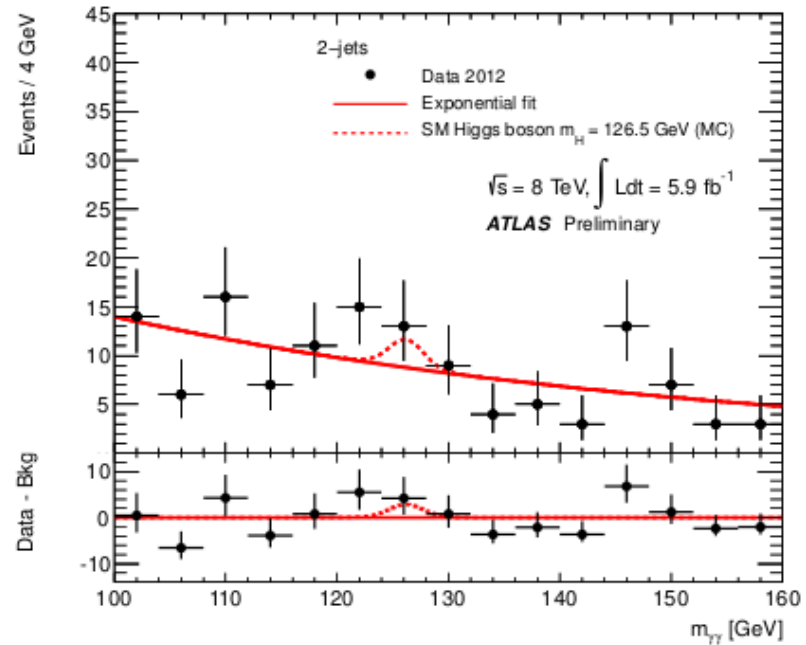
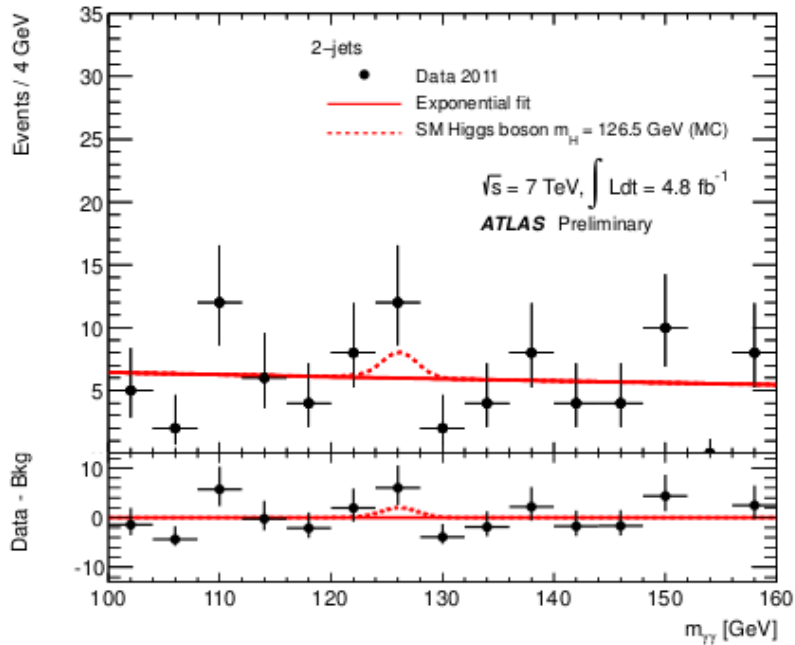
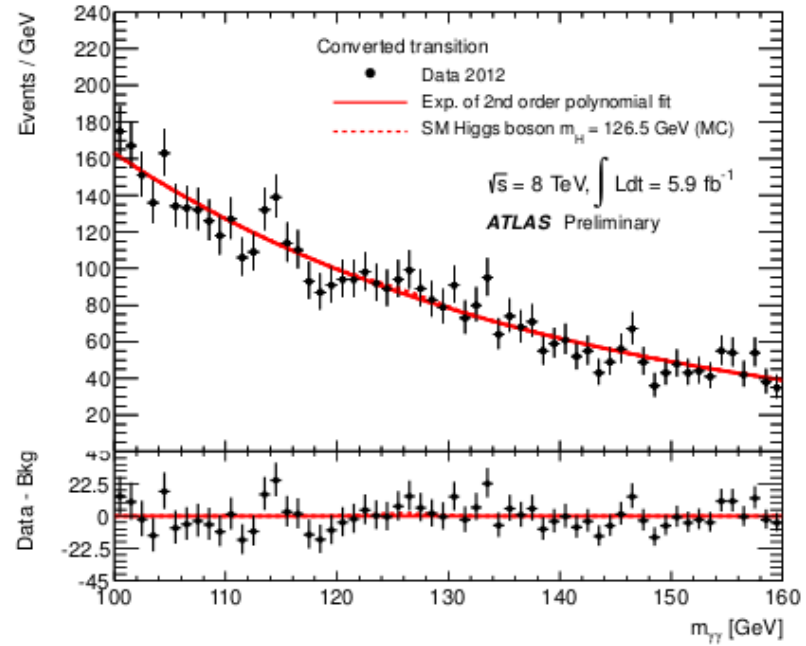
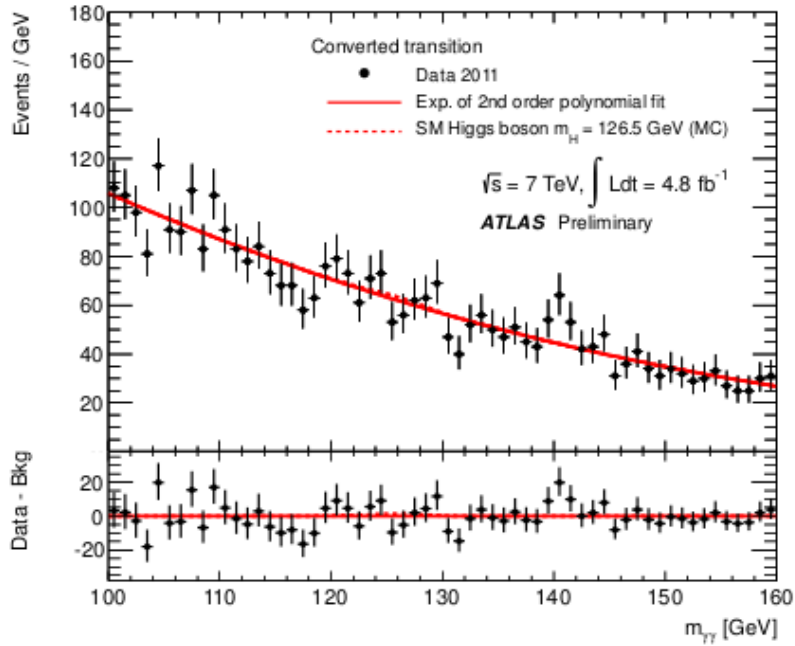


$H \rightarrow \gamma\gamma$, $m_{\gamma\gamma}$ /category (4)





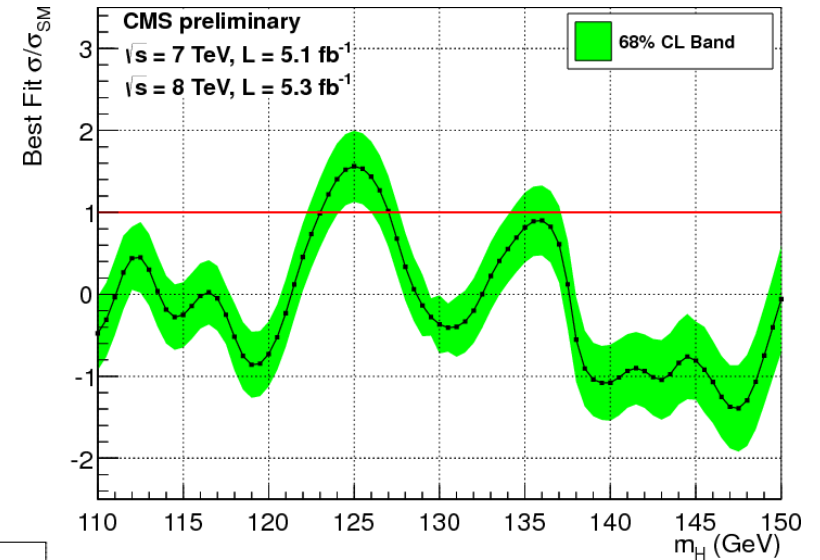
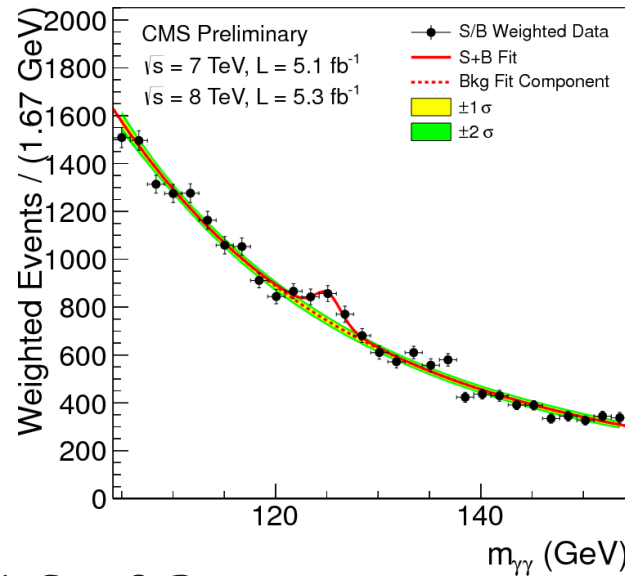
H \rightarrow $\gamma\gamma$, $m_{\nu\nu}$ /category (5)





CMS, H- \rightarrow $\gamma\gamma$

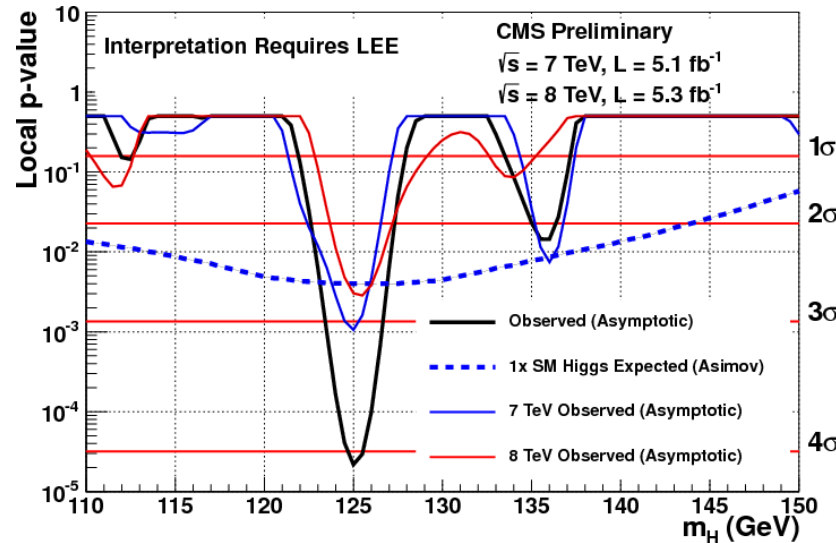
- ◆ For the mass fit MVA and combined datasets, result of summing the data and the signal plus background fits weighted by the ratio of signal to background in each event class



- ◆ Best signal fit: $\mu = 1.6 \pm 0.3$

- ◆ Significance:

- local: 4.1σ
- global: 3.2σ

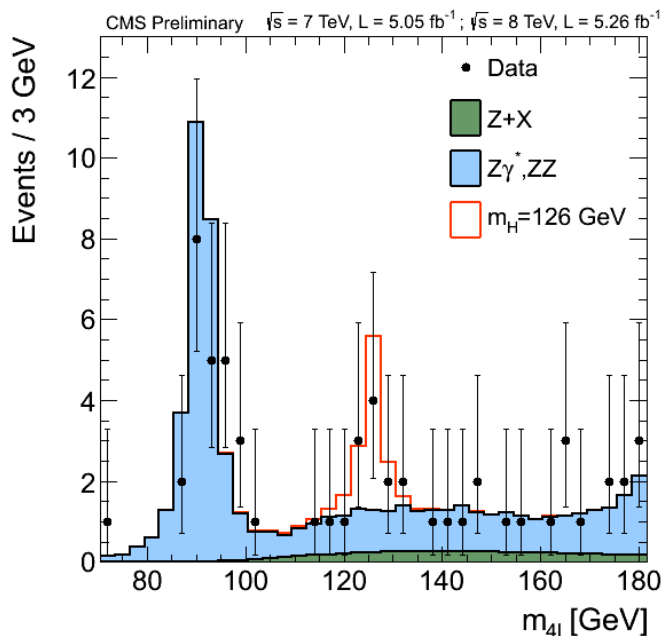




CMS, H->4l

◆ Invariant mass m_{4l}

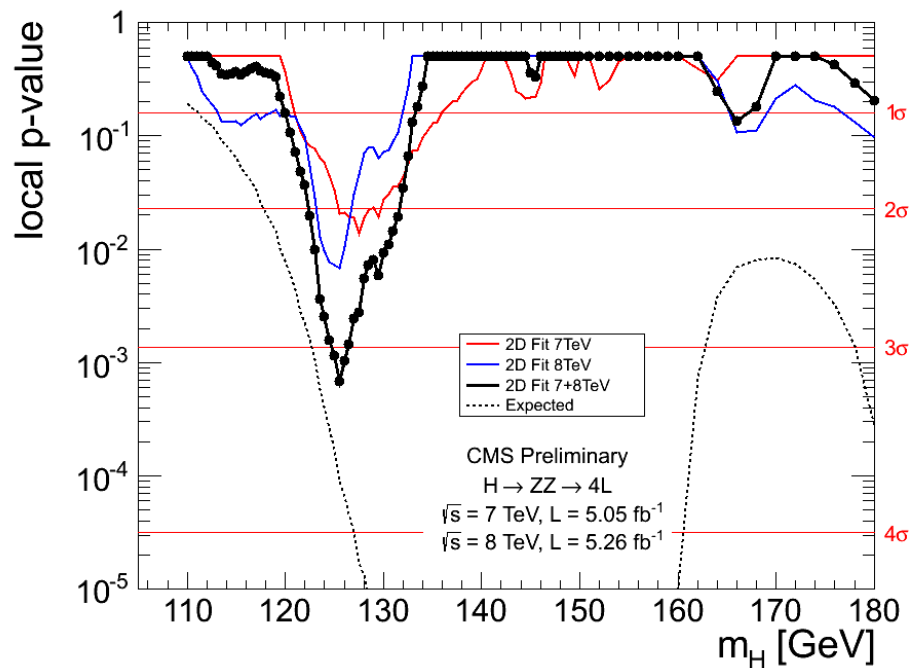
- in [100-800] GeV:
- 164 events expected
- 172 events observed



◆ Best signal fit: $\mu = 0.7 \pm 0.4$

◆ Significance:

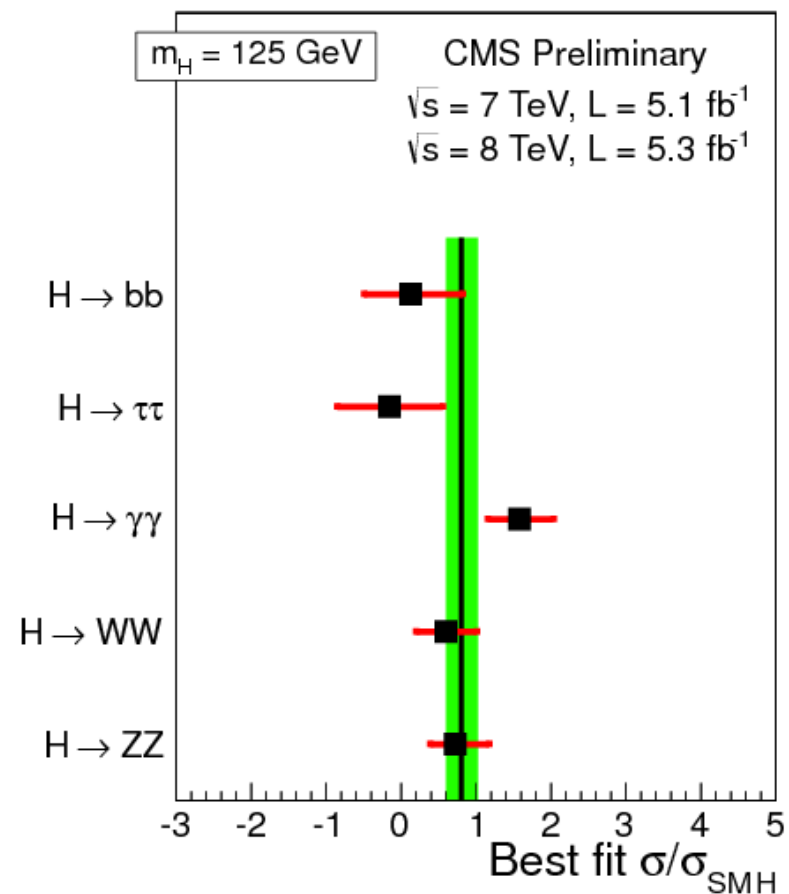
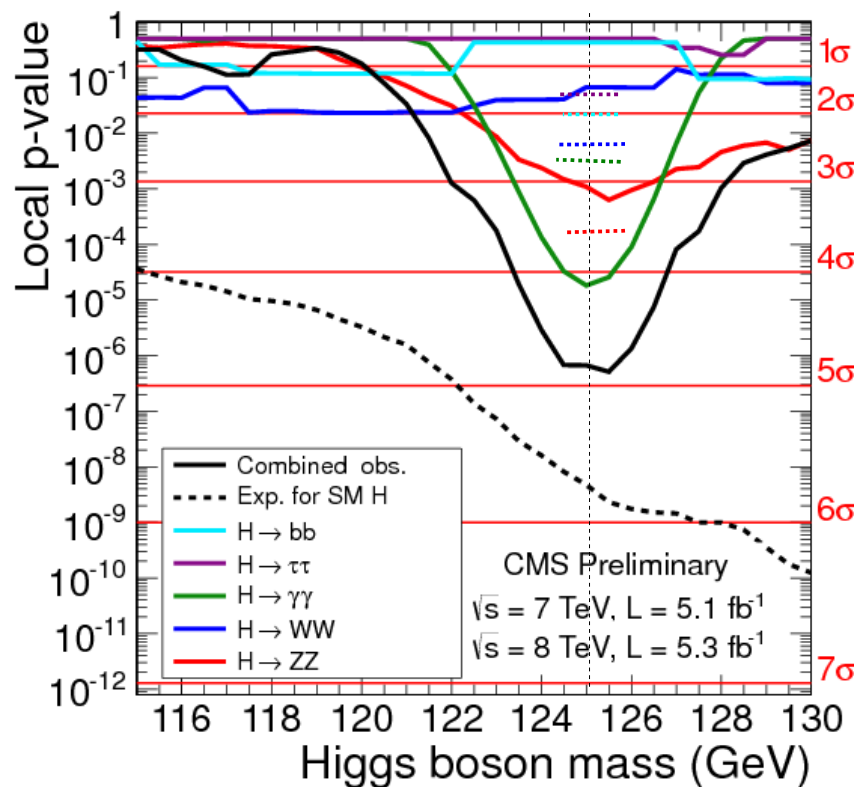
- local: 3.2σ
- global: ??





CMS: combinaison

- ◆ Best signal fit: $\mu = 0.8 \pm 0.2$
- ◆ Significance:
 - local: 4.9σ
 - global: 4.0σ





hep-ph on arXiv since 4th of July

1. [arXiv:1207.2027](#) [pdf, ps, other]

Constraints on TeV scale Majorana neutrino phenomenology from the Vacuum Stability of the Higgs

Joydeep Chakraborty, Moumita Das, Subhendra Mohanty

Comments: 13 pages, 7 figures

Subjects: [High Energy Physics - Phenomenology \(hep-ph\)](#)

2. [arXiv:1207.1906](#) [pdf, ps, other]

Electroweak Radiative Corrections to Higgs Production via Vector Boson Fusion using SCET: Numerical Results

Fabio Siringo, Giuseppe Buccheri

Subjects: [High Energy Physics - Phenomenology \(hep-ph\)](#); [High Energy Physics - Experiment \(hep-ex\)](#)

3. [arXiv:1207.1839](#) [pdf, other]

Implications of the Higgs Boson Discovery for mSUGRA

Sujeet Akula, Pran Nath, Gregory Peim

Comments: 5 pages, 3 figures

Subjects: [High Energy Physics - Phenomenology \(hep-ph\)](#); [High Energy Astrophysical Phenomena \(astro-ph.HE\)](#); [High Energy Physics - Experiment \(hep-ex\)](#)

4. [arXiv:1207.1718](#) [pdf, other]

Higgs After the Discovery: A Status Report

Dean Carmi, Adam Falkowski, Eric Kuflik, Tomer Volansky, Jure Zupan

Comments: 35 pages; v2: ATLAS dijet-tag diphoton channel added, dilaton and doublet-singlet bugs corrected, references added

Subjects: [High Energy Physics - Phenomenology \(hep-ph\)](#)

5. [arXiv:1207.1717](#) [pdf, other]

First Glimpses at Higgs' face

J. R. Espinosa, C. Grojean, M. Muhlleitner, M. Trost

Comments: 24 pages, 7 figures

Subjects: [High Energy Physics - Phenomenology \(hep-ph\)](#); [High Energy Physics - Experiment \(hep-ex\)](#)

6. [arXiv:1207.1716](#) [pdf, other]

Higgs discovery: the beginning or the end of natural EWSB?

Marc Montull, Francesco Riva

Comments: 8 figures 8 pages

Subjects: [High Energy Physics - Phenomenology \(hep-ph\)](#)

7. [arXiv:1207.1710](#) [pdf, ps, other]

GUT Scalar Potentials for Higgs Inflation

Martin B. Einhorn, D. R. Timothy Jones

Comments: 34 pages, no figures

Subjects: [High Energy Physics - Phenomenology \(hep-ph\)](#); [General Relativity and Quantum Cosmology \(gr-qc\)](#); [High Energy Physics - Theory \(hep-th\)](#)

8. [arXiv:1207.1693](#) [pdf, other]

Global Analysis of the Higgs Candidate with Mass ~ 125 GeV

John Ellis, Tevong You

Comments: 22 pages, 9 figures

Subjects: [High Energy Physics - Phenomenology \(hep-ph\)](#); [High Energy Physics - Experiment \(hep-ex\)](#)

9. [arXiv:1207.1590](#) [pdf]

Heavy neutrinos, Z' and Higgs bosons at the LHC: new particles from an old symmetry

S. Khalil, S. Moretti

Subjects: [High Energy Physics - Phenomenology \(hep-ph\)](#)

10. [arXiv:1207.1545](#) [pdf, other]

Could two NMSSM Higgs bosons be present near 125 GeV?

John F. Gunion, Yun Jiang, Sabine Kraml

Comments: 8 pages, 8 figures

Subjects: [High Energy Physics - Phenomenology \(hep-ph\)](#); [High Energy Physics - Experiment \(hep-ex\)](#)

11. [arXiv:1207.1541](#) [pdf, other]

S and T Parameters from a Light Nonstandard Higgs versus Near Conformal Dynamics

Roshan Foadi, Francesco Sannino

Comments: 13 pages, 3 figures

Subjects: [High Energy Physics - Phenomenology \(hep-ph\)](#)

12. [arXiv:1207.1451](#) [pdf, ps, other]

The apparent excess in the Higgs to di-photon rate at the LHC: New Physics or QCD uncertainties?

J. Baglio, A. Djouadi, R. M. Godbole

Comments: LaTeX, 2 figures, 9 pages. V2: 2 important footnotes added

Subjects: [High Energy Physics - Phenomenology \(hep-ph\)](#)

13. [arXiv:1207.1445](#) [pdf, other]

Are There Hints of Light Stops in Recent Higgs Search Results?

Matthew R. Buckley, Dan Hooper

Comments: 6 pages, 5 figures

Subjects: [High Energy Physics - Phenomenology \(hep-ph\)](#)

14. [arXiv:1207.1435](#) [pdf, other]

Precision Unification in λ SUSY with a 125 GeV Higgs

Edward Hardy, John March-Russell, James Unwin

Comments: 14 pages, 5 figures

Subjects: [High Energy Physics - Phenomenology \(hep-ph\)](#)

15. [arXiv:1207.1348](#) [pdf, other]

The Higgs sector of the phenomenological MSSM in the light of the Higgs boson discovery

Alexandre Arbey, Marco Battaglia, Abdelhak Djouadi, Farvah Mahmoudi

Comments: 21 pages, 9 figures

Subjects: [High Energy Physics - Phenomenology \(hep-ph\)](#)

16. [arXiv:1207.1347](#) [pdf, other]

Is the resonance at 125 GeV the Higgs boson?

Pier Paolo Giardino, Kristjan Kannike, Martti Raidal, Alessandro Strumia

Comments: 9 pages, 6 figures

Subjects: [High Energy Physics - Phenomenology \(hep-ph\)](#)

17. [arXiv:1207.1344](#) [pdf, ps, other]

Constraining anomalous Higgs interactions

Tyler Corbett, O. J. P. Eboli, J. Gonzalez-Fraile, M. C. Gonzalez-Garcia

Comments: 10 pages, 3 figures

Subjects: [High Energy Physics - Phenomenology \(hep-ph\)](#); [High Energy Physics - Experiment \(hep-ex\)](#)

18. [arXiv:1207.1246](#) [pdf, ps, other]

Effect of earth rotation on pair production of Standard Model Higgs bosons at linear colliders in the noncommutative spacetime

Prasanta Kumar Das, Abhishodh Prakash

Comments: 20 pages, 16 eps figures. arXiv admin note: substantial text overlap with arXiv:1009.3571

Subjects: [High Energy Physics - Phenomenology \(hep-ph\)](#)

19. [arXiv:1207.1093](#) [pdf, ps, other]

Have We Observed the Higgs (Imposter)?

Ian Low, Joseph Lykken, Gabe Shaughnessy

Comments: 20 pages, 4 figures

Subjects: [High Energy Physics - Phenomenology \(hep-ph\)](#); [High Energy Physics - Experiment \(hep-ex\)](#)

20. [arXiv:1207.1083](#) [pdf, other]

Constraining parameter space in type-II two-Higgs doublet model in light of a 125 GeV Higgs boson

H.S. Cheon, Sin Kyu Kang

Comments: 13 pages, 6 figures

Subjects: [High Energy Physics - Phenomenology \(hep-ph\)](#); [High Energy Physics - Experiment \(hep-ex\)](#)

21. [arXiv:1207.1065](#) [pdf, ps, other]

Higgs boson decays to $\gamma\gamma$ and $SZ\gamma$ in models with Higgs extensions

Cheng-Wei Chiang, Kei Yagyu

Comments: 4 pages, 6 figures

Subjects: [High Energy Physics - Phenomenology \(hep-ph\)](#)

22. [arXiv:1207.1051](#) [pdf, ps, other]

Testing No-Scale F-SU(5): A 125 GeV Higgs Boson and SUSY at the 8 TeV LHC

Tianjun Li, James A. Maxin, Dimitri V. Nanopoulos, Joel W. Walker

Comments: 7 Pages, 2 Figures

Subjects: [High Energy Physics - Phenomenology \(hep-ph\)](#); [High Energy Physics - Experiment \(hep-ex\)](#)

23. [arXiv:1207.1014](#) [pdf, ps, other]

Higgs boson of mass 125 GeV in GMSB models with messenger-matter mixing

A. Albaid, K.S. Babu

Comments: 31 pages, LaTeX

Subjects: [High Energy Physics - Phenomenology \(hep-ph\)](#); [High Energy Physics - Experiment \(hep-ex\)](#)

24. [arXiv:1207.0980](#) [pdf, ps, other]

The top quark and Higgs boson masses and the stability of the electroweak vacuum

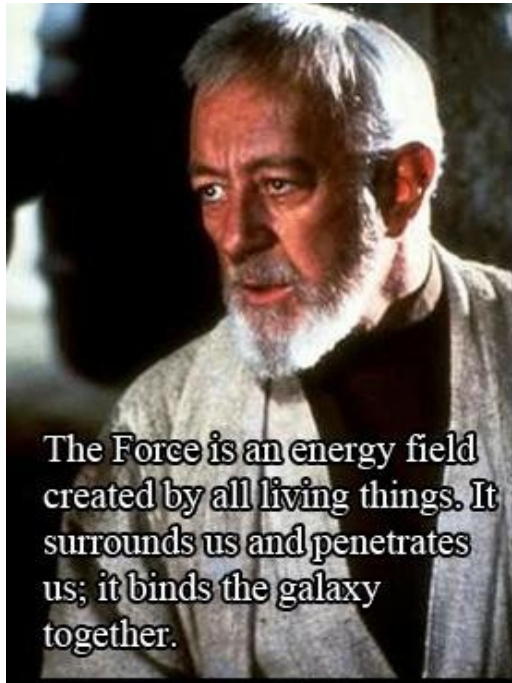
S. Alekhin, A. Djouadi, S. Moch

Comments: 12 pages, 1 figure. v2: lapsus corrected in the abstract

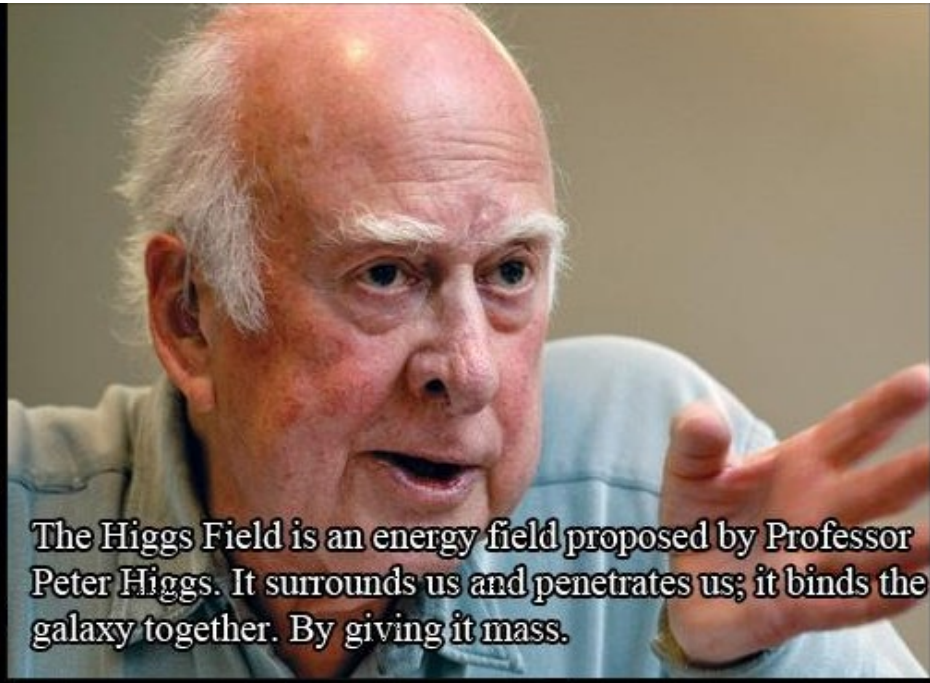
Subjects: [High Energy Physics - Phenomenology \(hep-ph\)](#)



◆ ZV



The Force is an energy field created by all living things. It surrounds us and penetrates us; it binds the galaxy together.



The Higgs Field is an energy field proposed by Professor Peter Higgs. It surrounds us and penetrates us; it binds the galaxy together. By giving it mass.